

دراسة التوصيل الحراري الشبكي لبعض البوليمرات بدرجات تبلور مختلفة

رسالة مقدمة إلى
كلية التربية - جامعة البصرة
وهي جزء من متطلبات نيل درجة
الماجستير في علوم الفيزياء
من قبل

حيدر احمد حسن
بكالوريوس علوم فيزياء

إشراف

أ.د. عادل حسن عواد

بِسْمِ اللَّهِ الرَّحْمَنِ الرَّحِيمِ

وَقُلْ رَبِّي أَدْخِلْنِي مُدْخَلَ صِدْقٍ وَآخِرِ جَنِي
مُخْرَجَ صِدْقٍ وَاجْعَلْ لِي مِنْ
لَدُنْكَ سُلْطَانًا نَصِيرًا

صَدْقُ اللَّهِ الْعَلِيِّ الْعَظِيمِ
(الإِسْرَاء، آيَةٌ ٨٠)

الأهدا

إلى:

والدي

إخوتي

أخواتي

زوجتي

أبنائي

حيدر

شكر و تقدير

الحمد لله رب العالمين والصلوة والسلام على سيدنا محمد وآلة الطيبين الطاهرين.

بدايةً أتقدم بشكري وتقديري الكبيرين إلى أستاذِي المشرف أ. د. عادل حسن عواد لاقتراحه مشروع البحث ولكل ما قدمه وأبداه من معلومات ولاحظات علمية كانت الميسرة لكل المعوقات التي واجهته طوال مدة إنجاز البحث.

كما أتقدم بالشكر والتقدير إلى عمادة كلية التربية ورئيسة وأساتذة قسم الفيزياء لما أبدوه من عنون لي.

كما لا يفوتي أن أتقدم بالشكر الجزيل إلى السيد محمد كاظم حمد لمساعدته ودعمه المتواصل.

توصية الأستاذ

أقر بأن رسالة الماجستير الموسومة " دراسة التوصيل الحراري الشبكي لبعض البوليمرات بدرجات تبلور مختلفة " التي اعدها الطالب (حيدر احمد حسن) ، بكليه كليه التربية / كلية التربية / جامعة البصرة. كجزء من متطلبات نيل درجة ماجستير علوم في الفيزياء .

التوقيع :

الأستاذ المشرف: د. عادل حسن عواد

المرتبة العلمية: أستاذ

التاريخ : ٢٠١١ / ٣ / ١٥

توصية رئيس قسم الفيزياء

أشارة إلى التوصية المقدمة من قبل أ. د. عادل حسن عواد ، أحيل هذه الرسالة إلى لجنة المناقشة لدراستها وبيان الرأي فيها .

التوقيع :

الاسم : د. عبد الرضا حسين صبر

المرتبة العلمية : أستاذ

التاريخ : ٢٠١١ / ٣ / ١٥

المحتويات

الصفحة

الموضع

I	الإهداء
II	الشكر والتقدير
III	فهرس المحتويات
V	الرموز العلمية المستخدمة
VII	المستخلص
		الفصل الأول : مقدمة عامة
1	(1-1) البوليمرات
1	(1-1-1) ماذا نقصد بالبوليمر
1	(2-1-1) التبلور والبوليمرات المتبلورة
3	(2-1) التوصيل الحراري الشبيكي
4	(3.1) التوصيل الحراري الشبيكي للبوليمرات غير المتبلورة
6	(1.3.1) الصيغة الرياضية للتوصيل
7	(2.3.1) معدلات الاسترخاء
9	(4.1) التوصيل الحراري الشبيكي للبوليمرات المتبلورة
9	(1.4.1) الصيغة الرياضية للتوصيل
10	(2.4.1) معدلات الاسترخاء
11	(5-1) التوصيل الحراري الشبيكي للبوليمرات شبه البلورية

الصفحة	الموضوع
12	(6-1) الهدف من الدراسة.....
13	(7-1) تنظيم الاطروحة.....
	الفصل الثاني : التوصيل الحراري للبوليمرات غير المتبلورة
14	(1-2) التوصيل الحراري الشبكي في البولي كاربونات.....
23	(2.2) التوصيل الحراري في زجاج البوروسيلكات.....
31	(3-2) المناقشة.....
33	(4-2) الاستنتاجات.....
33	(5-2) الدراسة المستقبلية.....
	الفصل الثالث : التوصيل الحراري للبوليمرات المتبلورة
34	(1-3) التوصيل الحراري الشبكي للبولي أثيلين.....
48	(2-3) التوصيل الحراري الشبكي لهولي تيرافثالات الأثيلين.....
68	(3-3) المناقشة.....
73	(4-3) الاستنتاجات.....
73	(5-3) الدراسة المستقبلية.....
74	المصادر.....

الرموز العلمية المستخدمة

الترصيل الحراري الشبيكي	K
تدفق الطاقة الحرارية لوحدة المساحة العمودية على اتجاه التدفق	J_U
الانحدار الحراري	∇T
السعة الحرارية بثبوت الحجم	C_V
معدل سرعة الجسيم أو الفونون	v
معدل المسار الحر	l
درجة الحرارة	T
درجة حرارة الانتقال الزجاجي	T_g
المتجه الموجي	q
التردد الفونوني	ω
ثابت بولتزمان	K_B
ثابت بلانك مقسوم على 2π	\hbar
درجة حرارة ديباي	θ_D
المجموع الكلي لمعدلات الاسترخاء	τ_c
متغير عدم الوحدات	x
القيمة الكسرية للحيز الحالي	p
الحجم المخرج	V_0
تردد منطقة السهل	ω_{pt}
ثوابت	A, B
معدل الاسترخاء لتشتت الفونونات بالحيز الحالي	τ_{ES}^{-1}
معدل الاسترخاء لتشتت رايلي	τ_R^{-1}
معامل قوة التشتت بالحيز الفارغ	α
معامل قوة تشتت رايلي	β
اعلى تردد للفونونات التي تتشتت بحدود البلورة	ω_1
تردد ديباي	ω_D
معدل الاسترخاء لتشتت الفونونات ذات مدى التردد $0 \leq \omega \leq \omega_1$	τ_{BE}^{-1}
معدل الاسترخاء لتشتت الفونونات ذات مدى التردد $\omega_1 \leq \omega \leq \omega_{pt}$	τ_{EM}^{-1}
معدل الاسترخاء لتشتت الفونونات ذات مدى التردد $\omega_{pt} \leq \omega \leq \omega_D$	τ_{AP}^{-1}

معدل الاسترخاء لتشتت الفونونات بحدود البلورة	τ_B^{-1}
معدل الاسترخاء لتشتت الفونونات ذات مدى التردد $\omega_{pt} \leq \omega \leq \omega_D$	β'
الطول المميز	L
التوصيل الحراري الشبيكي للتركيب غير البلوري	K_N
اسهام الفونونات ضمن مدى التردد $\omega_1 \leq \omega \leq 0$ في التوصيل الحراري الشبيكي	K_{BE}
اسهام الفونونات ضمن مدى التردد $\omega_1 \leq \omega \leq \omega_{pt}$ في التوصيل الحراري الشبيكي	K_{EM}
اسهام الفونونات ضمن مدى التردد $\omega_D \leq \omega \leq \omega_{pt}$ في التوصيل الحراري الشبيكي	K_{AP}
درجة الحرارة التي تقابل التردد ω_1	θ_1
درجة الحرارة التي ت مقابل التردد ω_{pt}	θ_{pt}
التوصيل الحراري الشبيكي للتركيب البلوري	K_c
كتلة الذرة الكبيرة	M
كتلة الذرة الصغيرة	m
المسافة بين الذرتين	a
معدل الاسترخاء لتشتت الفونونات بالعيوب النقطية	τ_{Pt}^{-1}
معدل الاسترخاء لتشتت الفونونات بالخلع البلوري	τ_{Dis}^{-1}
معامل قوة التشتت بالعيوب النقطية	A_{Pt}
معامل قوة التشتت بالخلع البلوري	A_{Dis}

المستخلص

عرضت الدراسة مدى تطبيق أنموذج كالاوي (Callaway) للتراكيب غير المتباعدة وعلاقته عواد (Awad) للتراكيب المتباعدة في حساب التوصيل الحراري الشبيكي للبوليمرات بدرجات تبلور مختلفة. كما بينت أمكانية إضافة مركبة التوصيل K_{AP} (إسهام الفونونات بمدى التردد $(\omega_D - \omega_{pt})$) في حساب التوصيل الحراري للتراكيب غير المتباعدة. فُسمت الدراسة على جزأين:

لؤوس الجزء الأول لتحليل التوصيل الحراري الشبيكي للبوليمرات غير المتباعدة، حيث أخذت عينات من البولي كاربونات وزجاج البوروسيلكات للدراسة في مدى درجات الحرارة (0.04-60K)، إذ أظهرت النتائج تطابقاً جيداً بين القيم النظرية والمحسوبة نظرياً.

تمت دراسة سلوك معدلات استرخاء التشتتات الفونونية كدالة للتردد (١)، إذ توصلت الدراسة إلى وجود سيادة واضحة للتشتت الفونوني بحدود البلازما على بقية التشتتات عند التردودات الواطئة بينما يهيمن التشتت بالحيز الخالي على تشتت رايلي في كل مدى التردد باستثناء بعض العينات التي يحدث فيها العكس عند قيم التردودات القريبة من ω_{pt} .

نظراً للدور المهم الذي يلعبه التشتت بالحيز الخالي فقد تم دراسة التوصيل الحراري الكلي كدالة للقيمة الكسرية p بثبوت درجة الحرارة ، اذ توصلت الدراسة الى ان للتشتت بالحيز الخالي دور افعلاً عندما $0.9 > p$.

خصص الجزء الثاني لدراسة التوصيل الحراري الشبيكي للبوليمرات شبه البلازما، حيث أخذ بالاعتبار الجمع بين التوصيل الحراري للتراكيب البلازماوية وغير البلازماوية . وحسباً طبقاً لأنموذج كالاوي وصيغ عواد على التوالي. لغرض المقارنة مع دراسة حديثة لجراد (Jarad) (استخدم علاقات عواد لكلا التركيبين البلازماوي وغير البلازماوي) ، استُعين بأربع عينات من البولي أثيلين بدرجات تبلور (0.914, 0.933, 0.956, 0.971) . أظهرت المقارنة نسب فروق مؤوية عالية تصل إلى 94% بين الدراستين. لدراسة تأثير درجة التبلور على طبيعة منحنيات التوصيلية، استُخدمت سبع عينات من بولي تير افتالات الأثيلين بدرجات تبلور (0.0, 0.09, 0.17, 0.25, 0.39, 0.51) في مدى واسع من درجات الحرارة.

أظهرت نتائج هذا الجزء تطابقاً جيداً في منحنى التوصيلية بين القيم النظرية والعملية، وكذلك تغلب الإسهام المؤوي للتراكيب غير البلازماوية K_N على مثيلاتها في التراكيب البلازماوية K_C في درجات الحرارة المنخفضة بينما يحدث العكس في المرتفعة منها . توصلت الدراسة إلى أن اختلاف الأنماذج الرياضي المستخدم في حساب التوصيل الحراري للتراكيب غير البلازماوية وكذلك إضافة مركبة

التوصيل K_{AP} ، قد أثر بشكل مباشر في قيم معاملات الاسترخاء فضلاً عن منحنيات التوصيل، وخاصة منحنيات الإسهام المئوي عند القيم العليا من درجة حرارة الدراسة.

تم دراسة سلوك معدلات استرخاء التشتتات الفونونية المختلفة كدالة للتردد ω ، حيث الهيمنة الواضحة للتشتت الفونوني بحدود البلورة عند مدى التردودات الواطئة . وسيطرة للتشتت الفونوني بالخلع البلوري في العينات ذات درجة التبلور العالية من البولي أثيلين عند مدى التردودات العالية، يقابلها في الواطئة هيمنة للتشتت بالعيوب النقطية . في حين يطغى التشتت بالخلع البلوري على بقية التشتتات في عينات بولي تيرافثالات الأثيلين.

بثبت درجة الحرارة، وجدت الدراسة أن التوصيل الحراري للجزء غير البلوري يتغير بشكل حاد في البولي أثيلين وبولي تيرافثالات الأثيلين كلما كانت القيمة الكسرية لل حيز الخالي $0.9 > m > 0.1$ على التوالي، وتغييراً بطيناً لأقل من ذلك، وكذلك انخفاض في قيمة التوصيل الحراري للجزء البلوري K_C عند زيادة قوة التشتت بالخلع البلوري.

تناولت الدراسة اثر درجة التبلور على طبيعة منحني التوصيلية، إذ لوحظ وجود نقطة انقلاب في منحنيات كل مجموعة، كما إن قيمة التوصيل الحراري للتركيب غير البلوري K_N تقل بزيادة درجة التبلور وثبتت درجة الحرارة والعكس صحيح لما هو عليه في التركيب البلوري K_C . بينت الدراسة إن التصرف المعكوس لكل من K_N و K_C مع درجة التبلور هو المسبب في ظهور نقطة الانقلاب.

الفصل الأول

مقدمة عامة

١-١) البوليمرات

١-١-١) مَاذَا نَقْصِدُ بِالبُولِيمِرِ

البوليمر (Polymer) كلمة لاتينية تعني متعدد الأجزاء، مكونة من مقطعين «بولي» Poly وتعني «متعدد» و«مير» وتعني «الجزء»، تتألف المواد البوليمرية من جزيئات صغيرة تدعى بالمونومير (Monomer) «أحادي الجزيء» مرتبطة بأواصر كيميائية . وتدعى عملية ارتباط هذه الجزيئات بعملية البلمرة (Polymerization) [1].

ت تكون سلسلة البوليمر من وح دات تركيبية (Structural Units) تدعى أحياناً بالوحدات المتركرة (Repeating Units)، وتكون مكافئة لجزيئه المونومير أو تنقصها ذرة أو مجموعة من الذرات. فالجزيئه أو السلسلة البوليمرية (Polymer Chain) تنتج عن ارتباط كيميائي بين عدد كبير من المونوميرات مكونة السلاسل البوليمرية الطويلة، كما يمكن أن تكون الجزيئه الناتجة متفرعة ويدعى عندئذ بالبوليمر المتفرع (Branched Polymer). يشار عادة إلى عدد الوحدات المتركرة بالمصطلح درجة البلمرة (Degree of Polymerization) ولما كانت جزيئات البوليمر الواحد غير متساوية جميعاً في درجات البلمرة لذلك يعبر عنها بمعدل درجة البلمرة [2].

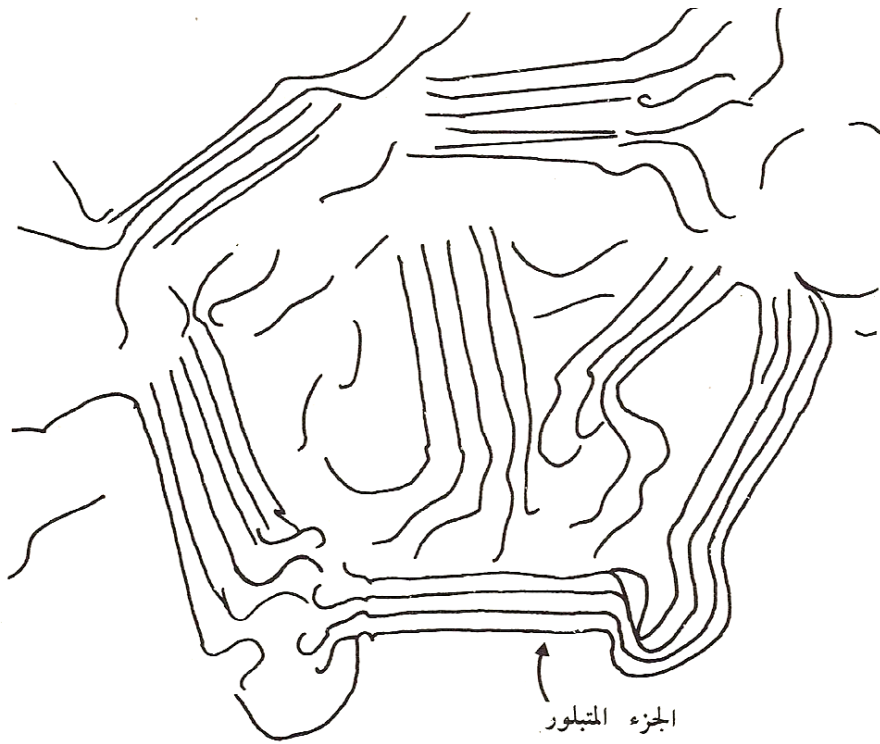
١-١-٢) التبلور والبوليمرات المتبلورة

عند درجات الحرارة الواطئة، تكون المواد البوليمرية في حالة من الصلابة الشديدة، وعند ارتفاع درجة الحرارة يحصل البوليمر على طاقة كافية لجعل السلاسل البوليمرية تتحرك بحرية والتصرف كسائل لزج . البوليمرات ممكن أن تكون كلية غير متبلورة (Amorphous) أو بلورية (Crystalline) أو شبه بلورية (Semi-crystalline) [3].

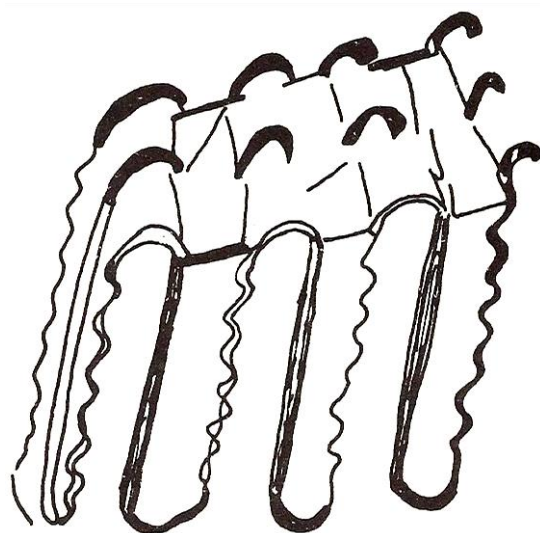
يختلف مفهوم التبلور في البوليمرات عنه في الجزيئات العضوية أو اللاعضوية، حيث تنتظم فيها عدد من الجزيئات أو الذرات مكونة تراكيب بلورية ذات أشكال هندسية ثابتة ومنتظمة، غير أن ذلك لا يحصل في البوليمرات إذ تترتب أجزاء السلاسل فيها مكونة تراكيب منتظمة تدعى بالمناطق البلورية (Crystalline Regions) الشكل (1.1)[2]، وعليه فالبوليمر المتبلور (Crystalline Polymer) هو الذي يحتوي على نسبة عالية من التراكيب البلورية، حيث يطلق على النسبة المئوية للمناطق المتبلورة بدرجة التبلور (Degree of Crystallinity) . أن درجة التبلور تعتمد على عدة عوامل منها نوع المادة البوليمرية وسرعة تبريد منصهر البوليمر[4].

لوحظ في بعض أنواع البوليمرات أن السلسلة البوليمرية تشتراك في تكوين أكثر من تركيب بلوري، كما وجد في بوليمرات أخرى أن الأجزاء البلورية تتكون نتيجة الطيات (Folds) التي تحصل

للسلسل البوليمرية فقد تتطوى السلسلة البوليمرية على نفسها لعدة مرات لتكوين التراكيب البلورية الشكل .[2] (2.1).



الشكل (1.1): الاجزاء البلورية المنغمرة بين المناطق غير المتبلورة



الشكل (2.1): البلورة المنفردة الناتجة عن الانطواءات المنتظمة للسلسلة البوليمرية

(2-1) التوصيل الحراري الشبكي

يُعتبر التوصيل الحراري أحد الخواص المهمة لجميع المواد . ولقد ساعدت التطبيقات التقنية المُتعددة على فهم آلية التوصيل الحراري في المواد الصلبة، والتي ازدادت مع النمو التكنولوجي حيث امتدت لتشمل جميع مديات درجات الحرارة الواطئة والعالية على حد سواء . أصبحت العمليات المهمة بالتوسيع الحراري أكثر فهماً خلال الستين سنة الماضية وتتوفر خدمة في توجيه اختي ار المواد ذات خواص توصيلية مرغوبة . ففي بعض التطبيقات تحتاج إلى مواد ذات توصيل حراري ضعيف، بينما تحتاج إلى مواد ذات توصيلية عالية في تطبيقات أخرى [5]. تلعب المواد البوليميرية دوراً فعالاً في صناعة الأجهزة الإلكترونية وخاصة الكاشفات ذات درجات الحرارة المنخفضة (Cryogenic detectors) إذ لابد من تحديد درجة الحرارة الفعالة لعمل الكاشف، وهذا يستدعي معرفة كاملة بالخواص الحرارية كالتوسيع الحراري والحرارة النوعية والحرارة المؤثرة على طبيعة الاستقرار الميكانيكي للجهاز[6].

تنقل الحرارة في المواد الصلبة بعده آليات، وهنا ك الكثير من العمليات التي تحد من تأثير كل آلية. في المواد العازلة، نجد التوصيل الحراري يتم بصورة رئيسية بواسطة الفونونات. أما في المعادن فان الجزء الأكبر من التوصيل الحراري ناتج عن الإلكترونات. وفي كثير من المواد الصلبة، كما في السباكة وأشباه الموصلات، تكون إسهامات كلا الآليتين متقاربة في التوصيل الحراري.

يُعرف التوصيل الحراري الشبكي K على انه النسبة بين معدل تدفق الحرارة على طول النموذج والانحدار في درجة الحرارة.

$$K = -J_U / \nabla T \quad (1.1)$$

حيث J_U : يمثل معدل تدفق الطاقة الحرارية لوحدة المساحة العمودية على اتجاه التدفق
 ∇T : الانحدار الحراري
من النظرية الحرارية للغازات نجد أن :

$$K = \frac{1}{3} C_V v l \quad (1.2)$$

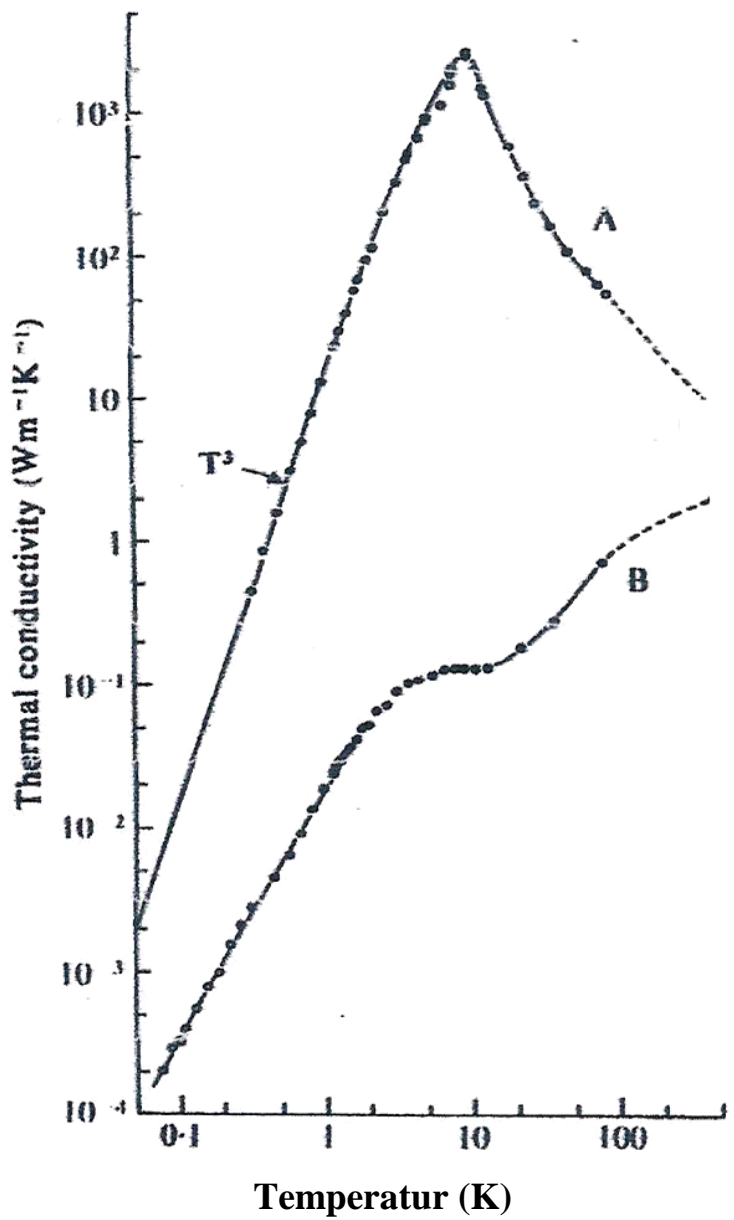
حيث أن C_V تمثل السعة الحرارية بثبوت الحجم و v معدل سرعة الجسيم و l معدل المسار الحر [5]. تعتبر نظرية زمن الاسترخاء (Relaxation time theory) احد النظريات (mean-free path) التي تعالج آلية التوصيل الحراري الشبكي في المواد الصلبة، حيث يعبر عن عمليات التشتت المسببة للمقاومة الحرارية بدالة زمن الاسترخاء أو بدالة معدل المسار الحر، واللذين يعتمدان على كل من درجة الحرارة والتردد. تفترض هذه النظرية استقلالية كاملة لعمليات التشتت بعضها عن البعض.

(3.1) التوصيل الحراري الشبكي للبوليمرات غير المتباعدة

يظهر التوصيل الحراري في المواد الصلبة غير المتباعدة اعتماداً متشابهاً على درجة الحرارة، حيث يتاسب مع معامل التوصيل الحراري $T^{1.9 \pm 0.1}$ عندما $3K < T < 7K$. باستخدام المعادلة التحليلية $K = \gamma T^n$ تمكّن باروكسي وجماعته Barucci et. al [8] من حساب التوصيل الحراري لعينات من البوليمر Upilex ($n = 1.15$) و Kapton ($n = 1.0$) ضمن مدى درجات الحرارة (0.1-9.0K) وعلى التوالي، ومن خلال نفس العلاقة، وُجد تطابق جيد لعينات البوليمر ($n = 0.2-5.0K$) على التوالي. في درجات حرارة 0.2-5.0K Kapton ($n = 1.28$) و Polypropylene [9] و 0.5678 [10] في درجات حرارة 0.1-4.0K Woodcraft et al. [11] أَن التوصيل الحراري لبوليمر البولي فينيلين Polyphenylene والمعرف تجارياً بـ Tecamax يتاسب مع معامل التوصيل الحراري $T^{1.9}$ عند $0.3K < T < 0.3K$. تحت درجة حرارة الغرفة، معامل التوصيل الحراري لهذه المواد يتناقص مع نقصان درجة الحرارة، ويصبح غير معتمد على درجة الحرارة بالقرب من $10K$ ، هذه المنطقة تسمى بمنطقة السهل (Plateau region)، والشكل (3.1) يوضح منحني التوصيلية لمادة بلورية (A) ولمادة غير بلورية (B) كما وجدوا منطقتين للسهل ضمن منحني التوصيلية لبوليمر Tecamax مما يعني صغر المركبة البلورية فيه (9%). لابد من الإشارة إلى اختفاء منطقة السهل من على منحني التوصيلية للبوليمرات شبه البلورية [12].

أَسْتَطَاعَ الباحث باروكسي وجماعته Barucci et. al [13] حساب التوصيل الحراري لـ Torlon ضمن مدى درجات حرارة (4.2-300K)، حيث توصلوا إلى تطابق جيد مع النتائج العملية بنسبة خطأ لا تتجاوز 5%. عند درجات الحرارة الواطئة تعتمد الخواص الحرارية للمواد البوليمرية على تركيبها غير البلورية أكثر من اعتمادها على البلورية منها وبعلاقة خطية مع درجة الحرارة بدلاً من T^3 (قانون ديباي)، في حين تتاسب مع T^2 عندما $1K < T < 14K$ [14].

بين كليمنز Klemens [15] في دراسته للتوصيل الحراري في المواد الصلبة غير المتباعدة عند درجات الحرارة الواطئة لا تفاعل بين الفونونات الطولية (Longitudinal phonons) والمستعرضة (Transverse phonons) في هكذا مدى من درجات الحرارة الواطئة، وان استطرارة كلا النوعين من الفونونات ناتج عن الالانتظام في تركيب المادة الصلبة . وعليه فان معدل المسار الحر يتنااسب مع مربع قيمة المتجه الموجي (q^2). باستخدام هذه النظرية، وجد بيرمن Berman [16] أن هناك تطابقاً جيداً مع القيم المختبرية لزجاج السيليكا (Vitreous silica) عند ما $1.2K < T < 1.2K$. كما وجد ريس Reese [17] أن نتائج هذه النظرية تنسجم مع القيم العملية للبوليمرات غير المتباعدة (بولي ميثيل بوليستيرين polystyrene) والميثاكريليت methacrylate والبولي ستيرين (Styrene) لغاية درجة الحرارة 1.2K.



الشكل (3.1): التوصيل الحراري الشبيكي كدالة لدرجة الحرارة
 (A) لمادة بلورية
 (B) لمادة غير بلورية

1.3.1) الصيغة الرياضية للتوصيل

يعتبر الباحث كالاوي [18] أول من توصل إلى أنموذج رياضي لحساب التوصيل الحراري الشبيكي، إذ افترض أن عمليات التشتت الفونوني يمكن أن تمثل بدلالة زمن الاسترخاء باستخدام دالة التوزيع المزاحة (Displaced Distribution Function) وعلاقة التفريقي لدبليا (Debye Dispersion Relation) والتي تعطى بالعلاقة التالية:

$$q = \omega/v \quad (1.3)$$

حيث: q المتجه الموجي
 ω التردد الفونوني

نجحت هذه العلاقة عند الترددات الواطئة فقط بحيث تتساوى سرعة الطور مع سرعة المجموعة.
وعليه أصبحت صيغة كالاوي على الشكل التالي :

$$K = C \int_0^{\theta_D/T} \tau_c F(x) dx \quad (1.4)$$

حيث أن: $C = \left(\frac{K_B}{2\pi^2 v}\right) \left(\frac{K_B T}{\hbar}\right)^3$, $F(x) = x^4 e^x (e^x - 1)^{-2}$, $x = \hbar\omega/K_B T$

K_B : ثابت بولتزمان

\hbar : ثابت بلانك مقسوم على 2π

θ_D : درجة حرارة ديبليا

τ_c : المجموع الكلي لمعدلات استرخاء الفونونات

استخدم كالاوي Callaway [18] أنموذجه لحساب التوصيل الحراري الشبيكي للجرمانيوم Ge في مدى درجات حرارة (2-100k) درجة مطلقة، إذ استطاع تفسير القيم العملية في درجات الحرارة الواطئة ($T < 10K$) في حين أخفق في تفسير منحنى التوصيلية عند درجات الحرارة العالية. لاقت هذه النظرية نجاحاً في تفسير منحنى التوصيلية عند درجات الحرارة الواطئة بسبب اعتمادها على علاقة التفريقي لدبليا (1.3) والتي تصلح للترددات الواطئة فقط [5]. على الرغم من فشل أنموذج كالاوي في تفسير النتائج العملية عند درجات الحرارة العالية، إلا إن كثيراً من الباحثين ما زالوا يستخدمون هذا الأنماذج في دراسة التوصيل الحراري الشبيكي للمواد المختلفة [19-22] ومن ضمنها البوليمرات [23,24]. الجدير بالذكر أن الكثير من الدراسات [25, 26] أعطت الدليل الواضح على الدور المهم لعلاقات التفريقي في عملية وضع صيغة حسابية للتوصيل الحراري الشبيكي

استخدم موراي وجماعته Murray et. al [23] أنموذج كالاوي في دراسة التوصيل الحراري الشبيكي لمونومير الداي اسيتيلين إذ وجده قادرًا على تفسير النتائج العملية التي قيست من قبلهم . كما لاحظ وجود تقارب كبير مع النتائج العملية لبوليمير الداي اسيتيلين عند درجات الحرارة $T > 8K$ لابد من الإشارة إلى أن أنموذج كالاوي كان قد استُخدم بشكل واسع لمعالجة منحنى التوصيلية للبولимерات شبه البلورية وغير البلورية على حدا سواء [12,27-31]، بسبب عدم وجود صيغة تعالج مرتبة التوصيل الحراري للترانسفيبر غير البلورية.

معدلات الاسترخاء (2.3.1)

فرض والتـ Walton [7] أن جـءـاً من حـمـ التركـيبـ غيرـ الـبلـوريـ فـرـاغـ، مـوزـعـ بـصـورـةـ عـشـوـائـيـةـ دـاخـلـ هـذـاـ التـركـيبـ، مـاـ يـؤـديـ إـلـىـ اختـلـافـ فـيـ كـثـافـةـ المـادـةـ غـيرـ الـبـلـوريـةـ (أـنـمـوذـجـ تـمـوجـ الكـثـافـةـ) مـسـبـبـاـ تـشـتـتـتـ الـفـيـونـونـاتـ وـبـالـتـالـيـ أـلـإـعـاقـةـ الـحـارـارـيـةـ. لـقـدـ توـصـلـ البـاحـثـ إـلـىـ أـنـ مـعـدـلـ الـمـسـارـ الـحـرـ(l)ـ يـعـطـيـ بـالـعـلـاقـةـ التـالـيـةـ:

$$l^{-1}(q) = \frac{1}{4} \frac{p}{1-p} q + A q^4 V_{\circ} \quad \text{for} \quad q V_{\circ}^{1/3} \leq 1, \omega < \omega_{pt} \quad (1.5)$$

$$l^{-1}(q) = BV_{\circ}^{-1/3} \quad \text{for} \quad qV_{\circ}^{1/3} > 1, \omega > \omega_{pt} \quad (1.6)$$

حیث ان:

p : القيمة الكسرية للحيز الخالي . Empty space fraction

Critical volume V_c : الحجم الحراري

ثوابت و A و B :

ω_{pt} : تردد منطقة السهل.

يمثل الحد الأول من المعادلة (1.5) التشتت الفونوني بالحيز الحالي، أما الحد الثاني فيعود إلى تشتت رايلي (Rayleigh Scattering) [16] ، وتمثل العلاقات التالية معدل استرخاء كل منها على التوالي:

$$\tau_{Es}^{-1} = \alpha x T \quad (1.7)$$

$$\tau_R^{-1} = \beta x^4 T^4 \quad (1.8)$$

حيث أن α و β ثوابت تعطى بالعلاقات التالية [7]:

$$\alpha = \frac{1}{4} \left(\frac{p}{1-n} \right) \frac{K_B}{\hbar} \quad (1.9)$$

$$\beta = \frac{AV^\circ}{\nu^3} \left(\frac{K_B}{k} \right) \quad (1.10)$$

وُجِدَ تجريبياً أن أعلى تردد يمكن للفونونات التذبذب به في المواد غير البلورية هو بحدود $(\omega_1 = 4 \times 10^{10} \text{ s}^{-1})$ والذى يقابل درجة الحرارة ($\theta_1 = 0.4\text{K}$) ولذلك نجد الإسهام الرئيس في المقاومة الحرارية ناتج عن التشتت بالحدود البلورية [32].

قسم دوبي Dubey [33] طيف الفونون إلى ثلاثة مناطق. المنطقة الأولى هي طيف الفونون ذات مدى التردد ($\omega_1 - 0$) والتي تتشتت بحدود البلورة وبالحيز الخالي. ومنطقة ثانية تمثل طيف الفونونات بمدى تردد ($\omega_1 - \omega_{pt}$) والتي تتشتت بالحيز الخالي فقط. أما المنطقة الثالثة فلا نجد فيها تتشتت بحدود البلورة ولا بالحيز الخالي وهي تعود للفونونات ذات مدى التردد ($\omega_D - \omega_{pt}$) (التردد ديباي). طبقاً للباحث دوبي Dubey [33] ووالتن Walton [7] يمكن صياغة مجموع معدلات الاسترخاء التشتتية الفونونية للتركيب غير البلوري كما يلي:

$$\tau_{BE}^{-1} = \tau_B^{-1} + \alpha x T + \beta x^4 T^4 \quad \text{for } 0 < \omega < \omega_1 \quad (1.11)$$

$$\tau_{EM}^{-1} = \alpha x T + \beta x^4 T^4 \quad \text{for } \omega_1 < \omega < \omega_{pt} \quad (1.12)$$

$$\tau_{AP}^{-1} = \beta' \quad \text{for } \omega_{pt} < \omega < \omega_D \quad (1.13)$$

حيث إن τ_B^{-1} معدل الاسترخاء لتشتت الفونونات بحدود البلورة ويعطى بالعلاقة التالية [34]:

$$\tau_B^{-1} = v/L \quad (1.14)$$

L : الطول المميز (Characteristic length)

أما الثابت β' فيعطى بالعلاقة التالية [7]:

$$\beta' = BvV_0^{-1/3} \quad (1.15)$$

وباستخدام أنموذج كالاوي (البند السابق) يمكن التعبير عن معامل التوصيل الحراري للبوليمرات غير المتبلورة بالصيغة التالية:

$$K_N = K_{BE} + K_{EM} + K_{AP} \quad (1.16)$$

حيث إن:

$$K_{BE} = C \int_0^{\theta_1/T} \tau_{BE} F(X) dx \quad \text{for } 0 < \omega < \omega_1 \quad (1.17)$$

$$K_{EM} = C \int_{\theta_1/T}^{\theta_{pt}/T} \tau_{EM} F(X) dx \quad \text{for } \omega_1 < \omega < \omega_{pt} \quad (1.18)$$

$$K_{AP} = C \int_{\theta_{pt}/T}^{\theta_D/T} \tau_{AP} F(X) dx \quad \text{for } \omega_{pt} < \omega < \omega_D \quad (1.19)$$

$$\theta_1 = \left(\frac{\hbar\omega_1}{K_B} \right), \quad \theta_{pt} = \left(\frac{\hbar\omega_{pt}}{K_B} \right), \quad \theta_D = \left(\frac{\hbar\omega_D}{K_B} \right)$$

استخدم حسن Hasen [27] أنموذج تموج الكثافة في دراسة التوصيل الحراري الشبكي للبوليمرات غير المتبولة البولي ستايرين (Polystyrene) وبولي خلات الفاينيل (Poly vinyl acetate) وبولي ميثيل ميتا اكريلات (Poly methy methacrylate) في مدى درجات الحرارة من 0.1K إلى 4K، حيث حصل على تطابق جيد مع القيم العملية للنمذاج الثلاثة. كما شملت الدراسة حساب تغير كل من K_{BE} و K_{EM} مع درجة الحرارة وكذلك نسبة الاسهام المؤدية لكل منها في التوصيل الحراري الكلي.

باستخدام نفس الأنماذج، استطاع عواد Awad تحليل التوصيل الحراري الشبكي لعينة من زجاج البوروسيلكات (Borosilicate) (Sample G1) ضمن المدى الحراري (0.04-2K) [31] وكذلك عينتين من البولي كاربونات (Polycarbonate) (Sample P1and P2) ضمن نفس مدى درجات الحرارة [35]. شملت الدراسة حساب تغير كل من K_{BE} و K_{EM} مع درجة الحرارة وكذلك نسبة الإسهام المؤدية لكل منها في التوصيل الحراري الكلي.

(4.1) التوصيل الحراري الشبكي للبوليمرات المتبولة

(1.4.1) الصيغة الرياضية للتوصيل

تمكن الباحث عواد Awad [36] من تجاوز التقريريات التي استخدمها كالأوي [18] وتوصل إلى الصيغة التالية في حساب التوصيل الحراري الشبكي للتراكيب البلورية في المواد الثنائية الذرة:

$$K_c = C_1 \theta_i^2 \int_0^{\theta_i/T} \tau_c \frac{\sqrt{J^\circ(1-J^\circ)} (\sin^{-1} \sqrt{J^\circ})^2}{(1-2J/M^\circ)} x e^x (e^x - 1)^{-2} dx \quad (1.20)$$

حيث ان:

$$C_1 = \frac{MK_B^3}{6\pi^2 a \hbar^2 (M+m)}$$

$$\theta_i = \hbar\omega_i/K_B$$

$$M^\circ = (M + m)/Mm$$

$$J = \frac{T^2 x^2}{M\theta_i^2}$$

$$J^\circ = J(M + m)(1 - J/M^\circ)$$

m, M : كتلة الذرة الكبيرة والذرة الصغيرة على التوالي

a : المسافة بين الذرتين

ω_i : أعلى تردد للفونون

طبق عواد أنموذجه لحساب التوصيل الحراري الشبكي لعنصر Ge ومركب GaAs ضمن مدى درجات الحرارة (2-300K) [36]، كما استخدمها محمد Mohammed [37] في حساب التوصيل الحراري للسيلكون Si في مدى درجات الحرارة (1.7-1350K)، واستخدمها مهدي Mahdi [38] في تحليل التوصيل الحراري للعناصر والمركبات المشوبة n-type Ge في مدى درجات الحرارة (1.3-4.4K) و p-type HgTe في مدى درجات الحرارة (1.7-300K) و p-type InSb في مدى درجات الحرارة (4.4K-2-100K)، واستخدمها حبش Habesh [39] لحساب التوصيل الحراري للهليوم الصلب He^4 في مدى درجات الحرارة (0.25-4K)، واستخدمها لفتة Lifta [40] في حساب التوصيل الحراري للمركبات LiF بتركيز مختلف من النظائر Isotopes في مدى درجات حرارة (1.2-100K) و HD الصلب في مدى درجة حرارة (0.2-3K) و Mg₂Sn في مدى درجات حرارة (3-1000K).

2.4.1) معدلات الاسترخاء

تتشتت الفونونات في المواد البلورية بعدة عمليات، ويختلف تأثير كل عملية من مادة إلى أخرى، ويختلف باختلاف درجات الحرارة للمادة نفسها، كما أن هذه العمليات تحدث بصورة مستقلة بعضها عن البعض الآخر. ضمن مدى درجة حرارة الدراسة، تتشتت الفونونات بحدود البلورة وبمعدل استرخاء τ_B^{-1} مُعطى في العلاقة (1.14)، وتتشتت بالعيوب النقطية τ_{Pt}^{-1} [41] والخلع البلوري τ_{Dis}^{-1} [42]، بمعدلات الاسترخاء التالية:

$$\tau_{Pt}^{-1} = A_{Pt} \omega^4 \quad (1.21)$$

A_{Pt} : معامل قوة التشتت بالعيوب النقطية

$$\tau_{Dis}^{-1} = A_{Dis} \omega \quad (1.22)$$

A_{Dis} : معامل قوة التشتت بالخلع البلوري.

وبذلك يكون معدل الاسترخاء الكلي للتشتتات الفونونية في المواد البلورية كالتالي:

$$\tau_C^{-1} = \tau_B^{-1} + \tau_{Dis}^{-1} + \tau_{Pt}^{-1} \quad (1.23)$$

5-1) التوصيل الحراري الشبكي للبوليمرات شبه البلورية

درس التوصيل الحراري الشبكي للبوليمرات شبه البلورية على الصعيدين العملي [43-45] والنظري [12, 30, 46, 47]، حيث وُجد إنه يعتمد على درجة الحرارة بدرجة تتراوح بين T و T^3 عند درجات الحرارة ($20K < T$)، ويُظهر اعتماداً كثيراً على درجة التبلور.

افتراض جوي Choy [30] أن البوليمرات شبه البلورية تتتألف من شرائح ذات تركيب بلوري بأبعاد $1\mu m$ وسمك 100\AA مغمورة في تركيب غير بلوري ، المسافة بين هذه الشرائح تتراوح بين 100\AA و 300\AA . اقترح جوي وجود مقاومة حرارية في الحدود الفاصلة بين التراكيب البلورية وغير البلورية، هذا المقاومة الحدوية تُهمل في درجات الحرارة العالية (حوالي $30K$) حيث الطول الموجي للفونونات المهيمنة أصغر بكثير من كل من سماكة الشرائح البلورية والمسافة بين هذه الشرائح بحيث تقل المقاومة كلما ارتفعت درجة الحرارة . وهذا يفسر العلاقة العكسية بين التوصيل الحراري ودرجة التبلور عند درجات الحرارة الواطئة، في حين نجد العكس عند درجات الحرارة العالية . ونتيجة لذلك وجد صالح ودبي [46] أن الفونونات التي تتغلب على هذه المقاومة والانتشار في التركيب البلوري هي تلك الفونونات ذات التردد ($\omega_{pt} \geq \omega$).

أشار نايستن و جماعته Nysten et. al. [43] في دراسته للبوليمير شبه البلوري البولي أثيلين إلى وجود فرق مميز بين قيم التوصيل الحراري المحسوبة عموديا على السلسل البوليميرية K_{\perp} وتلك المحسوبة بشكل موازي لها K_{\parallel} ، بحيث وجدها أكبر في الحال الثانية عنها في الأولى.

باعتبار أن البوليمير شبه المتبلور يحتوي على تراكيب متبلورة و تراكيب غير متبلورة، وباستخدام نموذج كالاوي Callaway [18]، عبر كل من صالح Saleh [28] وصالح ودبي Saleh and Dubey [46] وحسن Hasen [27] وعواد وشرجي Awad and Shargi [29] عن التوصيل الحراري الشبكي الكلي K كحاصل جمع التوصيل الحراري الشبكي الناتج عن كل من التركيب البلوري K_C والتركيب غير البلوري K_N :

$$K = K_C + K_N \quad (1.24)$$

استخدمت الطريقة أعلاه لحساب التوصيل الحراري الشبكي للبولي أثيلين (Polyethylen) (0.15-4K) والنانيون (Nylon) (0.1-5K) والتفلون (Teflon) (0.2-5K) [28]، إذ ينتج التوصيل الحراري الشبكي الكلي عن إسهام التراكيب غير البلورية عند درجات الحرارة الواطئة، كما وجد تأثير واضح لقيمة الكسرية p على التوصيل الحراري للبوليمرات عند مدى درجات الحرارة ($2K < T < 20K$) . دراسة التوصيل الحراري الشبكي لبولي اوکسي مثيلين (Polyoxymethylene) وبولي تيرافثالات الاثيلين (Poly ethylene terephthalate) في مدى درجات الحرارة (1-20K) [27]، وذلك بحسب

إسهام كل من K_N و K_C في التوصيل الحراري الكلي. لدراسة التوصيل الحراري الشبكي لأربع عينات من البولي أثيلين بدرجات تبلور مختلفة ومدى درجات الحرارة (0.4-20K)، تم حساب الإسهام المئوي لـ K_N و K_C و K_{EM} و K_{BE} في التوصيل الحراري الكلي، حيث توصلت الدراسة إلى تطابق جيد مع القيم التجريبية واعتماد كبير للتوصيل الحراري على درجة التبلور، مع ملاحظة وجود نقطة الانقلاب (cross-over point) عند درجة حرارة 2k [29]. ولنفس عينات البولي أثيلين، أشار عواد وشرجي Awad and Shargi [48] إلى الأنثواض الواضح للتشتت الفونوني بالحيز الحالي على التوصيل الحراري الشبكي ولقيم مختلفة من درجات التبلور.

حيث قام جراد Jarad [49] بدراسة التوصيل الحراري الشبكي لأربعة مجاميع من البولي أثيلين، بدرجات تبلور وحرارة مختلفة، مستخدماً صيغ عواد [36] لكل من التركيب البلوري وغير البلوري على حدا سواء. وجد جراد أن التوصيل الحراري الشبكي في البولي أثيلين يعود إلى التركيب غير البلوري عند درجات الحرارة الواطئة، بينما ينبع عن التركيب البلوري K_N عند درجات الحرارة العالية. شملت الدراسة أيضاً بيان تأثير درجة التبلور، وتفسير نقطة الانقلاب في منحنيات التوصيل.

(6-1) الهدف من الدراسة

تعتبر الدراسة الحالية تحليلاً نظرياً للتوصيل الحراري الشبكي في البوليمرات غير المتبولة والبوليمرات شبه البلورية، باستخدام الخطوات التالية :

- بيان مدى فعالية أنموذج تموج الكثافة في تفسير منحنيات التوصيل الحراري الشبكي للبوليمرات غير المتبولة البولي كاربونات Polycarbonate وزجاج البوروسيلكات Borosilicate في مدى درجات الحرارة (0.04-60K). خاصة عند إضافة مركبة التوصيل الحراري الشبكي العائد للفونونات بمدى التردد ($\omega_D - \omega_{pt}$).

- تحليل منحنيات التوصيل الحراري الشبكي في البوليمرات شبه البلورية، باستخدام صيغ كالاوي المتضمنة أنموذج تموج الكثافة لوالتن [7] للجزء غير المتبول من البوليمرات، وصيغة عواد [36] للجزء المتبول. وضعت المواد البوليمرية البولي أثيلين وبولي تيرافثالات لاثيلين كعينات للدراسة بدرجات تبلور مختلفة.

- على ضوء التحليل السابق للبوليمرات شبه البلورية، سعى الدراسة لبيان مدى تأثير درجة التبلور على طبيعة تغير منحنى التوصيلية مع درجة الحرارة، وكذلك الحال للتركيبين البلوري K_C وغير البلوري K_N .

- توضيح دور عوامل التشتت الفونوني في التوصيل الحراري الكلي للبوليمرات موضع الدراسة.

7-1) تنظيم الأطروحة

على ضوء ما وضع من أهداف، فقد قسمت الدراسة إلى ثلاثة فصول: تضمن الفصل الأول (مقدمة عامة) سبعة بنود، اشتمل البند الأول على مقدمة عامة عن البوليمرات من حيث التركيب والخواص. كما أعطى البند الثاني فكرة عن التوصيل الحراري الشبيكي . أما البند الثالث فقد تم فيه دراسة التوصيل الحراري الشبيكي للبوليمرات غير المتبلورة والصيغة الرياضية المستخدمة، حيث استعنا بكل من أنموذج كالاوي لصيغة التوصيلية وأنموذج تموج الكثافة لوالتن لدراسة معدلات الاسترخاء للتشتتات الفونونية. اشتمل البند الرابع على دراسة التوصيل الحراري الشبيكي في البوليمرات المتبلورة من خلال عرض للصيغة التي تقدم بها عواد، كذلك اشتمل البند على استعراض سريع لمعدلات الاسترخاء للتشتتات الفونونية للمواد البلورية. أما البند الخامس فتناول التوصيل الحراري الشبيكي للبوليمرات شبه البلورية والذي يُحسب كحاصل جمع للتوصيل الحراري الناجم عن التركيبين البلوري وغير البلوري. اشتمل البند السادس على بيان الأهداف المتداولة من الدراسة، أما تنظيم الرسالة فقد استعرض في البند الأخير.

طرق الفصل الثاني (التوصيل الحراري للبوليمرات غير المتبلورة) إلى نتائج التوصيل الحراري الشبيكي للبوليمرات غير المتبلورة ، حيث استخدمنا البولي كاربونات وزجاج البوروسيلكات كعينات للدراسة في مدى درجات الحرارة (0.04-60K). قسم الفصل إلى ثلاثة بنود : خصص أولها لنتائج التوصيل الحراري الشبيكي عينات البولي كاربونات. بينما تناول الثاني نفس الدراسة على عينات زجاج البوروسيلكات . أما مناقشة النتائج والاستنتاجات التي توصلت إليها الدراسة فقد استعرضت في البندين الثالث والرابع على التوالي. تضمن البند الخامس استعراض للدراسة المستقبلية في مجال التوصيل الحراري الشبيكي للبوليمرات غير المتبلور.

بين الفصل الثالث (التوصيل الحراري للبوليمرات شبه المتبلورة) حساب التوصيل الحراري الشبيكي للبوليمرات شبه المتبلورة . قسم الفصل إلى ثلاثة بنود: خصص أولها لنتائج التوصيل الحراري الشبيكي لعينات من البولي إثيلين بن درجات تبلور مختلفة وتأثير قوى التشتت الفونوني على التوصيل الحراري الشبيكي. بينما تناول الثاني الدراسة نفسها على عينات البولي تيرافثالات الإثيلين . عرض كل من البند الثالث والرابع مناقشة نتائج العينات المستخدمة والاستنتاجات على التوالي . أخيراً بين البند الخامس الدراسة المستقبلية في التوصيل الحراري الشبيكي للبوليمرات شبه المتبلورة.



الفصل الثاني

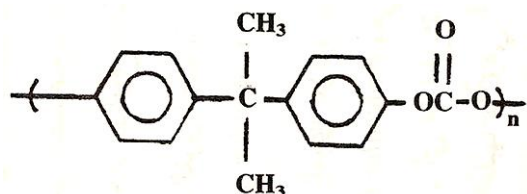
التوصيل الحراري الشبيكي
للبوليمرات غير المتبلورة



لدراسة منحنيات التوصيل الحراري الشبيكي في البوليمرات غير البلورية ، تم استخدام النتائج العلمية للتوصيل الحراري الشبيكي لعينات من زجاج البوروسيلكات والبولي كاربونات مختلفة من حيث حجم وكثافة الأحيز الخالية والمقدمة من قبل زايتلين واندرسون Zaitlin and Anderson [50] . باستخدام العلاقات (1.11-13,16-19)، نظمت قوى التشتت (Scattering strengths) لنجعل على عملية تطابق (Fitting) بين القيم العملية والنظرية. استخدمت الدراسة قيم الثوابت ($\theta_1 = 0.4K$) و($\theta_{pt} = 10K$) لكلا المادتين [51,35]، و($\theta_D = 300K$) و($v = 3.74 \times 10^5 \text{ cm/s}$) لزجاج البوروسيلكات [51] و($\theta_D = 120K$) و($v = 1.4 \times 10^5 \text{ cm/s}$) للبولي كاربونات [35].

(1-2) التوصيل الحراري الشبيكي في البولي كاربونات

ان الصيغة الكيميائية لهذا البوليمر هي [2]:

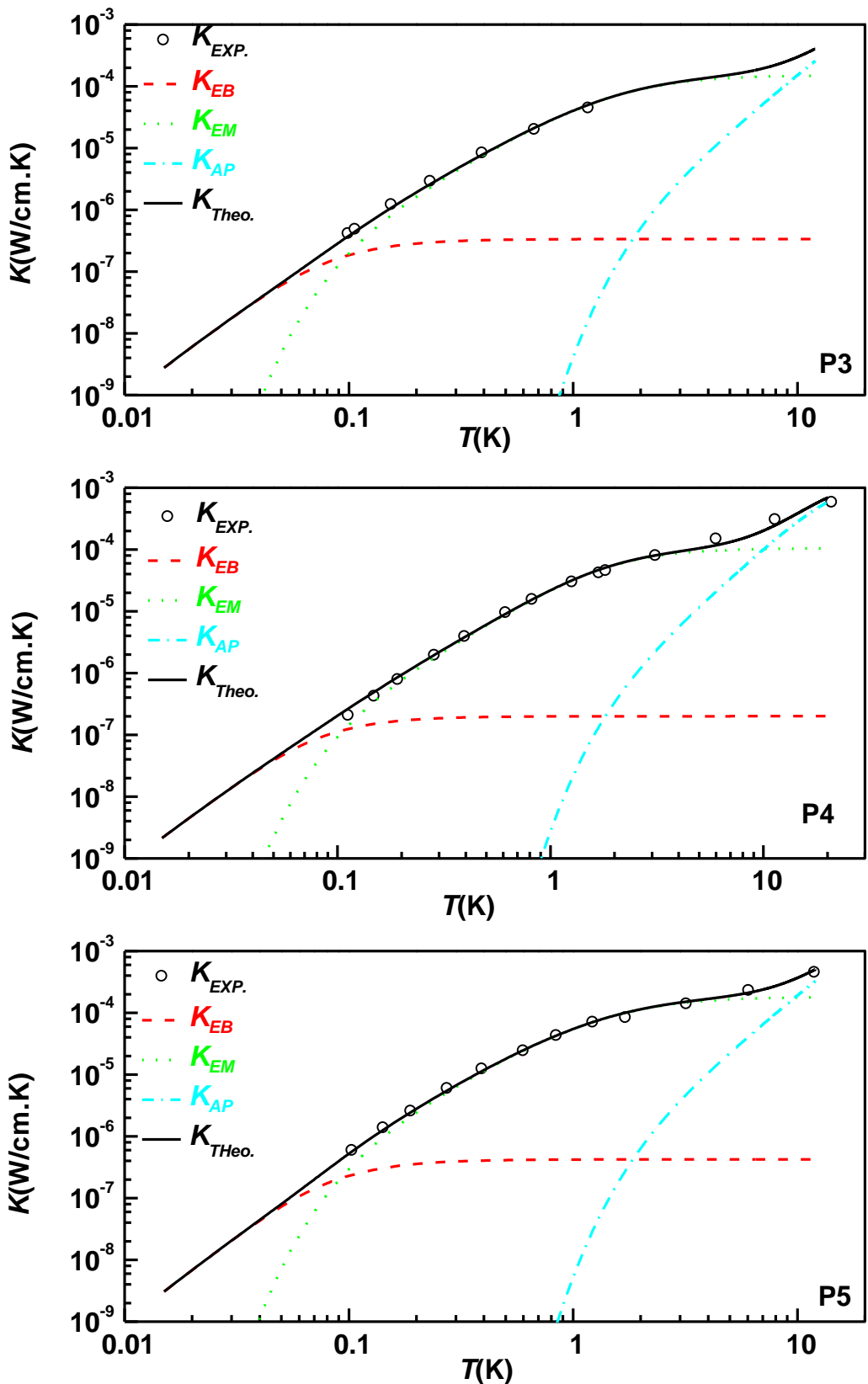


يبين الجدول (1.2) قيم قوى التشتت المستخدمة لحساب التوصيل الحراري الشبيكي لثلاث عينات من البولي كاربونات (P3 و P4 و P5) ، في مدى درجات الحرارة (0.1-20K)، والناتج مبينة في الشكل (1.2). يوضح الشكل أيضا إسهام طيف الفونون K_{AP} و K_{EM} و K_{BE} . كما تم حساب الإسهام المؤوي لكل من K_{AP} و K_{EM} و K_{BE} في التوصيل الكلية، والناتج موضحة في الشكل (2.2).

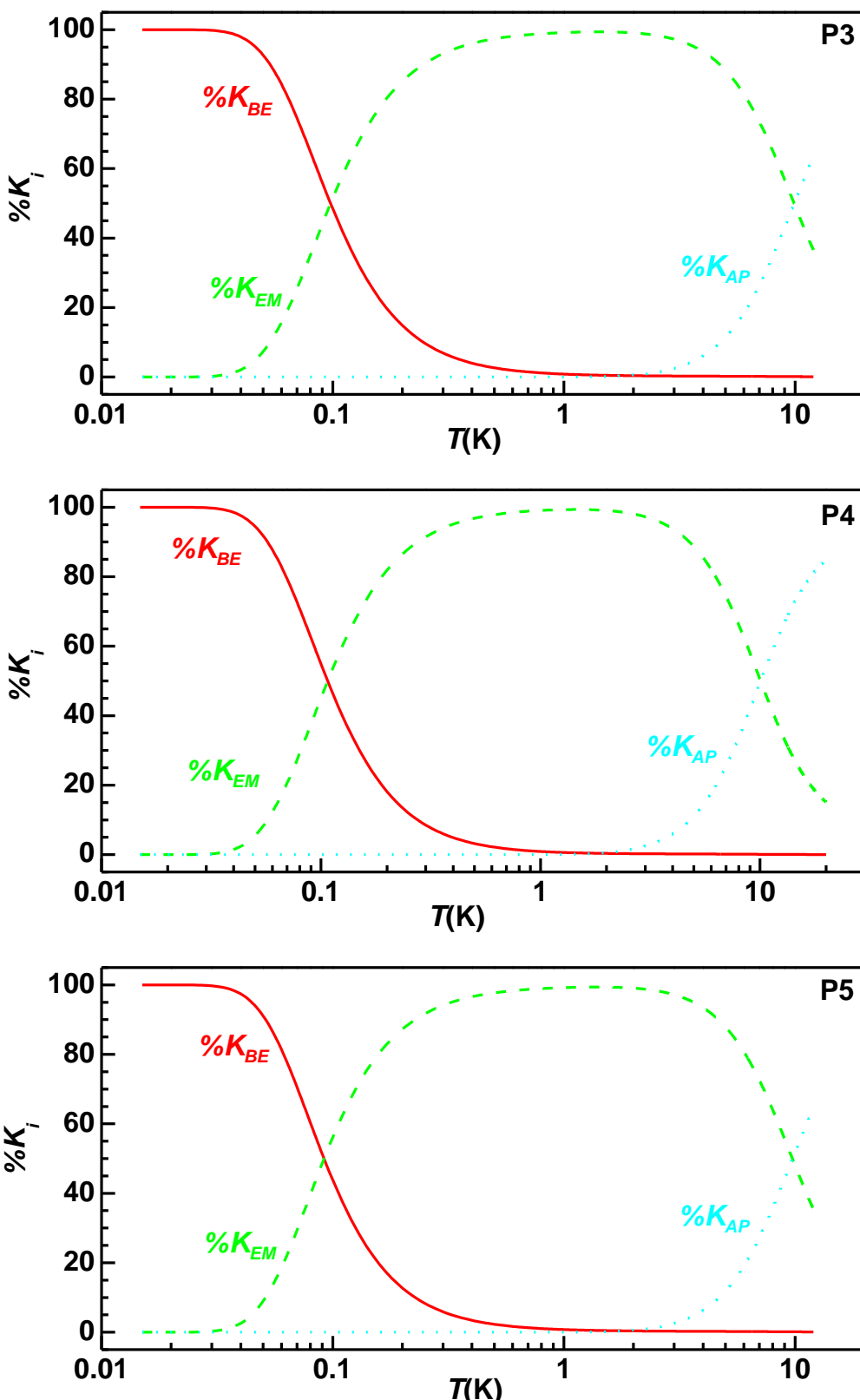
باستخدام قيم مختلفة من عامل الضرب F ، درس تأثير قوى التشتت الفونوني بالحدود البلورية وبالحيز الخالي وتشتت رايلي على التوصيل الحراري الشبيكي، والناتج مرسومة في منحنيات الأشكال (3.2 - 5) على التوالي. في العينات المستخدمة دُرست العلاقة بين معدلات التشتت والتردد ω (الشكل 6.2)). يبين الشكل (7.2) تغير التوصيل الحراري الشبيكي للعينات الثلاث مع القيمة الكسرية للحيز الخالي عند درجة حرارة مختلفة.

الجدول (1.2): قيم قوى التشتت في عينات البولي كاربونات.

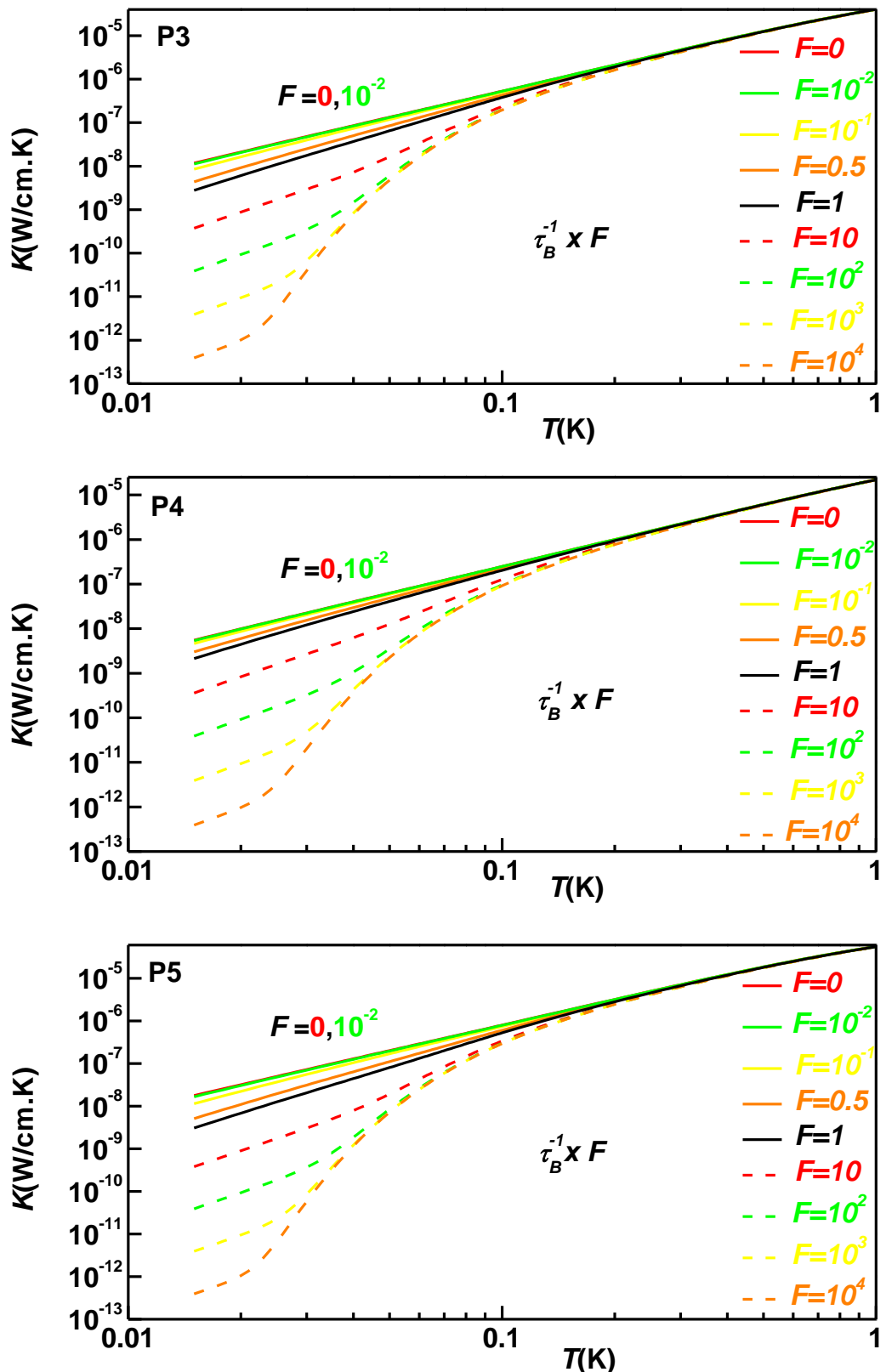
العامل	العينة P3	العينة P4	العينة P5
$\tau_B^{-1} (10^8 \text{ s}^{-1})$	2.5	2.5	2.5
$\alpha (10^9 \text{ s}^{-1} \text{ K}^{-1})$	1.5	3.2	1
$\beta (10^6 \text{ s}^{-1} \text{ K}^{-4})$	9	6.6	9.8
$\beta' (10^{12} \text{ s}^{-1})$	1.9	2.9	1.5



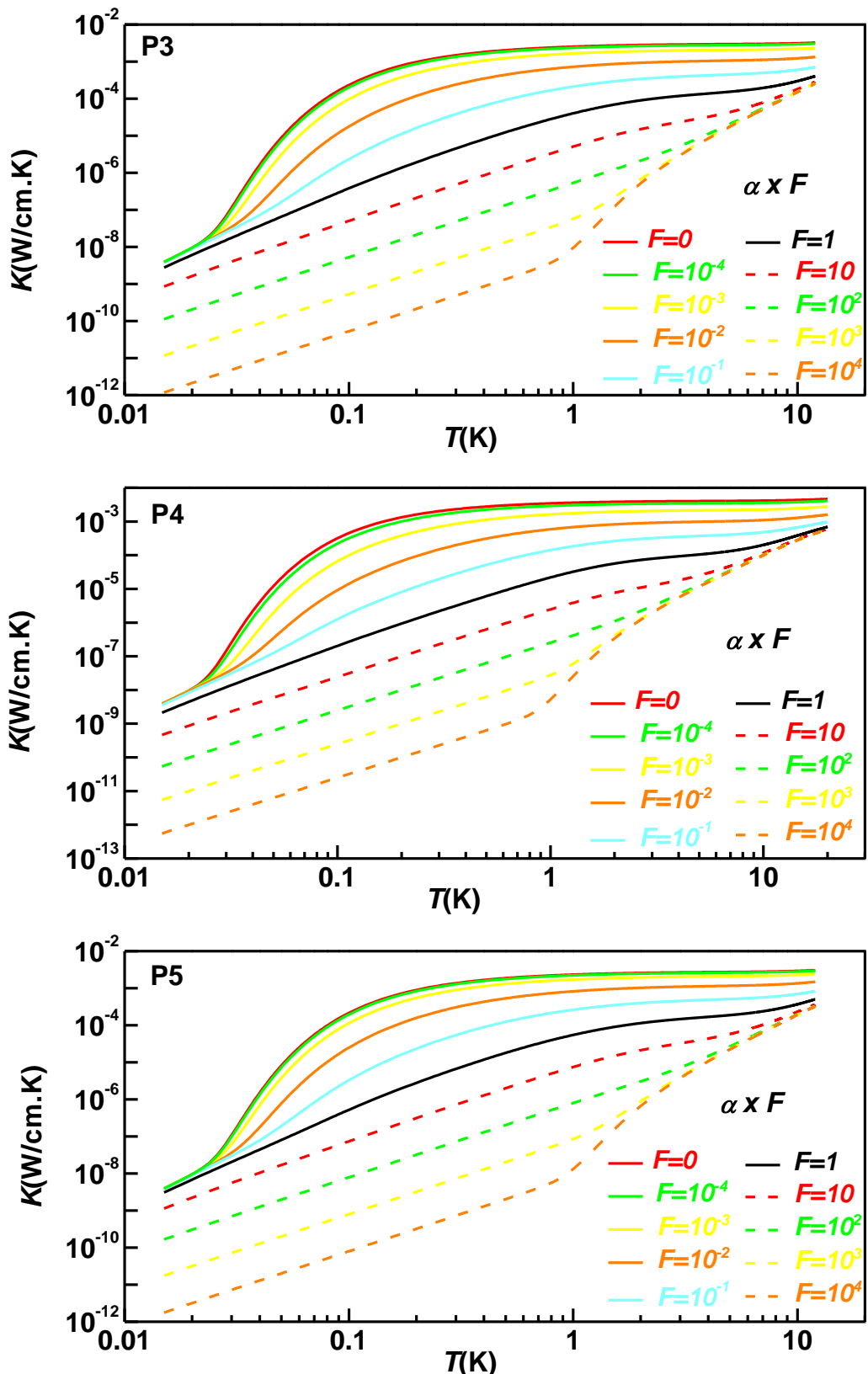
الشكل (1.2) : التوصيل الحراري الشبكي لعينات البولي كاربونات.



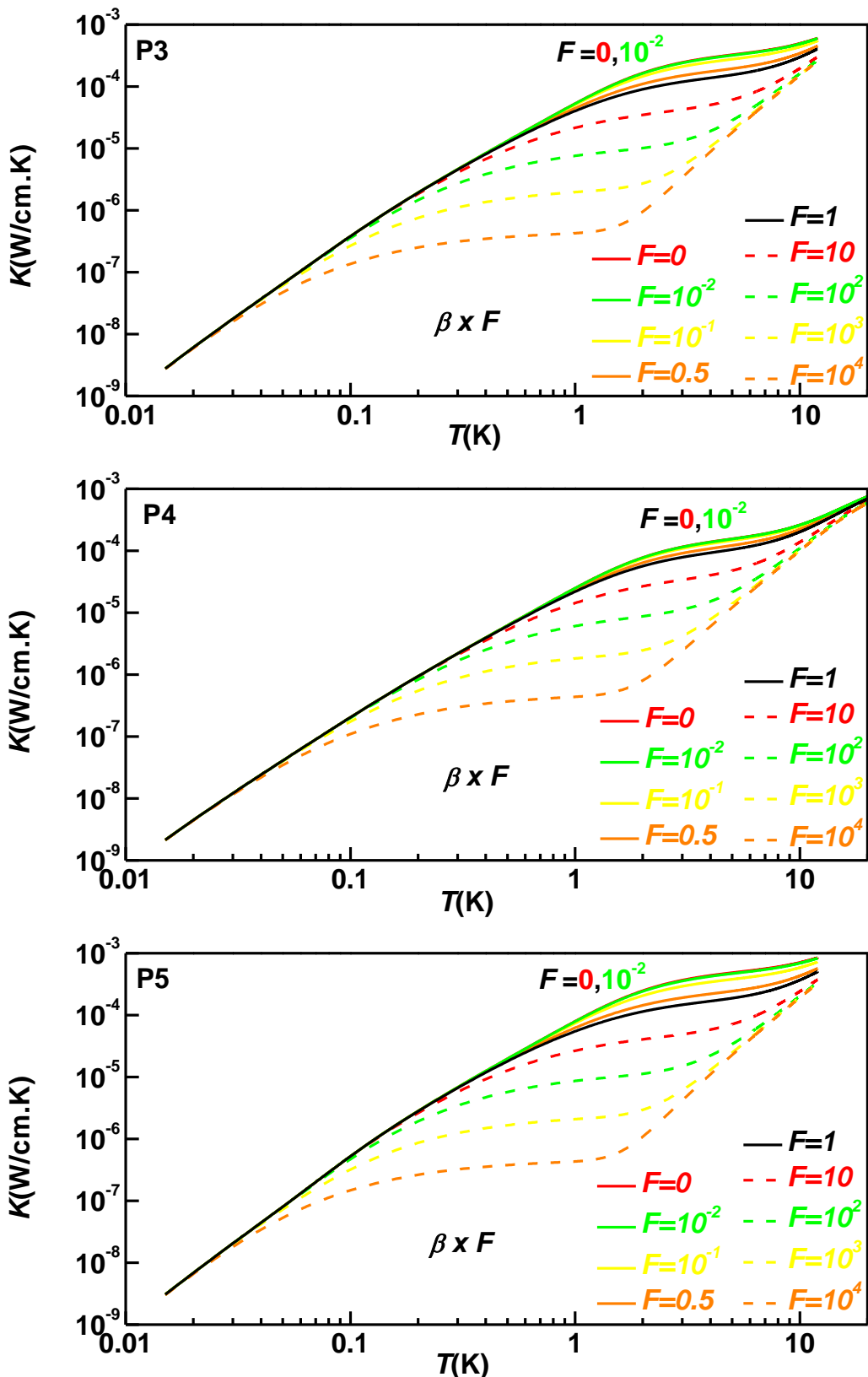
الشكل (2.2): الإسهام المئوي للتوصيل الحراري K_{BE} و K_{EM} و K_{AP} لعينات البولي كاربونات.



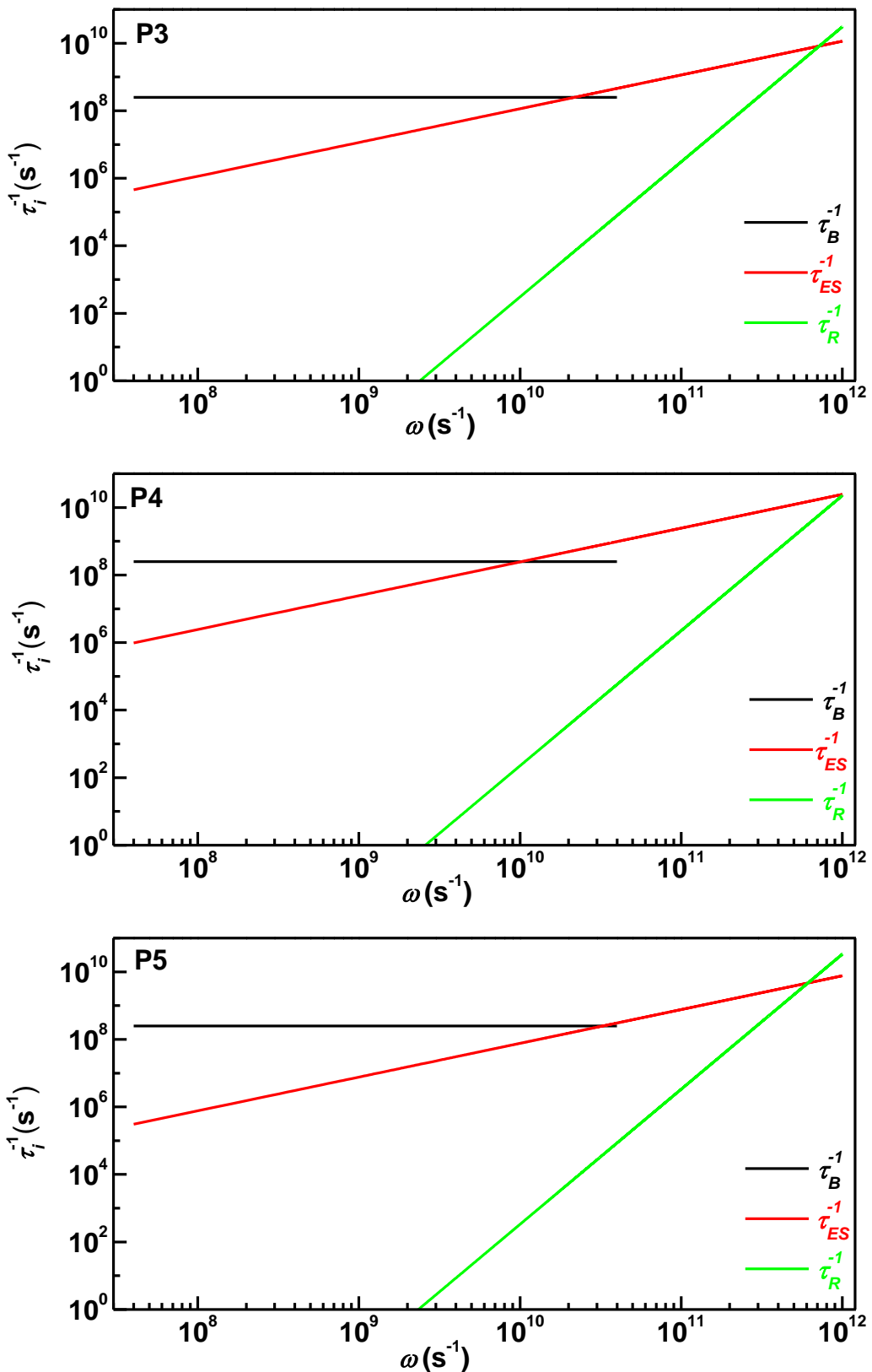
الشكل (3.2) : منحنيات التوصيل الحراري الشبيكي لقيم مختلفة من قوة التشتت الفونوني بحدود البلورة لعينات البولي كاربونات.



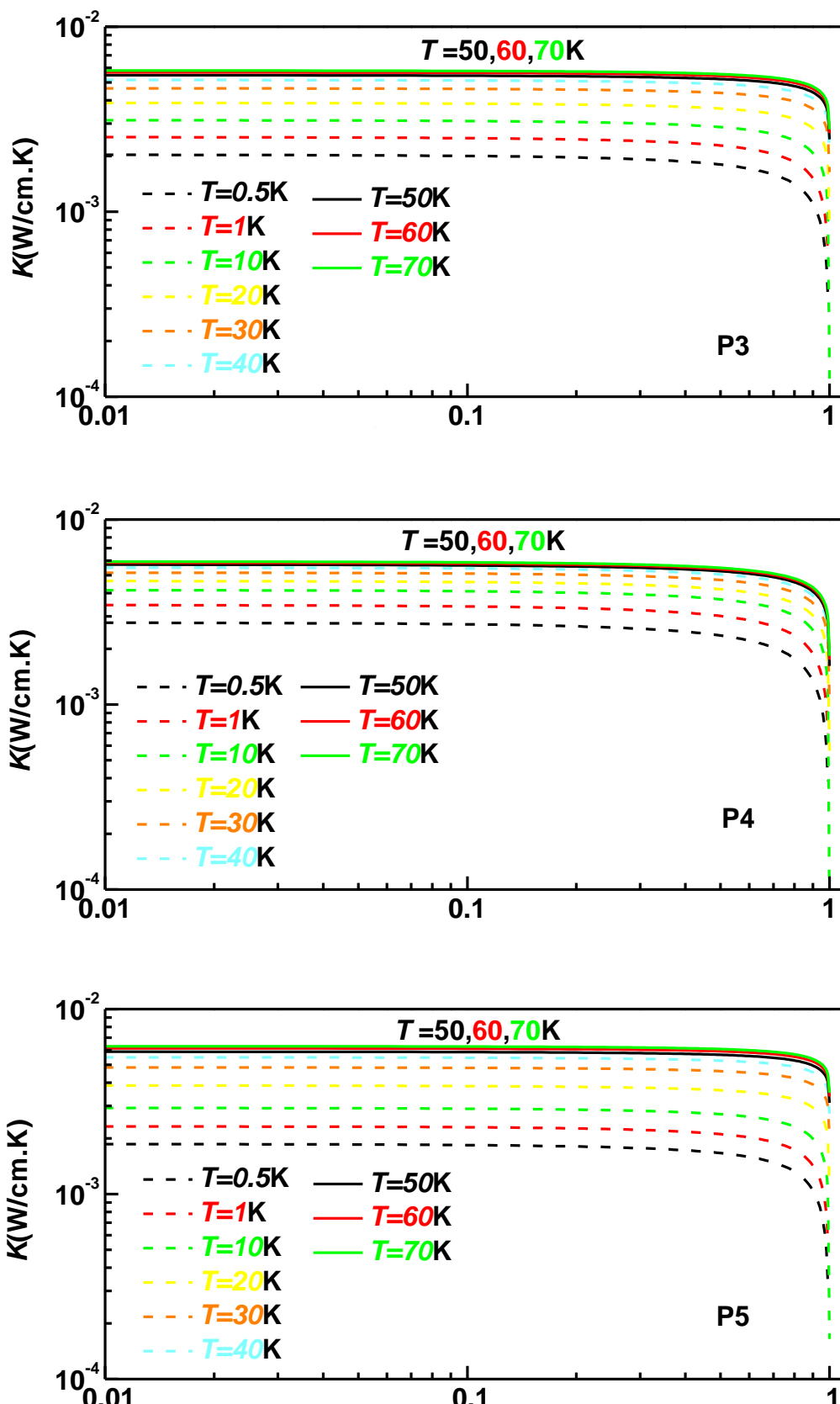
الشكل (4.2) : منحنيات التوصيل الحراري الشبكي لقيم مختلفة من قوة التشتت بالحيز الحالي لعينات البولي كاربونات.



الشكل (5.2) : منحنيات التوصيل الحراري الشبكي لقيم مختلفة من قوة تشتت رايلي لعينات البولي كاربونات.



الشكل (6.2) : تغير معدلات التشتت المستخدمة مع التردد ω لعينات البولي كاربونات.



الشكل (7.2): التوصيل الحراري الشبيكي للبولي كاربونات كدالة لقيمة الكسرية للحيز الحالي عند درجات حرارة مختلفة.

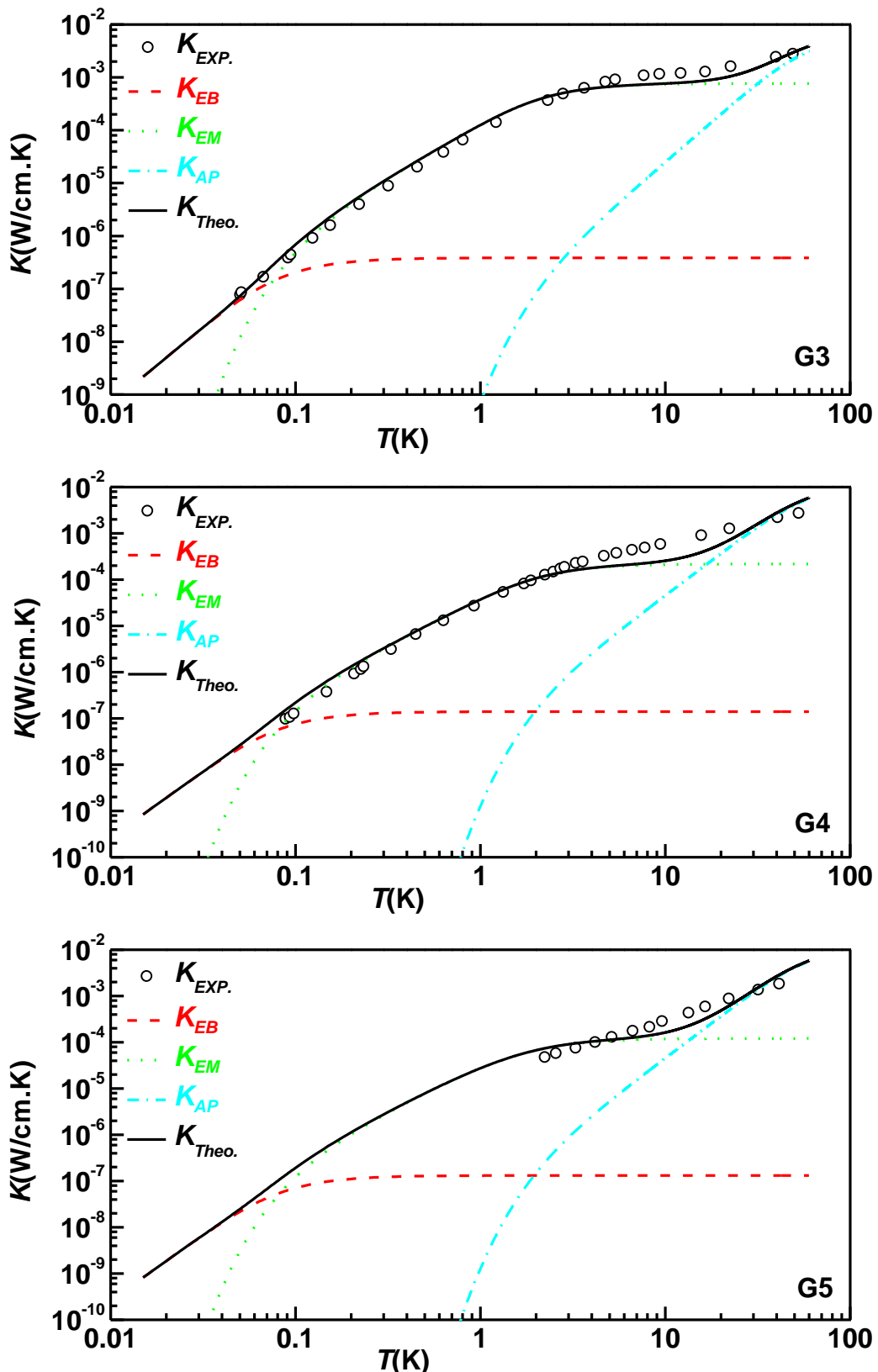
(2.2) التوصيل الحراري في زجاج البوروسيلكات

يبين الجدول (2.2) قيم قوى التشتت المستخدمة في حساب التوصيل الحراري الشبكي لثلاث عينات من زجاج البوروسيلكات (G3 و G4 و G5) في مدى درجات الحرارة (0.04-60K). من حيث التوصيل الكلي والإسهامات K_{BE} و K_{AP} و K_{EM} مبينة في الشكل (8.2). أما الإسهام المئوي لكل من K_{AP} و K_{EM} في التوصيل الحراري الكلي فنجد بشكل واضح في الشكل (9.2).

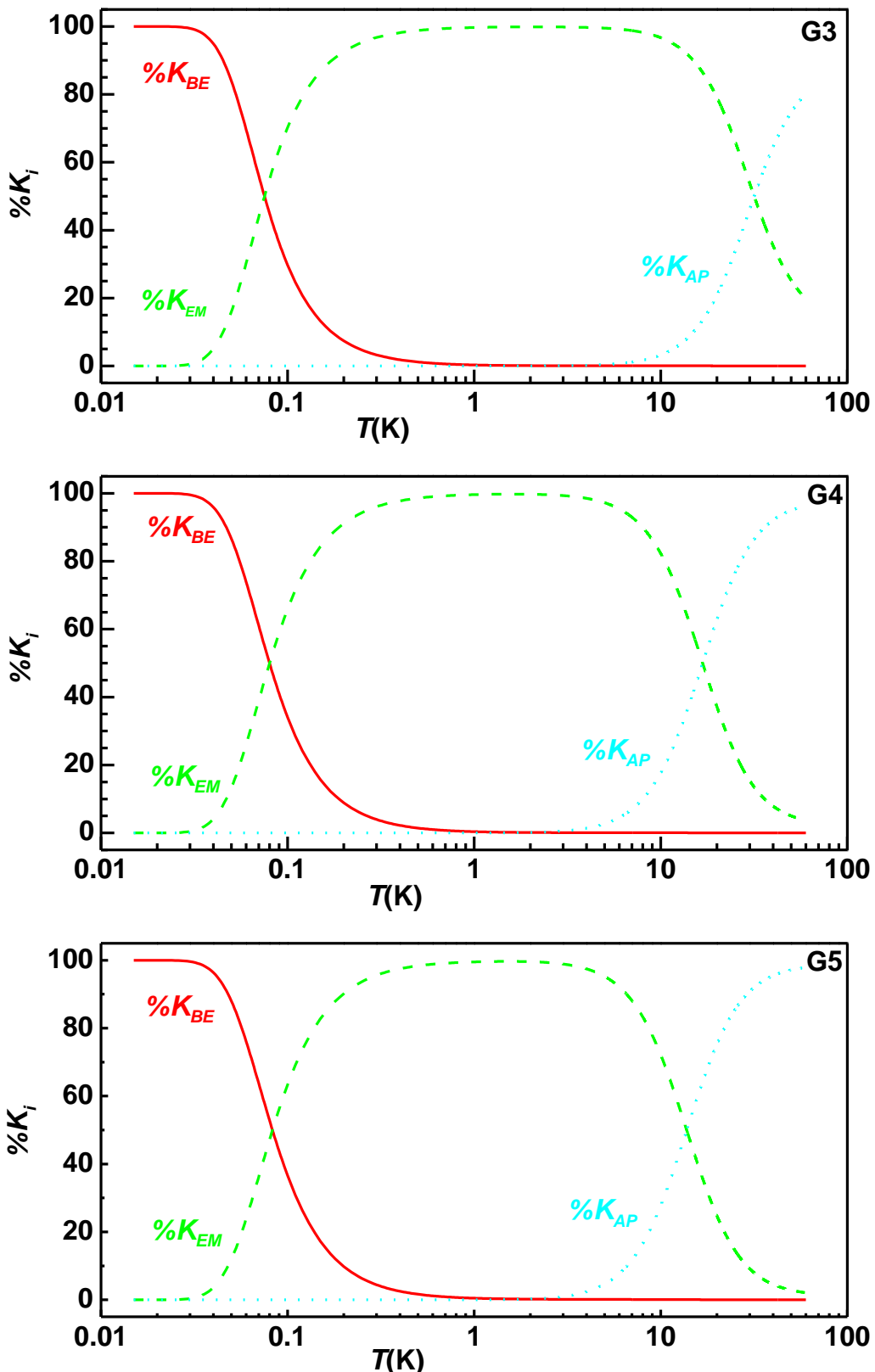
تمت دراسة تأثير قوى التشتت الفونوني بالحدود البلورية وبالحيز الخالي وتشتت رايلي على التوصيل الحراري الشبكي لقيم مختلفة من عامل الضرب F (الأشكال 10.2-12). كما درست العلاقة بين معدل التشتتات المختلفة والتردد ω عند درجات حرارة مختلفة والناتج موضح في الشكل (13.2) للعينات الثلاث. يبين الشكل (14.2) تغير التوصيل الحراري الشبكي للعينات الثلاث مع القيمة الكسرية لحizin الخالي عند درجة حرارة مختلفة.

الجدول (2.2): قيم قوى التشتت في عينات زجاج البوروسيلكات.

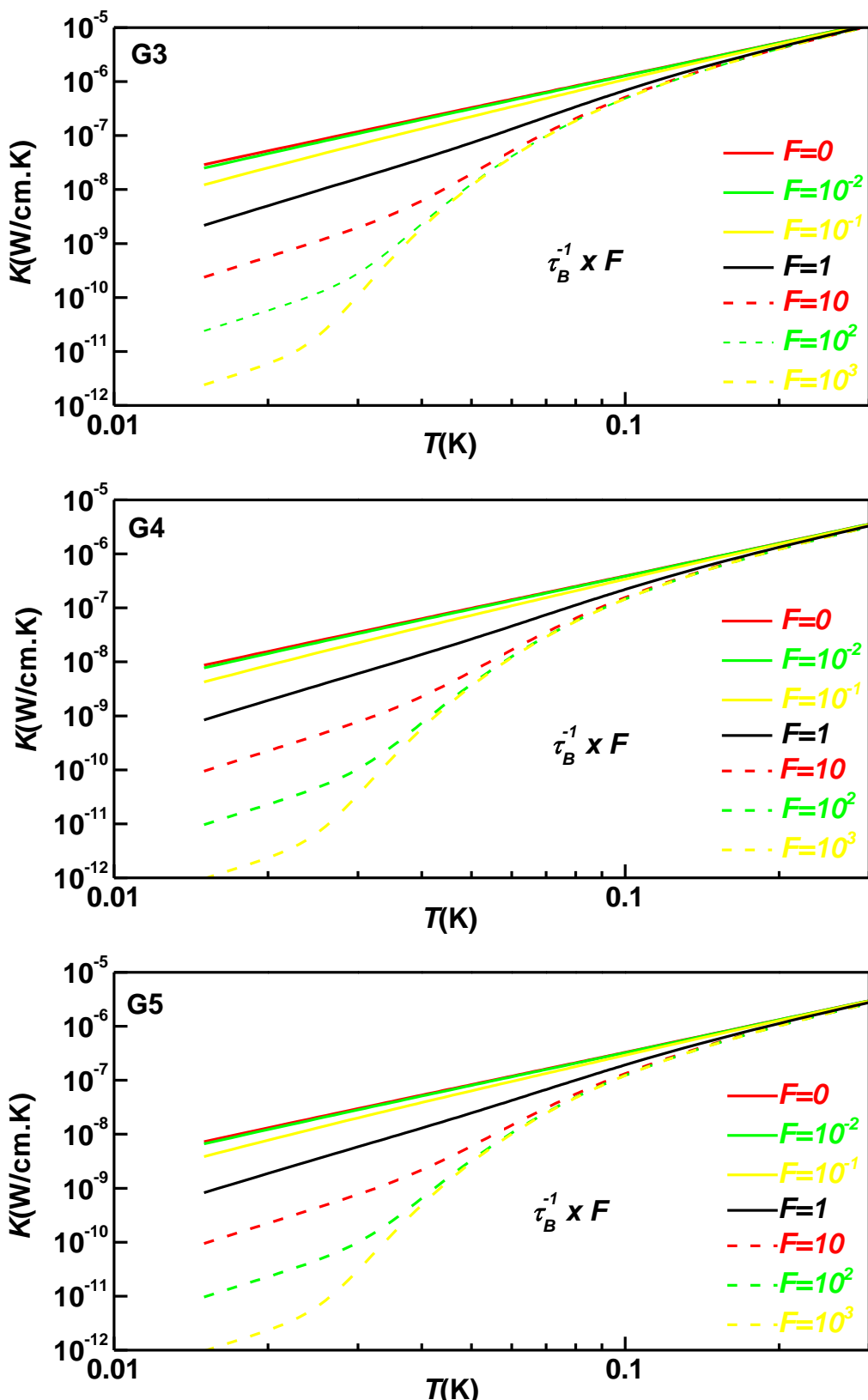
العامل	العينة G3	العينة G4	العينة G5
$\tau_B^{-1} (10^8 \text{ s}^{-1})$	4	4	4
$\alpha (10^8 \text{ s}^{-1} \text{ K}^{-1})$	2.4	8	9.5
$\beta (10^5 \text{ s}^{-1} \text{ K}^{-4})$	1	5	30
$\beta' (10^{12} \text{ s}^{-1})$	4.5	2.6	2.4



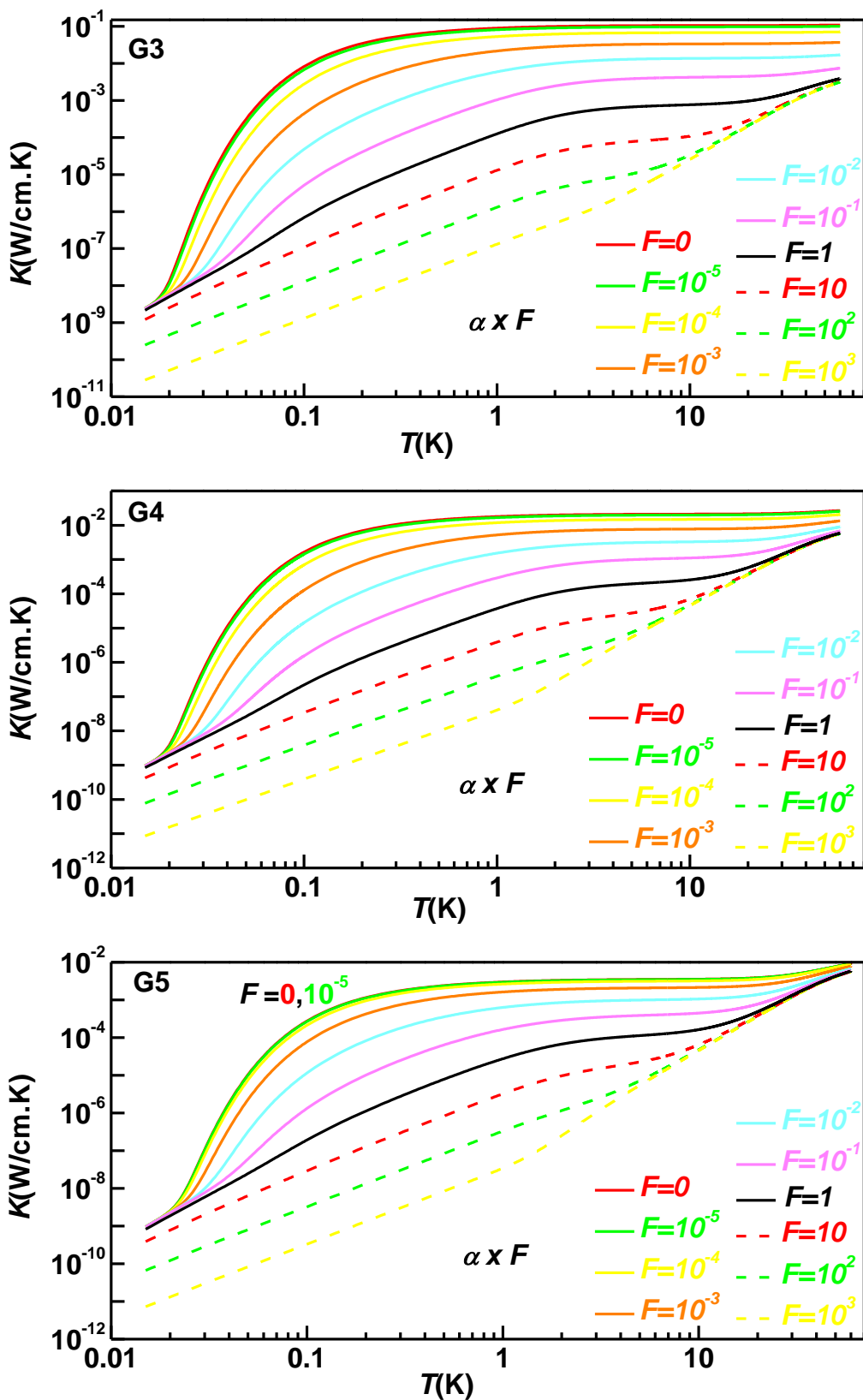
الشكل (8.2): منحنيات التوصيل الحراري الشبيكي في عينات زجاج البوروسيلكات.



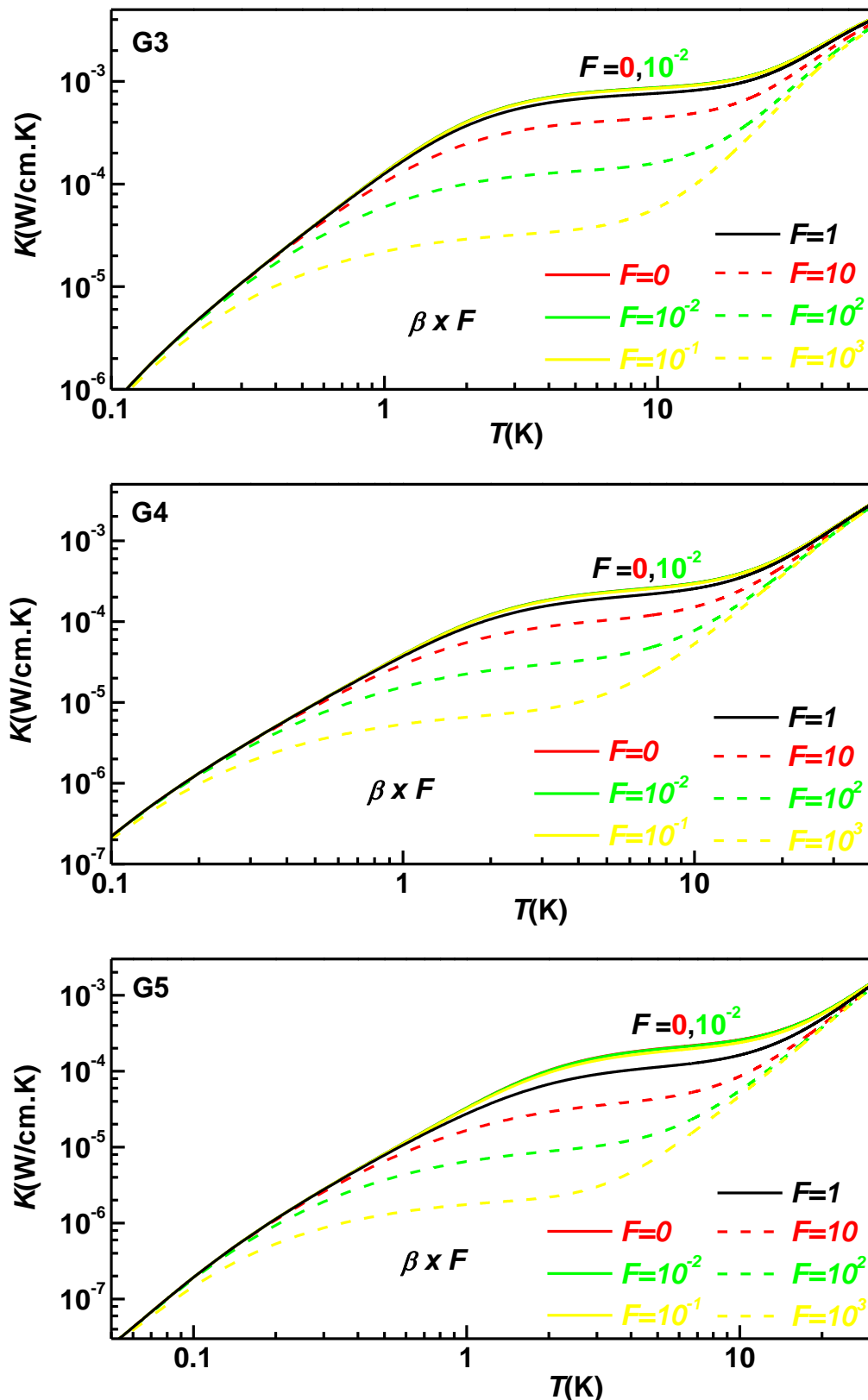
الشكل (9.2): الإسهام المئوي للنحوبي الحراري K_{AP} و K_{EM} و K_{BE} لعينات زجاج البوروسيلكات



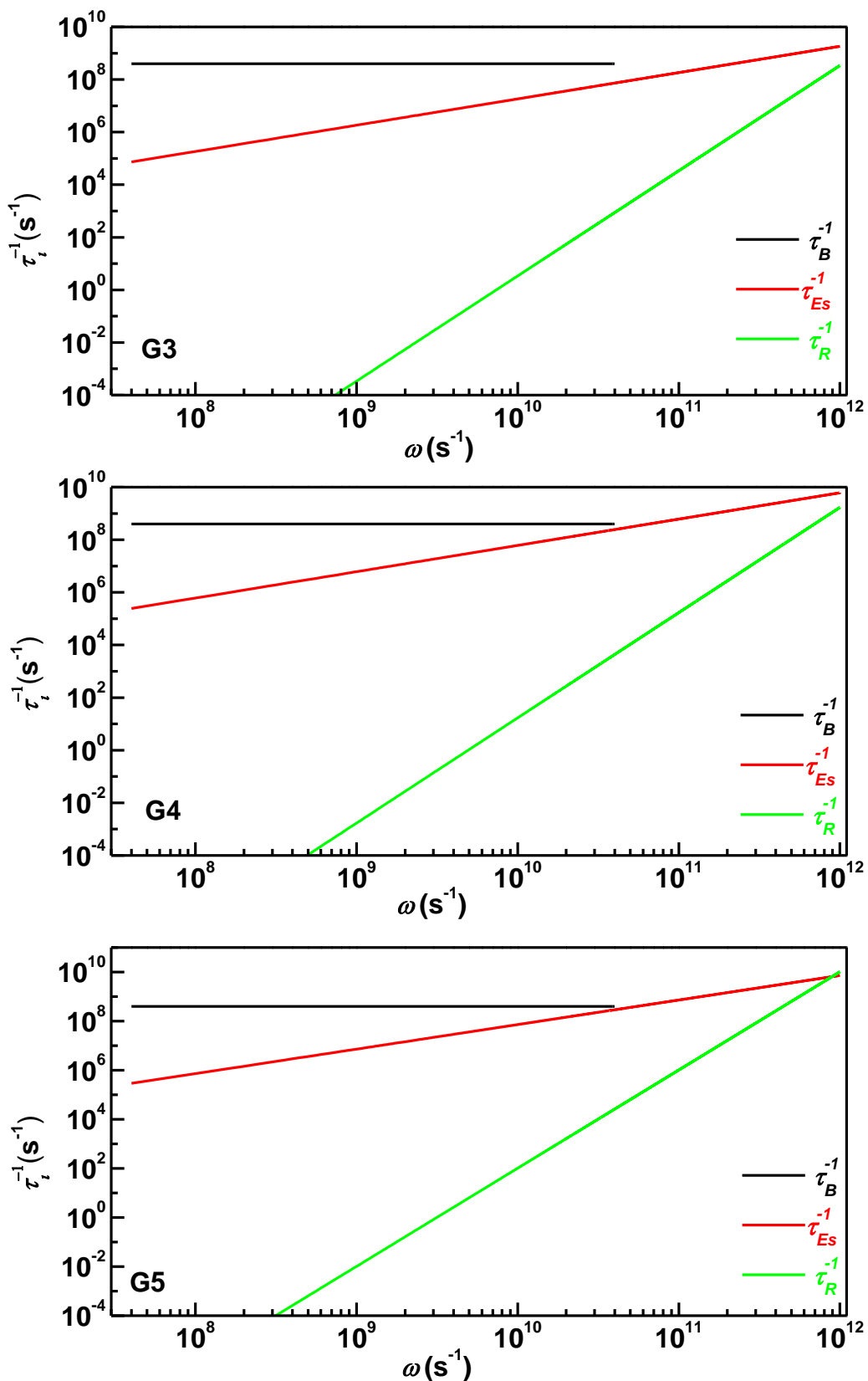
الشكل (10.2): التوصيل الحراري الشبكي كدالة لدرجة الحرارة لقيم مختلفة من معدل زمن الاسترخاء للتشتت الفونوني بحدود البلورة لعينات زجاج البوروسيلكات.



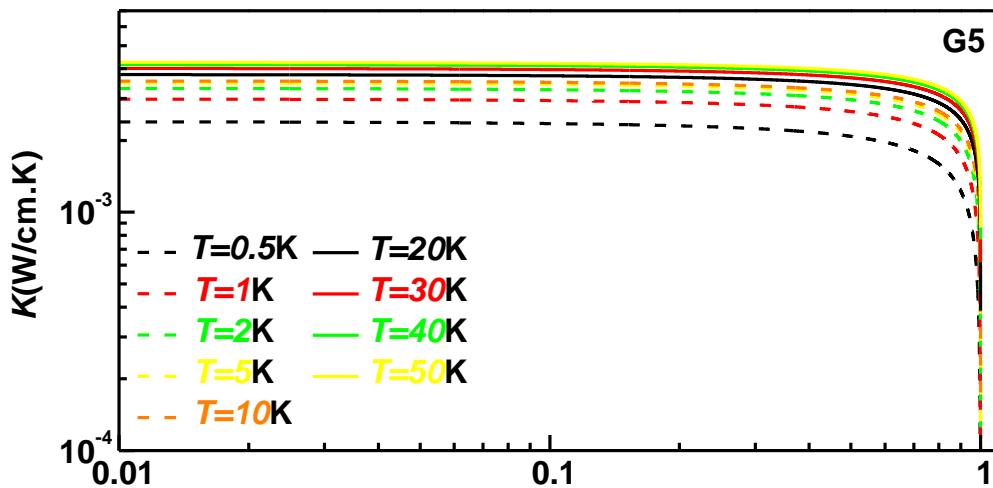
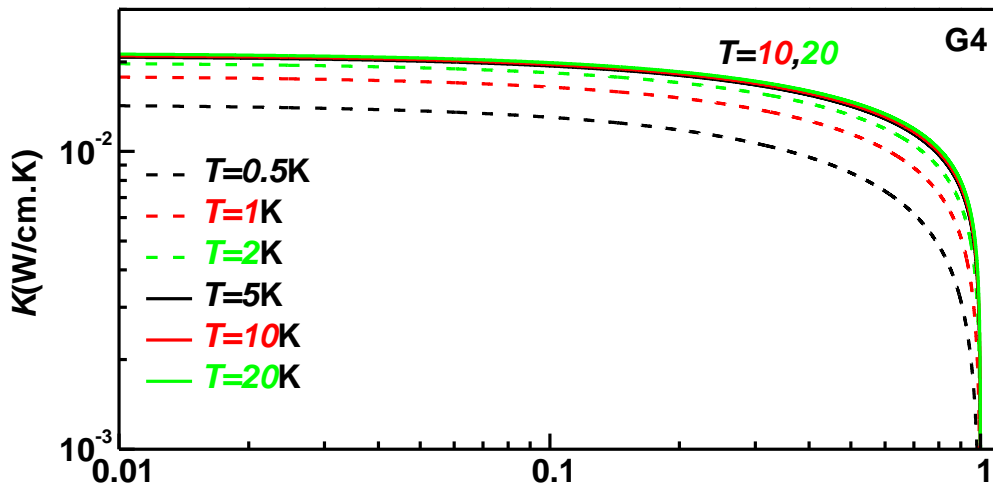
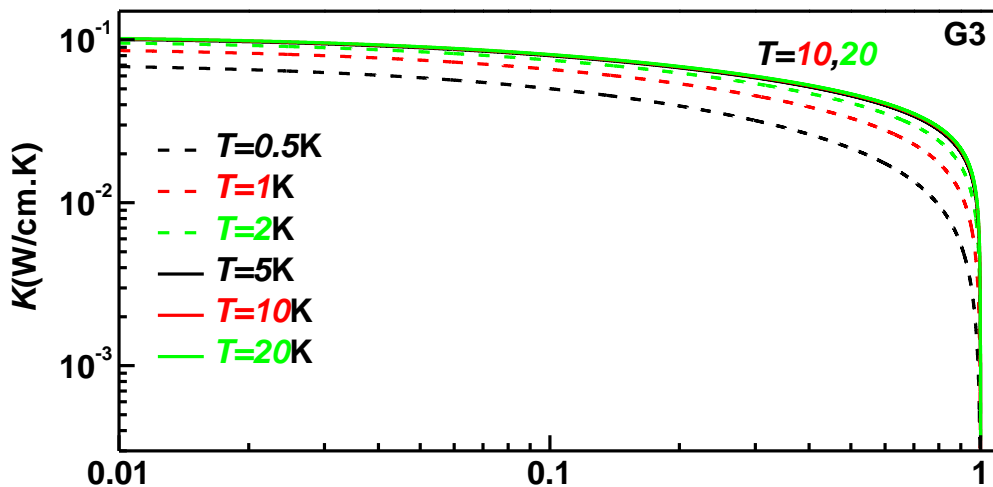
الشكل (11.2): منحنيات التوصيل الحراري الشبكي لقيم مختلفة من قوى التشتت بالحيز الحالي لعينات زجاج البوروسيلكات.



الشكل (12.2): منحنيات التوصيل الحراري الشبيكي لقيم مختلفة من قوى تشتت رايلي لعينات زجاج البوروسيلكات.



الشكل (13.2): تغير معدلات التشتت المختلفة مع التردد ω لعينات زجاج البوروسيلكات.



الشكل (14.2): التوصيل الحراري الشبكي لزجاج البوروسيلكات كدالة للفيما الكسرية للحيز الحالي.

3-2 المناقشة

يُلاحظ من الشكلين (1.2) و(8.2) تطابقاً جيداً في منحنيات التوصيلية بين القيم النظرية والعملية للتوصيل الحراري الشبكي لعينات البولي كاربونات وزجاج البوروسيلكات . كما يظهر بشكل جلي الدور الرئيسي لإسهام التوصيل الحراري الشبكي K_{AP} والناتج عن الفونونات ذات مدى التردد (ω_{pt}) (ω_D ، حيث يظهر تأثيره الفعال عند درجات الحرارة $T > 10K$). وهنا لابد من الإشارة إلى إخفاق العديد من الباحثين [27, 29, 31, 35, 48, 49] في إدراج هذا الإسهام ضمن عملية حساب التوصيل الحراري الشبكي للبوليمرات غير وشبه البلورية ضمن مدى درجات الحرارة الواطئة.

الشكل (2.2) يوضح تغلب الإسهام المئوي $\%K_{BE}$ على كل من $\%K_{EM}$ و $\%K_{AP}$ في درجات حرارة أقل من $0.1K$ لجميع عينات البولي كاربونات. بينما يتغلب $\%K_{EM}$ على الإسهامين الآخرين في مدى درجات الحرارة ($0.1-10K$) وأخيراً يتغلب $\%K_{AP}$ على الإسهامين الآخرين في مدى درجات حرارة أعلى من $10K$. أن سيادة الإسهام المئوي $\%K_{BE}$ تشير بشكل واضح إلى أن المقاومة الحرارية في البوليمرات غير البلورية ناجمة عن التشتتات الفونونية بحدود البلورة، في حين سيادة $\%K_{EM}$ تشير إلى دور التشتت بالحيز الخلالي في الاعاقة الحرارية ضمن ذلك المدى من درجات الحرارة . هذا يتفق مع ما وجده عواد [31,35]Awad في دراسته على عينات من زجاج البوروسيلكات والبولي كاربونات . نفس السلوك نلاحظه في الشكل (9.2) لزجاج البوروسيلكات ولكن بمديات مختلفة من درجات الحرارة فسيادة K_{BE} نجده عند درجات حرارة أقل من $0.07K$ للعينة G3 و $0.08K$ للعينتين G4 و G5. في حين يتغلب K_{EM} في مدى درجات الحرارة ($0.07-20K$) للعينة G3 و ($0.08-16K$) للعينة G4 و (- 0.08) للعينة G5. وأعلى من هذا المدى من الدرجات لسيادة الإسهام K_{AP} .

لبيان سلوك التشتتات الفونونية المعايقية لعملية التوصيل الحراري في البوليمرات غير البلورية، أُستخدم عامل الضرب F لمعرفة طبيعة تغير التوصيل الحراري مع تغير عاملات قوى التشتت . عند دراسة الأشكال (5-3.2) للبولي كاربونات والأشكال (10.2-12) لزجاج البوروسيلكات نلاحظ انخفاضاً في قيمة التوصيل الحراري عند زيادة قيمة العامل F ، كما تكون التشتتات الفونونية مؤثرة في التوصيلية عند قيم عامل الضرب المدرجة في الجدول التالي:

الجدول (3.2): قيم عامل الضرب F المؤثرة للتشتتات الفونونية المستخدمة

نوع التشتت	عينات البولي كاربونات			عينات زجاج البوروسيلكات		
	P3	P4	P5	G3	G4	G5
حدود البلورة	$F \geq 0.1$			$F \geq 0.01$		
تشتت رايلي	$F \geq 0.1$			$F \geq 0.1$		
الحيز الخالي	$F \geq 10^{-4}$		$F \geq 10^{-5}$		$F \geq 10^{-4}$	

هذا يظهر بشكل واضح إسهام التشتت بالحدود البلورية في الإعاقة الحرارية عند الد رجات الواطئة من مدى درجات حرارة الدراسة ($T < 0.2K$). تتشابه منحنيات هذه الأشكال في طبيعة تأثير التشتت بالحizin الخالي وموقع التأثير على مقاييس درجات الحرارة. من خلال الشكلين (6.2) و(13.2) نلاحظ المدى التردددي لهيمنة معدلات استرخاء التشتتات الفونونية، والمدرجة في الجدول (4.2).

جدول (4.2): مدیات التردد ω لهيمنة التشتتات الفونونية المستخدمة.

العينات		مدى التردد لأنواع التشتتات		
		حدود البلورة $\times 10^{10} s^{-1}$	الحيز الخالي $\times 10^{11} s^{-1}$	تشتت رايلي $\times 10^{12} s^{-1}$
بولي كاربونات	P3	0 – 2.2	0.22 – 7.2	0.72 – 1.0
	P4	0 – 1.0	0.1 – 10	-----
	P5	0 – 3.3	0.33 – 6.1	0.61 – 1.0
زجاج البوروسيلكات	G3	0 – 4.0	0.4 – 10	-----
	G4			-----
	G5		0.4 – 8.9	0.89 – 1.0

حيث الهيمنة الواضحة للتشتت الفونوني بحدود البلورة عند مدى الترددات الواطئة، وسيطرة واضحة لبقية الترددات بين التشتت بالحيز الخالي وتشتت رايلي. بينما توصل عواد Awad [35] ودوبوي Dubey [51] في دراستهم للتوصيل الحراري للبولي كاربونات وزجاج البوروسيلكات على التوالي، إلى أن التشتت بالحيز الخالي يهيمن على التشتت بحدود البلورة عند مدى واسع من الترددات الواطئة. لم نجد في العينتين G3، G4 اي هيمنة لتشتت رايلي حتى في الترددات العالية.

تساعدنا الأشكال (7.2) و (14.2) على فهم اكبر دور الحيز الخالي من خلال معرفة كيفية تغير منحنى التوصيل مع القيمة الكسرية للحيز الخالي عند درجات حرارة مختلفة، حيث نلاحظ في عينات المادتين تغيرا حادا في قيمة التوصيل الحراري عندما تصبح قيمة $p < 0.9$ ، وتغييرا بطيئا لبقية قيم p . هذا يعني أن لا تأثير لكتها قيم كسرية من الحيز الخالي على منحنيات التوصيل . مما يجب ذكره أن عواد [48] وجراد Jarad [49] كانوا قد أشاروا إلى هذا التغيير في دراسات سابقة . كما تبرز الأشكال عدم وجود تغير ملحوظ في قيمة منحنى التوصيل عندما تكون $T > 50K$ لكل عينات البولي كاربونات. بينما نجد نفس التصرف في عينات زجاج البوروسيلكات G3 و G4 عند درجة حرارة $T > 5K$ و $T > 30K$ عند درجة حرارة $T > 5K$.

(4-2) الاستنتاجات

بالاستناد إلى ما تحقق من نتائج، نستنتج ما يلي:

- ١ - أن إدخال إسهام الفونونات ذات التردد الأكبر من ω_{pt} في حساب التوصيل الحراري الشبيكي ضروري في مدیات درجة حرارة الدراسة.
- ٢ - ينتج التوصيل الحراري الشبيكي في البوليمرات غير المتبلورة عن الفونونات التي تمتلك ترددات أقل من ω_{pt} في مدى درجات الحرارة الواطئة، بينما ينتج عن الفونونات ذات الترددات الأكبر من ω_{pt} في مدى درجات الحرارة العالية.
- ٣ - سيادة واضحة للتشتت الفونوني بحدود البلورة عند الترددات الواطئة ثم هيمنة لتشتت بالحيز الخالي ورايلي لبقية الترددات على التوالي.
- ٤ - تغيرا حادا في قيمة التوصيل الحراري عند $p < 0.9$ ، وبطيئا لبقية القيم.

(5-2) الدراسة المستقبلية

دراسة التوصيل الحراري الشبيكي لبوليمر البولي فينيلين والذي يتميز بوجود منطقتي سهل في منحنى التوصيلية.



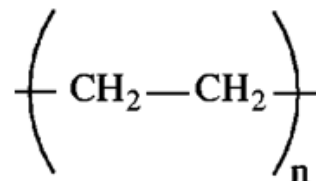
الفصل الثالث

ال搆صیل الحراري الشبیکي
للبولیمرات شبه المتبلورة



(1-3) التوصيل الحراري الشبكي للبولي أثيلين

يُعتبر البولي أثيلين من البوليمرات شبه البلورية، حيث يتتألف من شرائح ذات تراكيب بلورية مغمورة في تركيب غير بلوري، كما أن القوى الرابطة للسلسل البوليمرية هي قوى الارتجاع وتكون سبباً في تواجد المناطق المتبلورة. يعبر عن التركيبة الكيميائية لهذا البوليمر بالصيغة التالية [2]:



استخدمت عينات من البولي أثيلين بدرجات تبلور (D.C = 0.914, 0.933, 0.956, 0.971) [52]. ضمن مدى درجات الحرارة (0.4-20K)، تم اقتراح حساب التوصيل الشبكي باستخدام أنموذج كالاوي Callaway [18] للتركيب غير المتبلورة وصيغ عواد Awad [36] للتركيب المتبلورة. استخدمت الدراسة قيم الثوابت $\theta_{pt} = 0.4\text{K}$ ، $\theta_D = 200\text{K}$ ، $a = 1.111 \text{ \AA}$ و $m = 1.672 \times 10^{-23} \text{ gm}$ [53] و [54] و $M = 1.992 \times 10^{-23} \text{ gm}$ [55] و $v = 2.1 \times 10^5 \text{ cm/s}$ و 10 K .

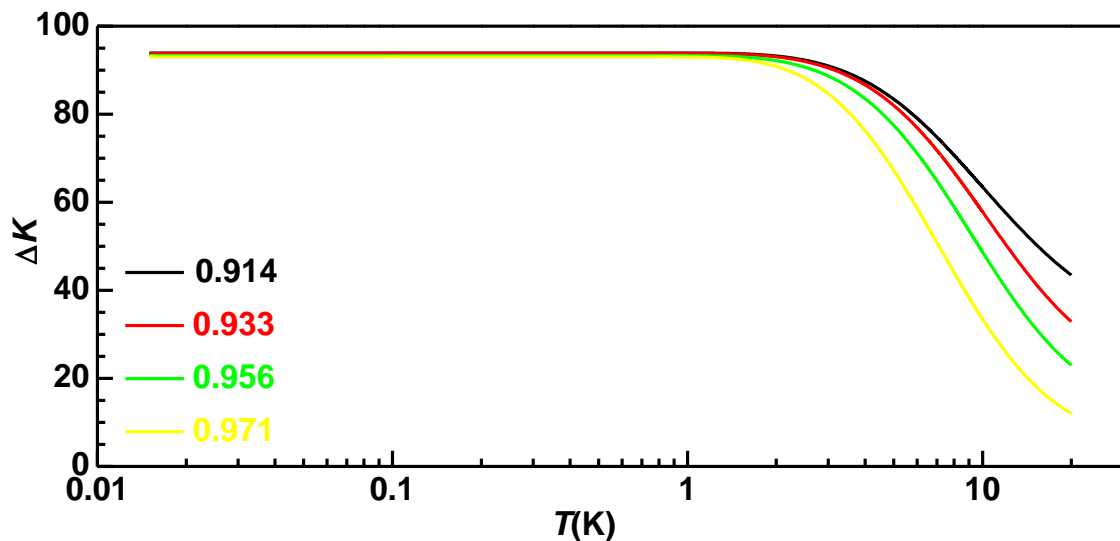
هنا لابد من التأكيد على إن جراد Jarad [49] كان قد استخدم صيغ عواد لكلا التركيبين البلوري وغير البلوري، وللمقارنة استخدمت معاملات جراد لإيجاد الفروق المئوية بين التوصيل الحراري المحسوبة من قبله (K_J) وتلك المحسوبة باستخدام الطريقة المقترحة في الدراسة (K)، وكما يلي:

$$\Delta K = \frac{K_J - K}{K_J} \times 100\% \quad (3.1)$$

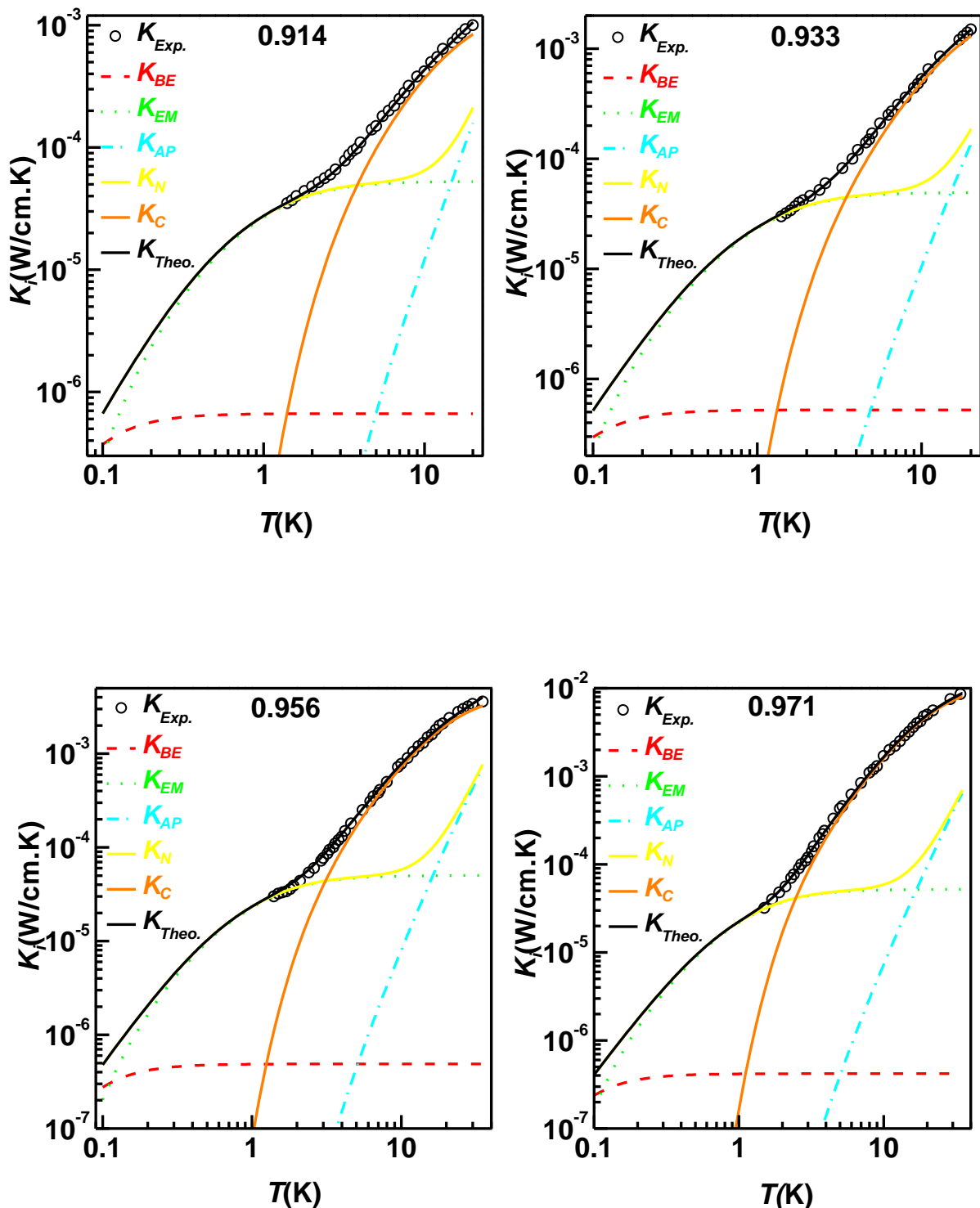
ونتائج العينات الأربع موضحة في الشكل (1.3). يستعرض الجدول (1.3) قيم قوى التشتت الناتجة عن عملية التطابق بين القيم العملية وتلك المحسوبة نظرياً للتوصيل الحراري الشبكي باستخدام الطريقة المقترحة في الدراسة ومن خلال المعادلات (1.11-14, 16-19, 20-24)، والنتائج يبيّنها الشكل (2.3). كما يوضح الشكل إسهام مركبات التوصيل الحراري الشبكي $K_N, K_C, K_{BE}, K_{EM}, K_{AP}$ في التوصيل الحراري الشبكي الكل على التوالي (3.3) و (4.3) (النسب المئوية لإسهام المركبات الشكلان) وإسهام المركبات K_{BE}, K_{EM}, K_{AP} في التوصيل الحراري الشبكي الكل على التوالي (3.3) و (4.3) (النسب المئوية لإسهام المركبات المركبات K_N, K_C). الأربعة.

الجدول (1.3): قيم قوى التشتت في عينات البولي أثيلين.

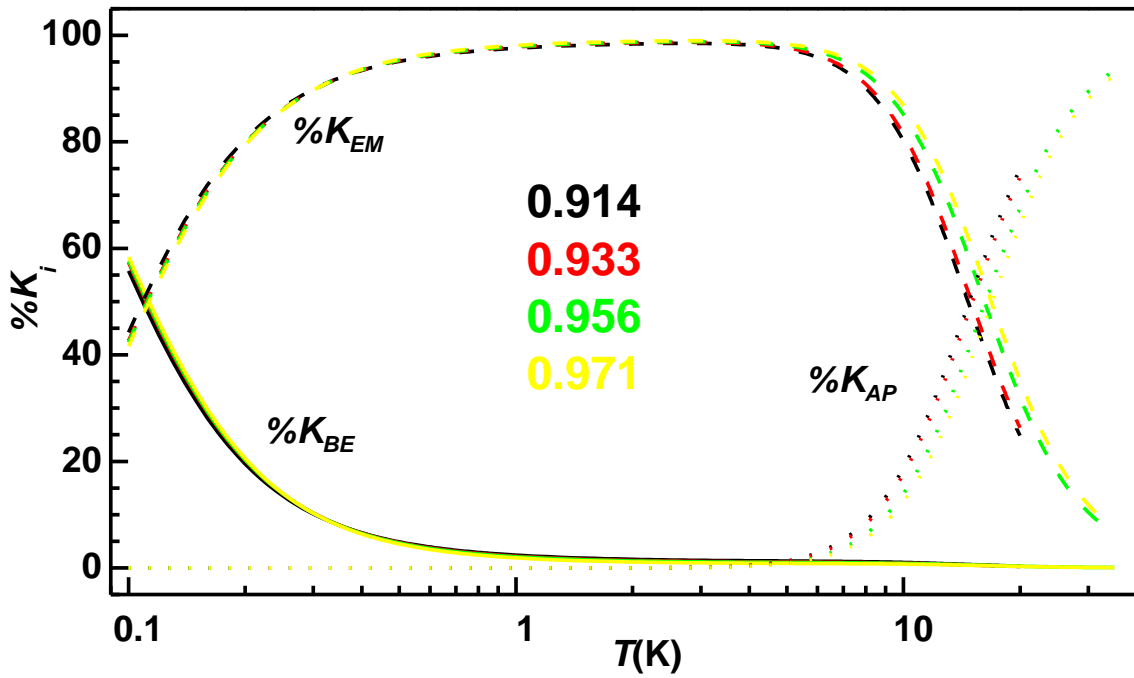
العامل	العينة $D.C=0.914$	العينة $D.C=0.933$	العينة $D.C=0.956$	العينة $D.C=0.971$
$\tau_B^{-1} (10^7 \text{ s}^{-1})$	5.0	5.0	5.0	5.0
$\alpha (10^8 \text{ s}^{-1} \text{ K}^{-1})$	6.8	9.2	10	12
$\beta (10^7 \text{ s}^{-1} \text{ K}^{-4})$	6.6	6.0	5.5	4.5
$\beta' (10^{11} \text{ s}^{-1})$	6.7	7.7	10.0	11.1
A_{Dis}	0.017	0.0154	0.0107	0.005
$A_{Pt} (10^{-41} \text{ s}^3)$	8.0	2.8	1.5	0.4



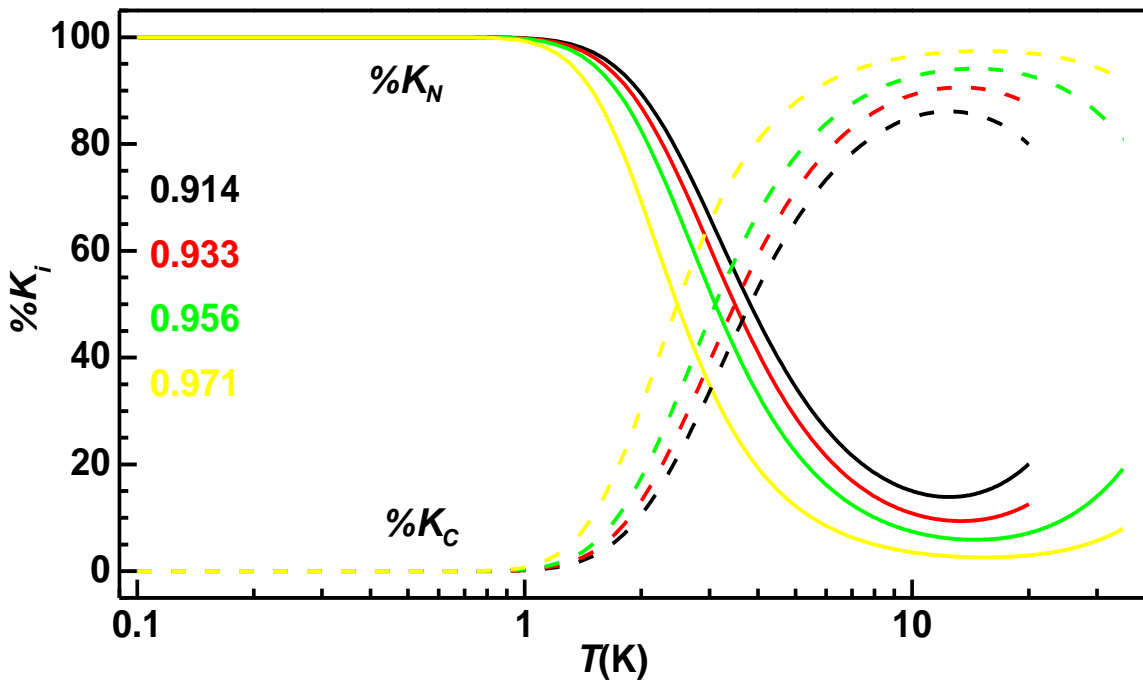
الشكل (1.3): النسبة المئوية للفروق في قيم التوصيل الحراري الشبكي



الشكل (2.3): التوصيل الحراري الشبكي لعينات البولي أثيلين.

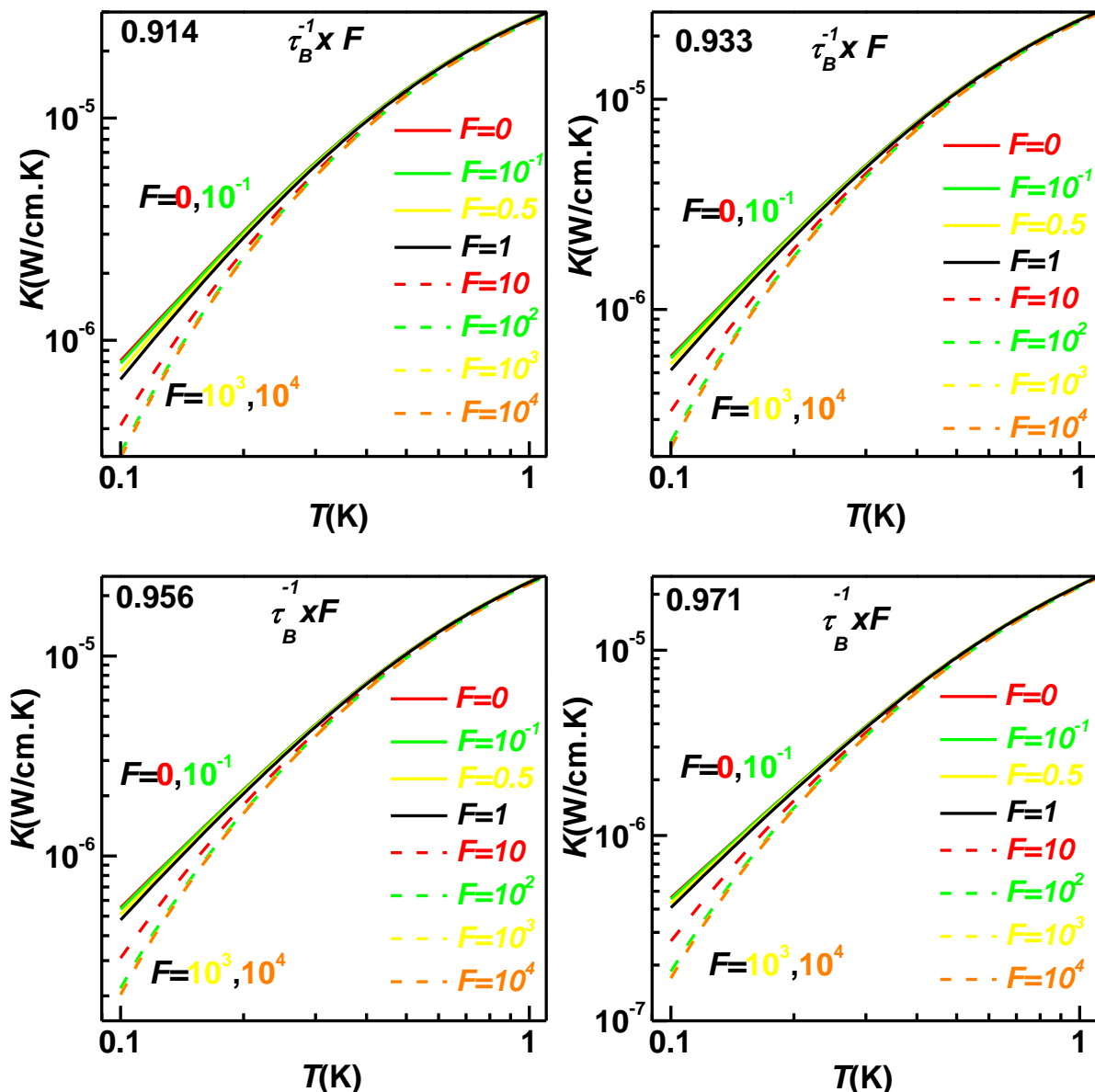


الشكل(3.3): الإسهام المئوي للمركبات K_{PA} و K_{BE} و K_{EM} في التوصيل الحراري للتراكيب غير البلورية K_N لعينات البولي أثيلين.

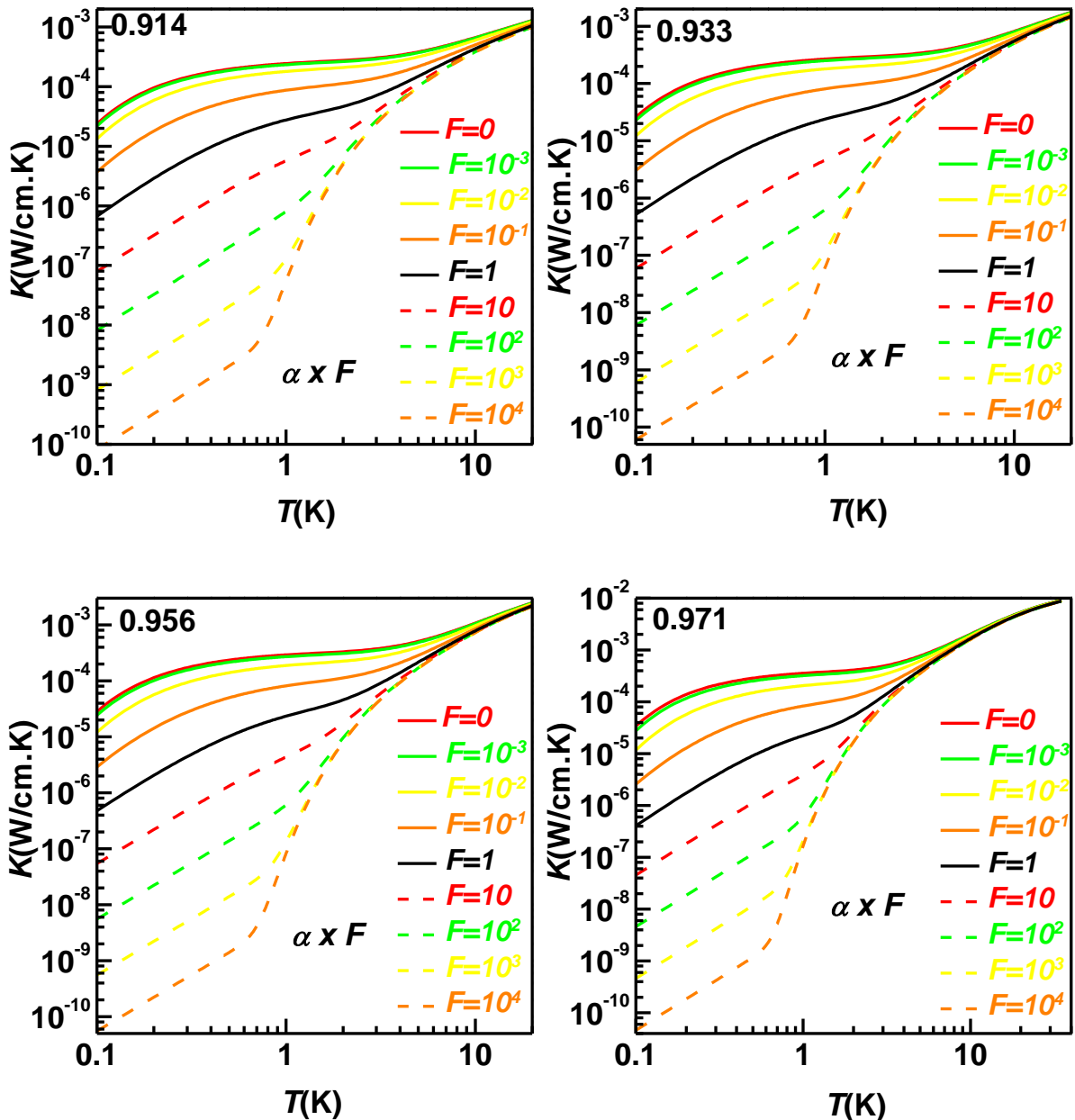


الشكل (4.3): الإسهام المئوي للتوصيل الحراري الشبكي للتراكيب البلورية K_C وغير البلورية K_N لعينات البولي أثيلين.

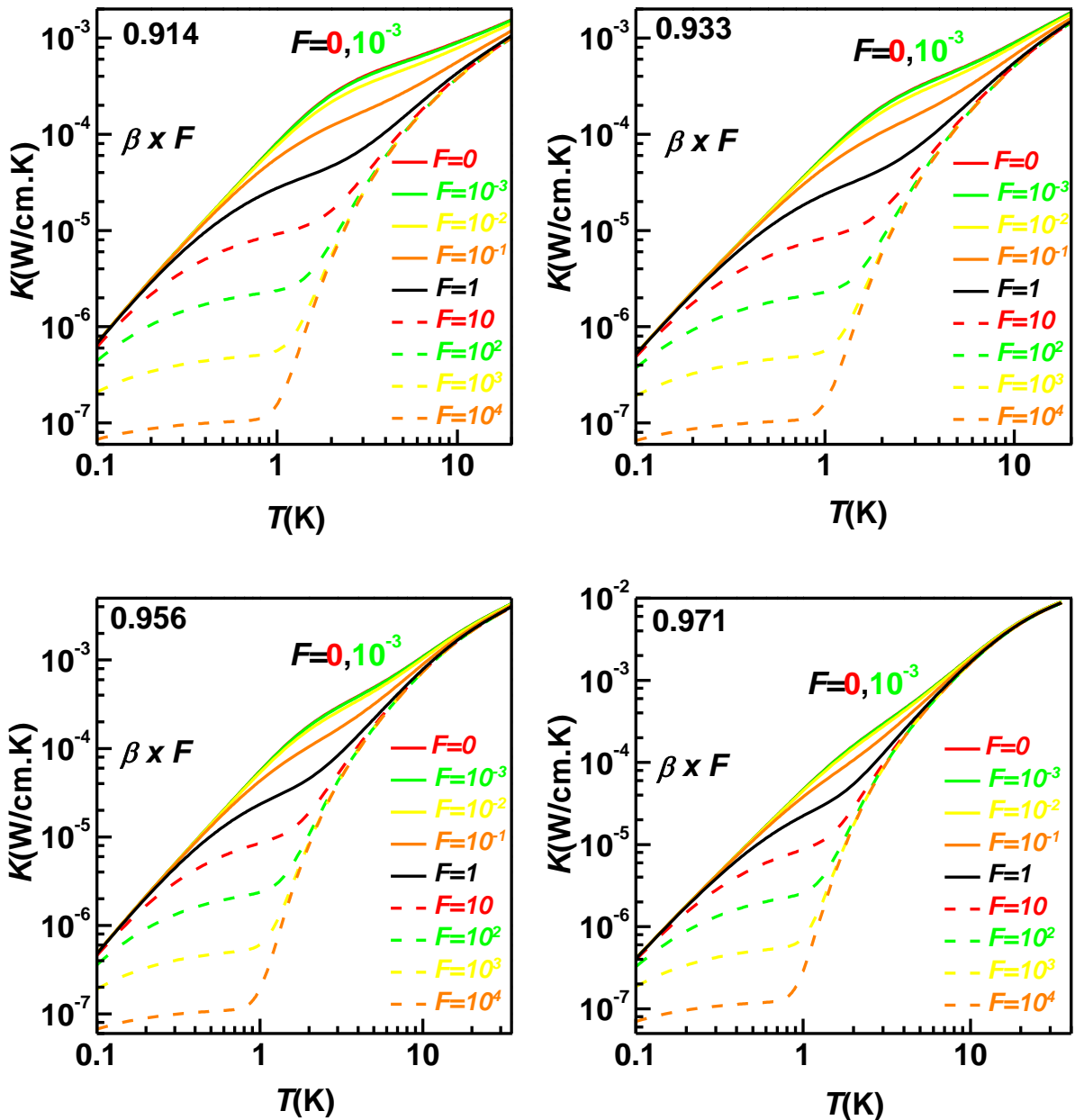
شملت الدراسة تأثير قوى التشتت الفونوني المختلفة على التوصيل الحراري الكلي باستخدام قيم مختلفة من عامل الضرب F ، والنتائج موضحة في الأشكال (9-5.3) للتشتت بحدود البلورة والحيز الخلالي وتشتت رايلي والتشتت بالخلع البلوري والتشتت بالعيوب النقطية على التوالي.



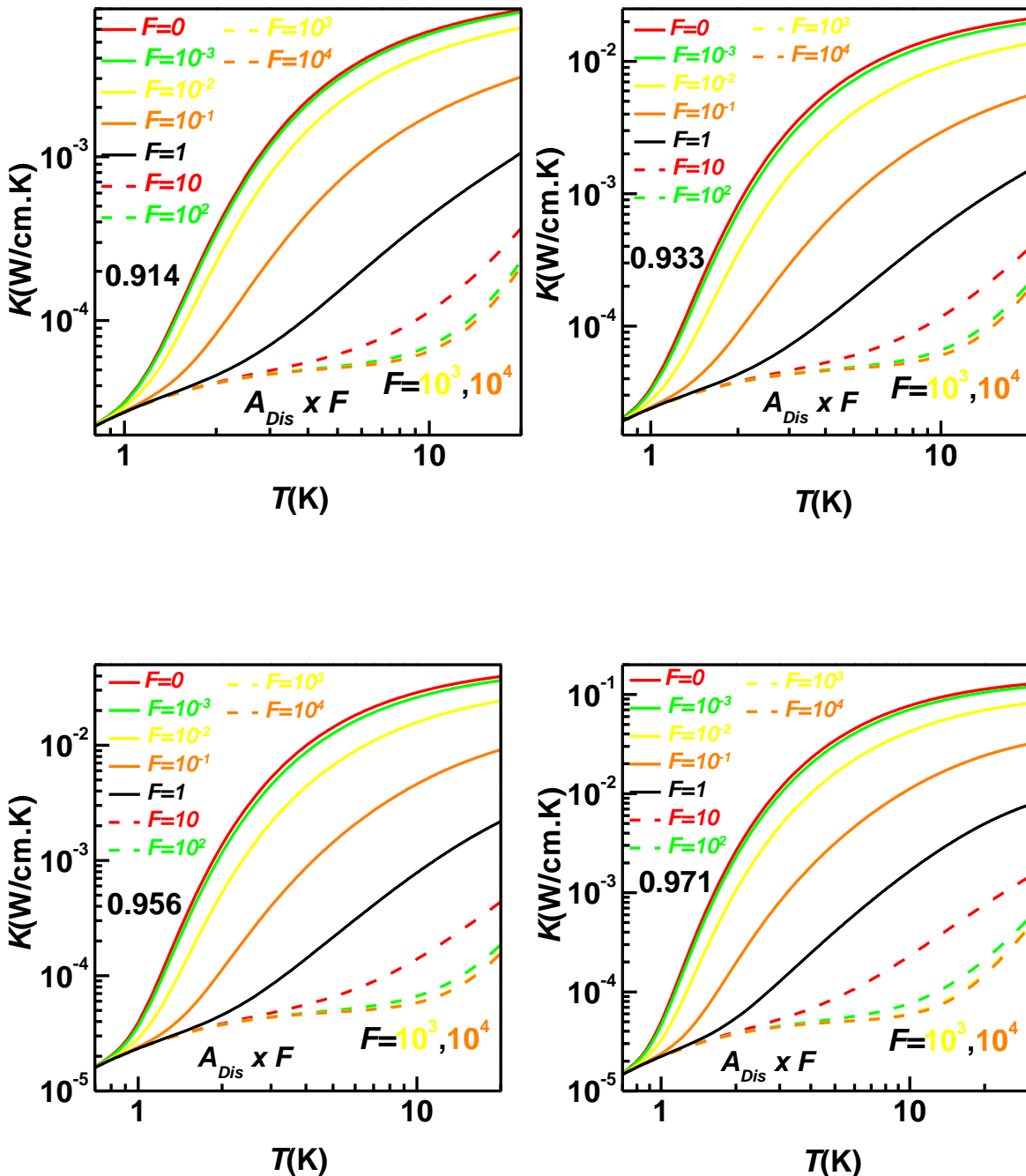
الشكل (5.3): منحني التوصيلية لقيم مختلفة من قوة التشتت الفونوني بحدود البلورة في عينات البولي أثيلين.



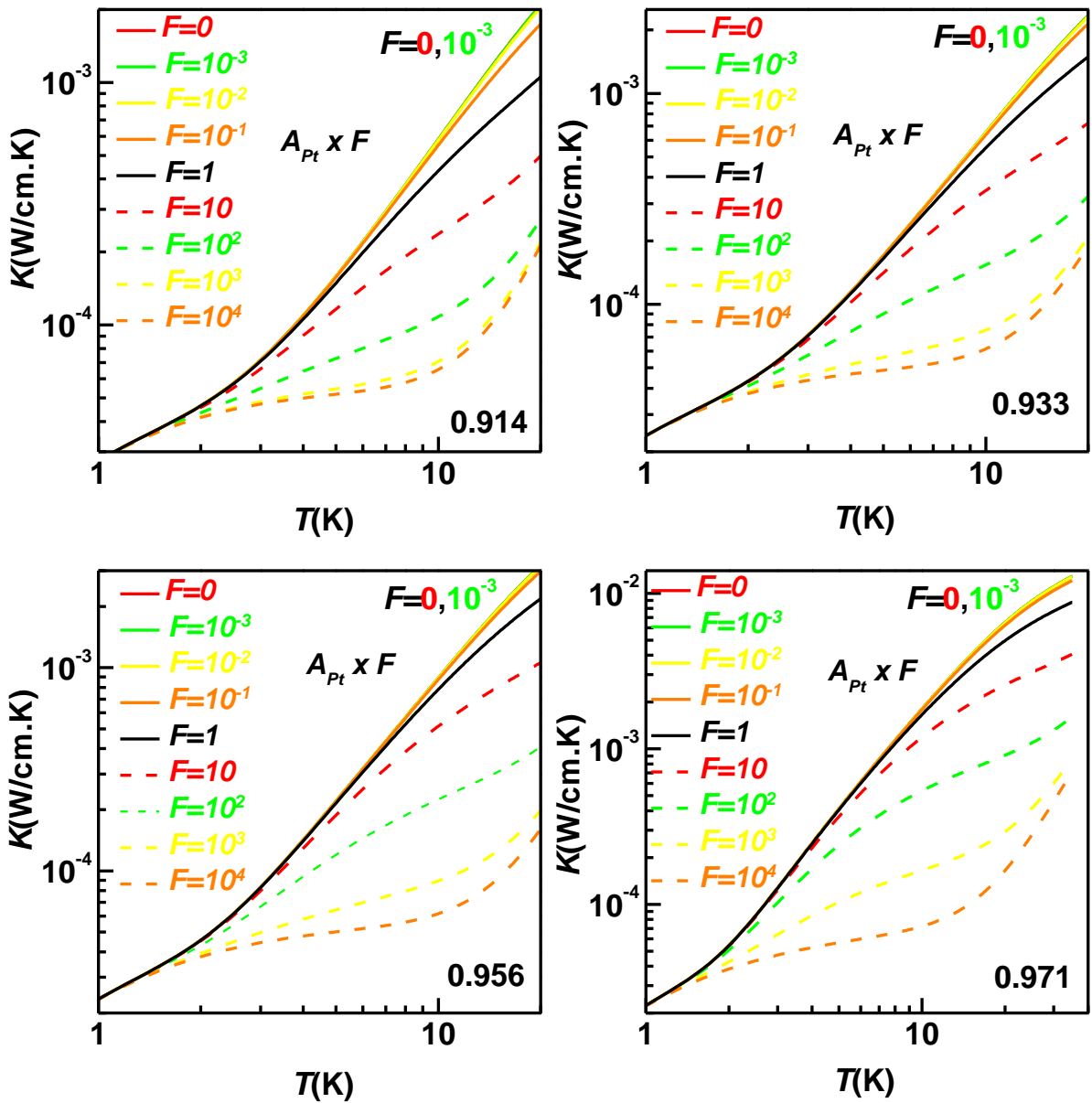
الشكل (6.3): منحني التوصيلية لقيم مختلفة من قوة التشتت الفونوني بالحيز الخلالي في عينات البولي أثيلين.



الشكل (7.3): منحني التوصيلية لقيم مختلفة من قوة تشتت رايلي في عينات البولي أثيلين.

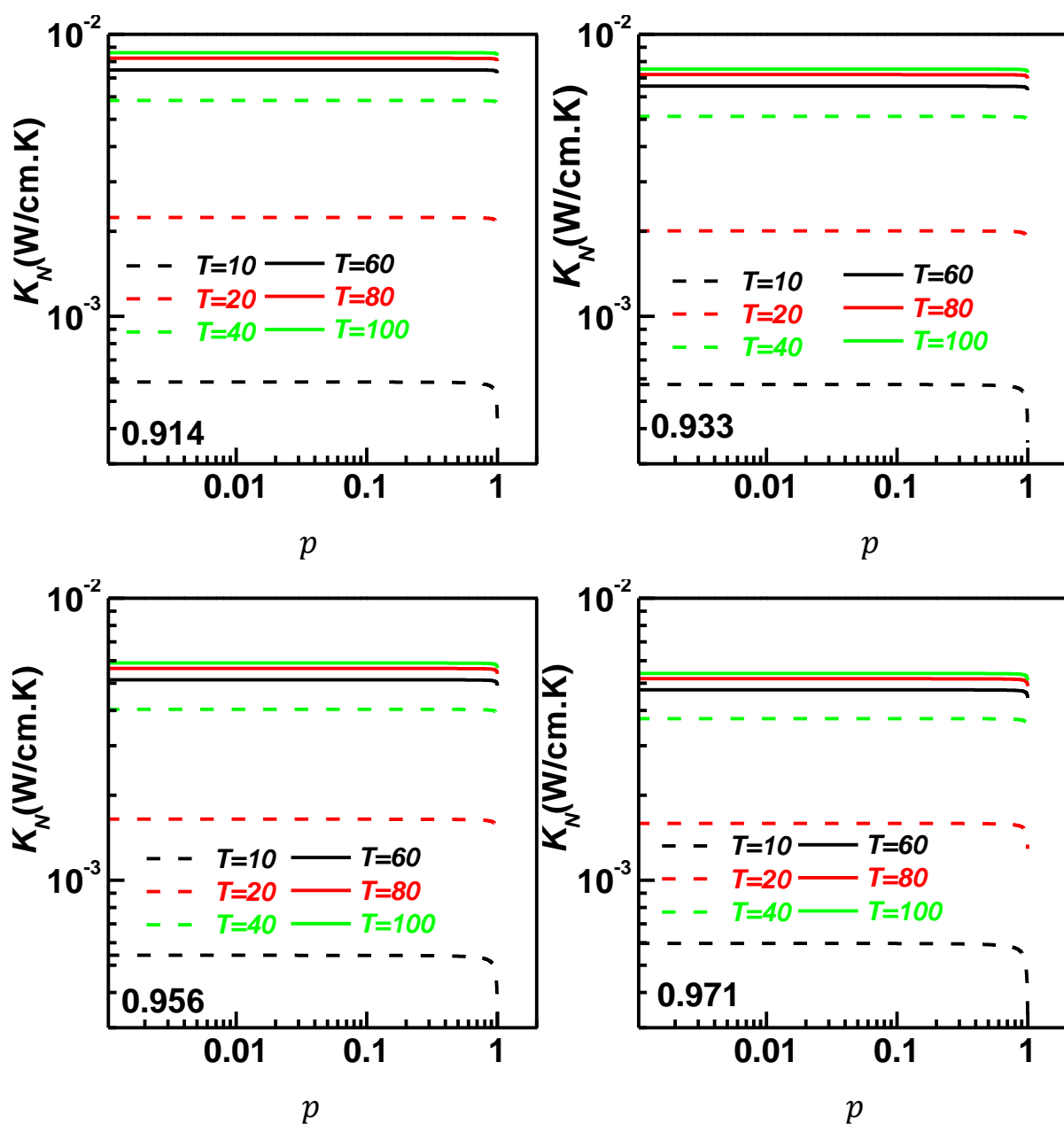


الشكل (8.3): منحني التوصيلية لقيم مختلفة من قوة التشتت الفونوني بالخلع البلوري في عينات البولي أثيلين .

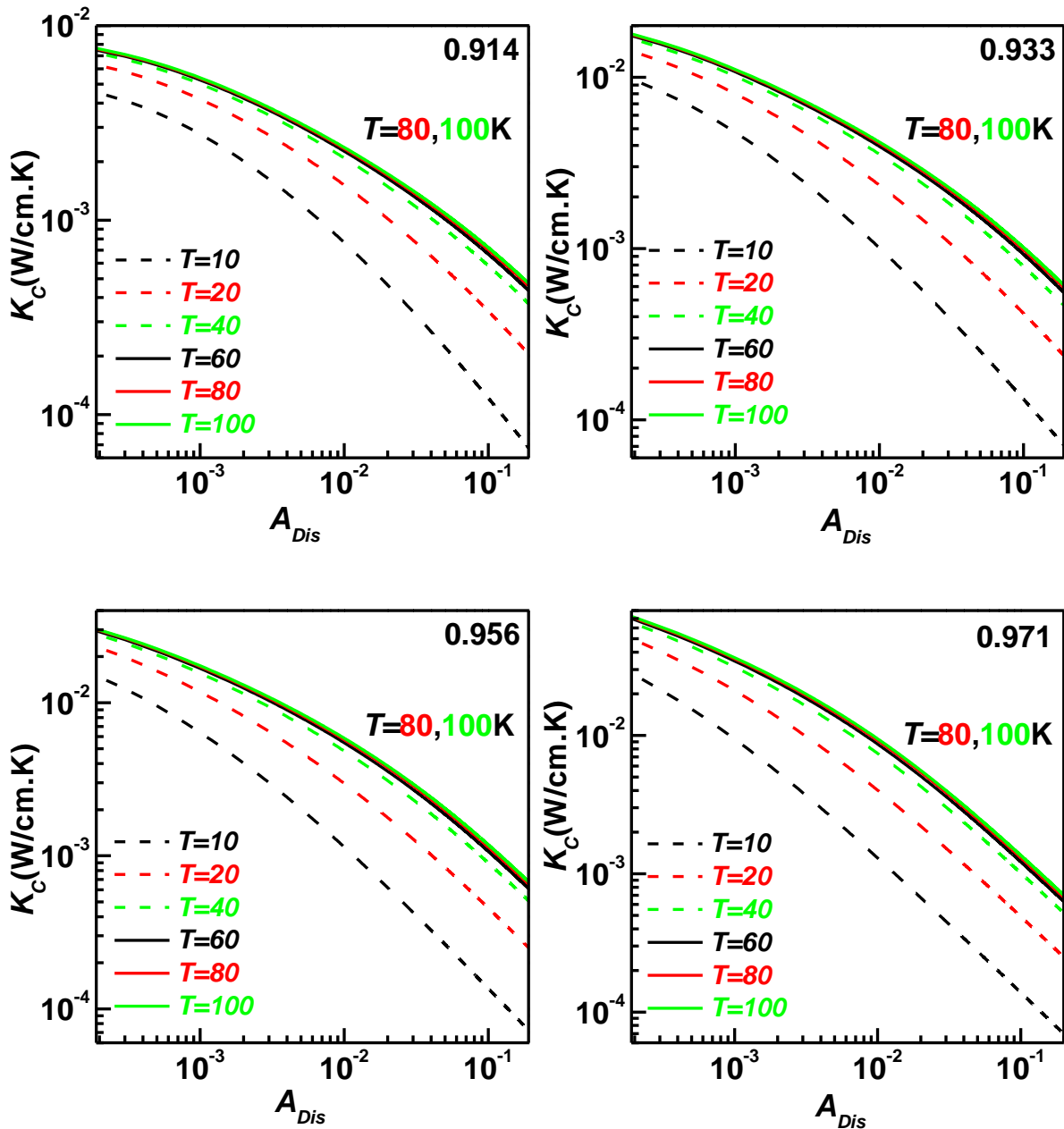


الشكل (9.3): منحني التوصيلية لقيم مختلفة من قوة التشتت الفونوني بالعيوب النقطية في عينات البولي أثيلين .

نظراً للدور المهم الذي يلعبه التشتت بالحيز الخالي و الخلع البلوري في تحديد قيمة إسهام التوصيل الحراري الشبكي للتركيب غير البلوري والبلوري على التوالي، تم بثبوت درجة الحرارة، دراسة تغير التوصيل الحراري الشبكي للتركيب غير البلوري والبلوري كدالة لقيمة الكسرية للحيز الخالي (p) (الشكل 10.3) ولمعامل التشتت بالخلع البلوري A_{Dis} (الشكل 11.3) على التوالي.

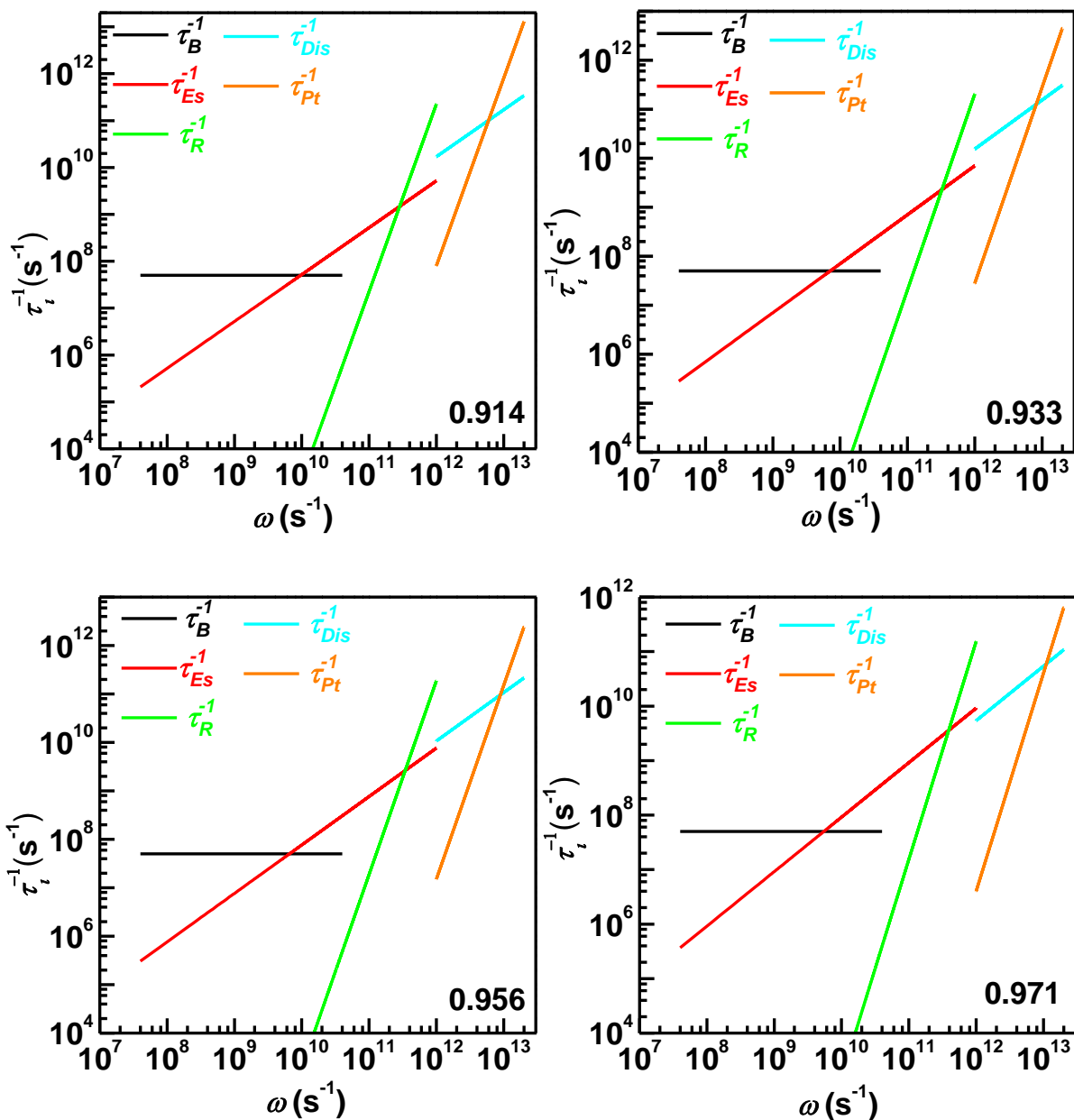


الشكل (10.3): منحني التوصيلية للتركيب غير البلوري في عينات البولي أثيلين كدالة لقيمة الكسرية بثبوت درجة الحرارة.

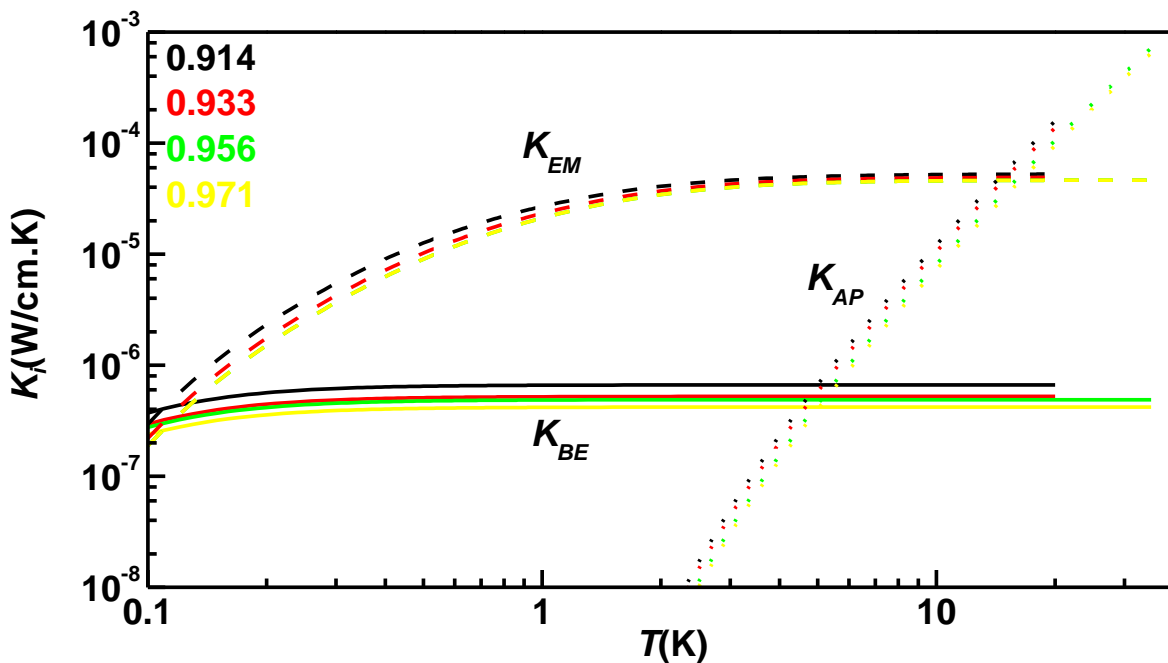


الشكل (11.3): منحني التوصيلية للتركيب البلوري في عينات البولي أثيلين كدالة لمعامل التشتت بالخلع البلوري A_{Dis} بثبوت درجة الحرارة.

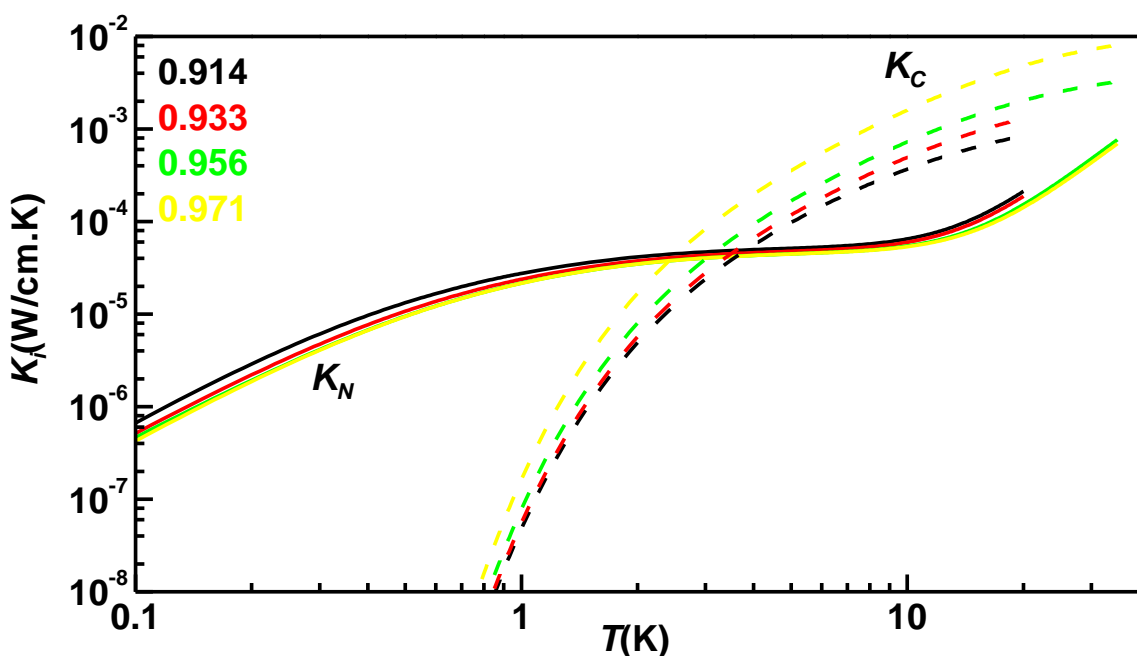
يوضح الشكل (12.3) تغير معدلات استرخاء التشتتات الفونونية المختلفة كدالة لتردد ω . أما الاشكال (13.3) و (١٤.٣) فتبين تغير قيمة كل من $K_{BE}, K_{EM}, K_{AP}, K_N, K_C$ مع درجة الحرارة لدرجات تبلور مختلفة. واخيراً يوضح الشكل (15.3) التوصيل الحراري الشبكي الكلي عملياً ونظرياً لعينات البولي أثيلين مجتمعة.



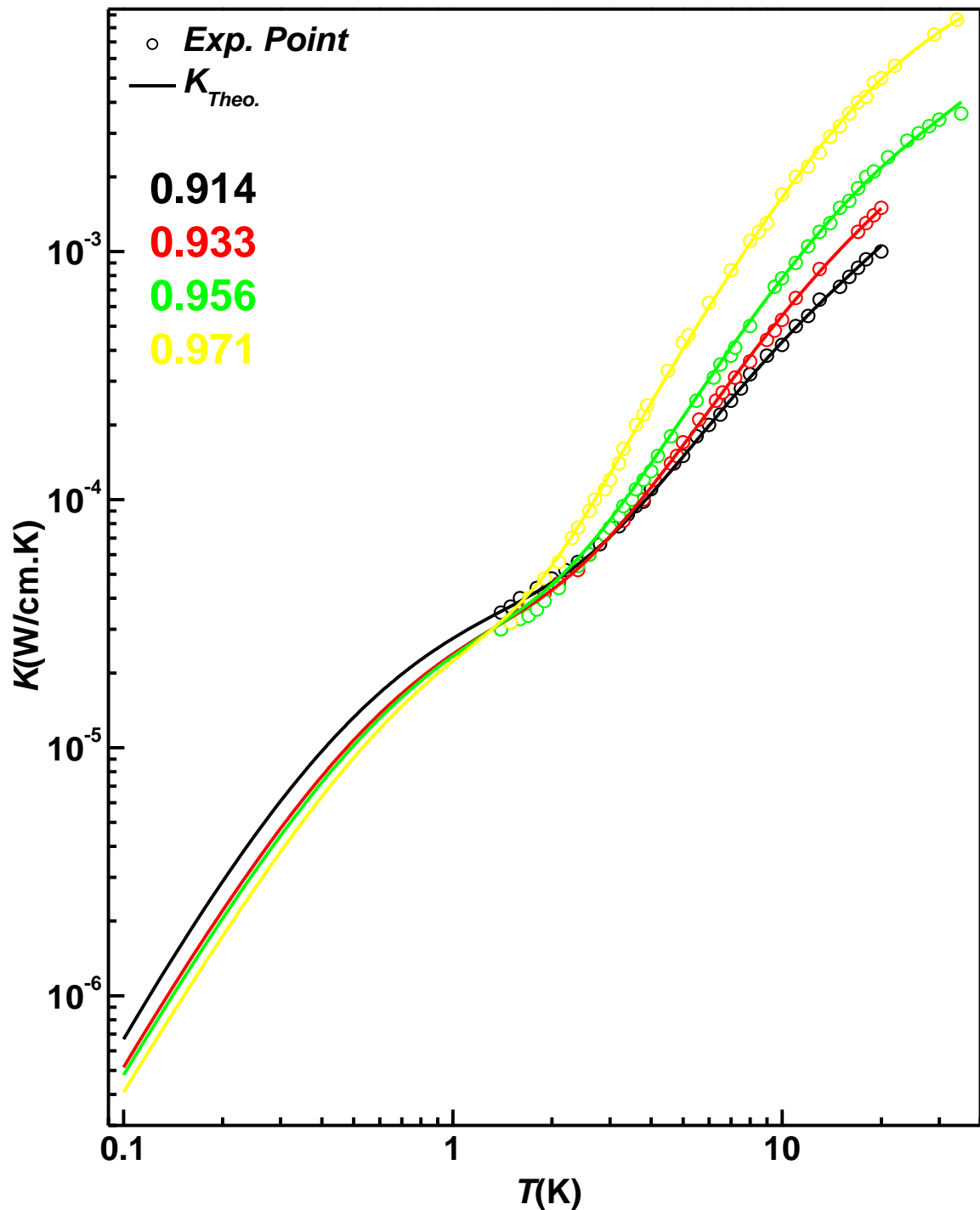
الشكل (12.3): معدلات التشتت الفونوني المختلفة كدالة لتردد ω



الشكل (13.3): مركبات التوصيلية للتراكيب غير البلورية K_{BE}, K_{EM}, K_{AP} كدالة لدرجة الحرارة لعينات البولي أثيلين .



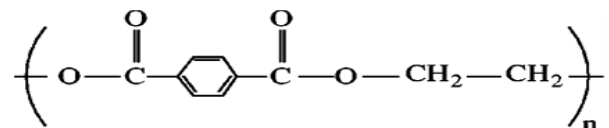
الشكل (14.3): مركبات التوصيلية K_C, K_N كدالة لدرجة الحرارة في عينات البولي أثيلين .



الشكل (15.3): منحني التوصيلية كدالة لدرجة الحرارة في عينات البولي أثيلين .

(2-3) التوصيل الحراري الشبكي لهولي تيرافثلات الأثيلين.

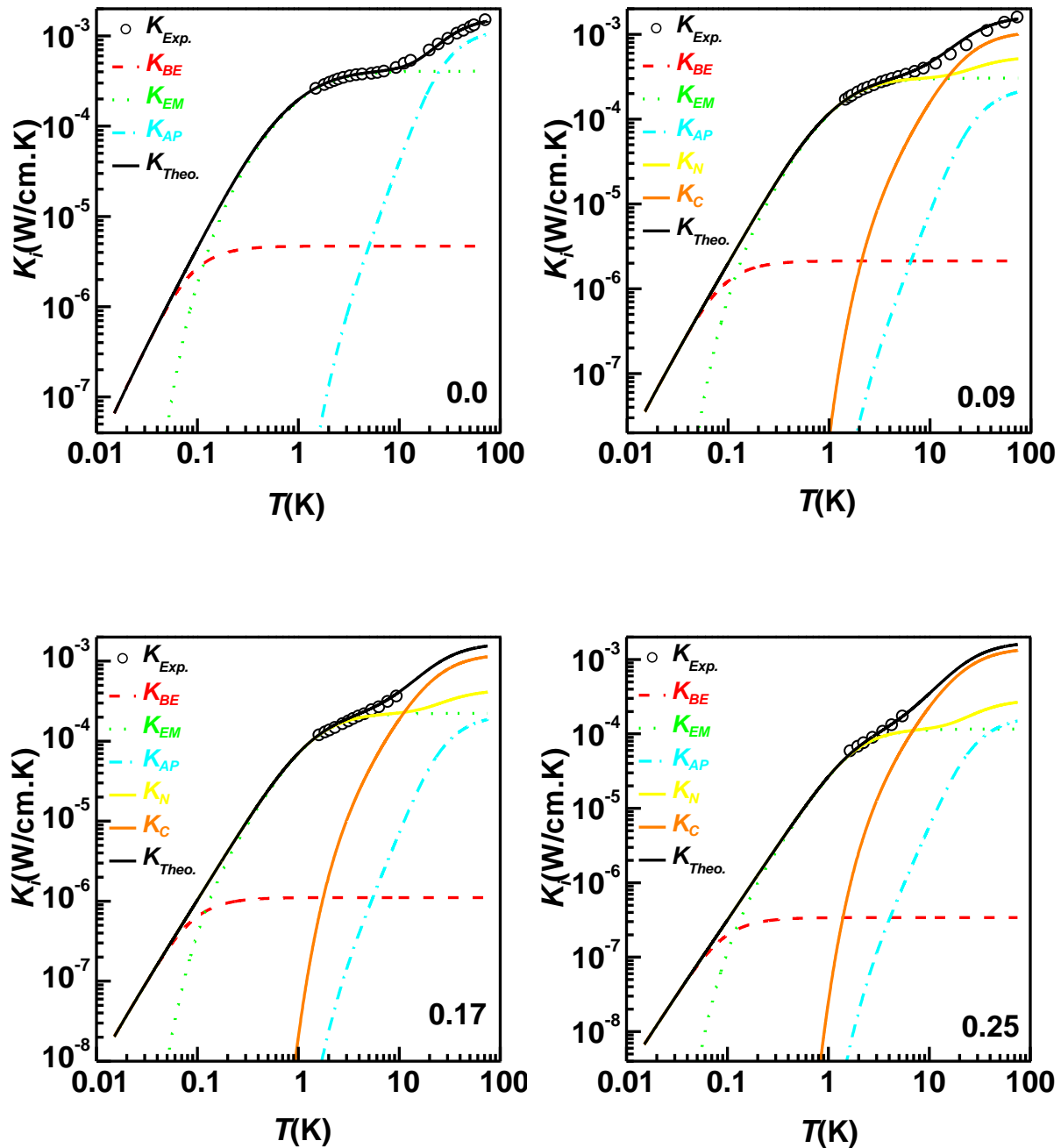
يوصف بولي تيرافثالات الأثيلين كأحد البولимерات شبه البلورية أيضاً ، فهو يتالف من شرائح ذات تركيب بلوري معمورة في تركيب غير بلوري . في هذا البوليمر تكون قوى الاستقطاب الناشئة عن مج موعة الكاربونيل (C=O) الرابط الرئيس بين السلسل البوليمرية المسبيبة للتراكيب المتبولة [2]. يتخذ البوليمر التركيبة الكيميائية التالية[56]:



باستخدام انموج تموج الكثافة لوالتن وانموج كالاوي درس حسن Hasen [27] التوصيل الحراري الشبكي لسبع عينات من بولي تيرافثالات الأثيلين بدرجات تبلور مختلفة (0.0, 0.09, 0.17, 0.25, 0.29, 0.39, 0.51) والمقدمة من قبل جوي و كريك Choy and Greig [57]. في هذه الدراسة سوف نحل التوصيل الحراري الشبكي لهذه العينات وفقاً لأنموذجي والتن وكالاوي للتراكيب غير المتبولة وعلاقات عواد للتراكيب المتبولة في مدى درجات حرارة يتراوح بين 0.015K و 80K . من خلال العلاقات المستخدمة في البند السابق (1-3)، تم حساب التوصيل الحراري الشبكي باستخدام قيم الثوابت $\nu = \theta_{pt} = 10\text{K}$ ، $\theta_1 = 0.4\text{K}$ ، $\theta_D = 135\text{K}$ و $a = 1.2324 \text{\AA}$ و $m = 1.992 \times 10^{-23} \text{gm}$ و $M = 2.656 \times 10^{-23} \text{gm}$ و $1.4 \times 10^5 \text{cm/s}$ و $\alpha (10^8 \text{s}^{-1} \text{K}^{-1})$ و $\beta (10^6 \text{s}^{-1} \text{K}^{-4})$ و $\beta' (10^{13} \text{s}^{-1})$ و A_{Dis} و $A_{Pt} (10^{-41} \text{s}^3)$. وقيم الإسهامات التشتت المدرجة في الجدول (2.3)، والأشكال (16.3) و (17.3) توضح النتائج . أما قيم المركبات المئوية للمركبات $K_C, K_N, K_{BE}, K_{EM}, K_{AP}$ فموضحة في الشكلين (18.3) و (19.3) على التوالي.

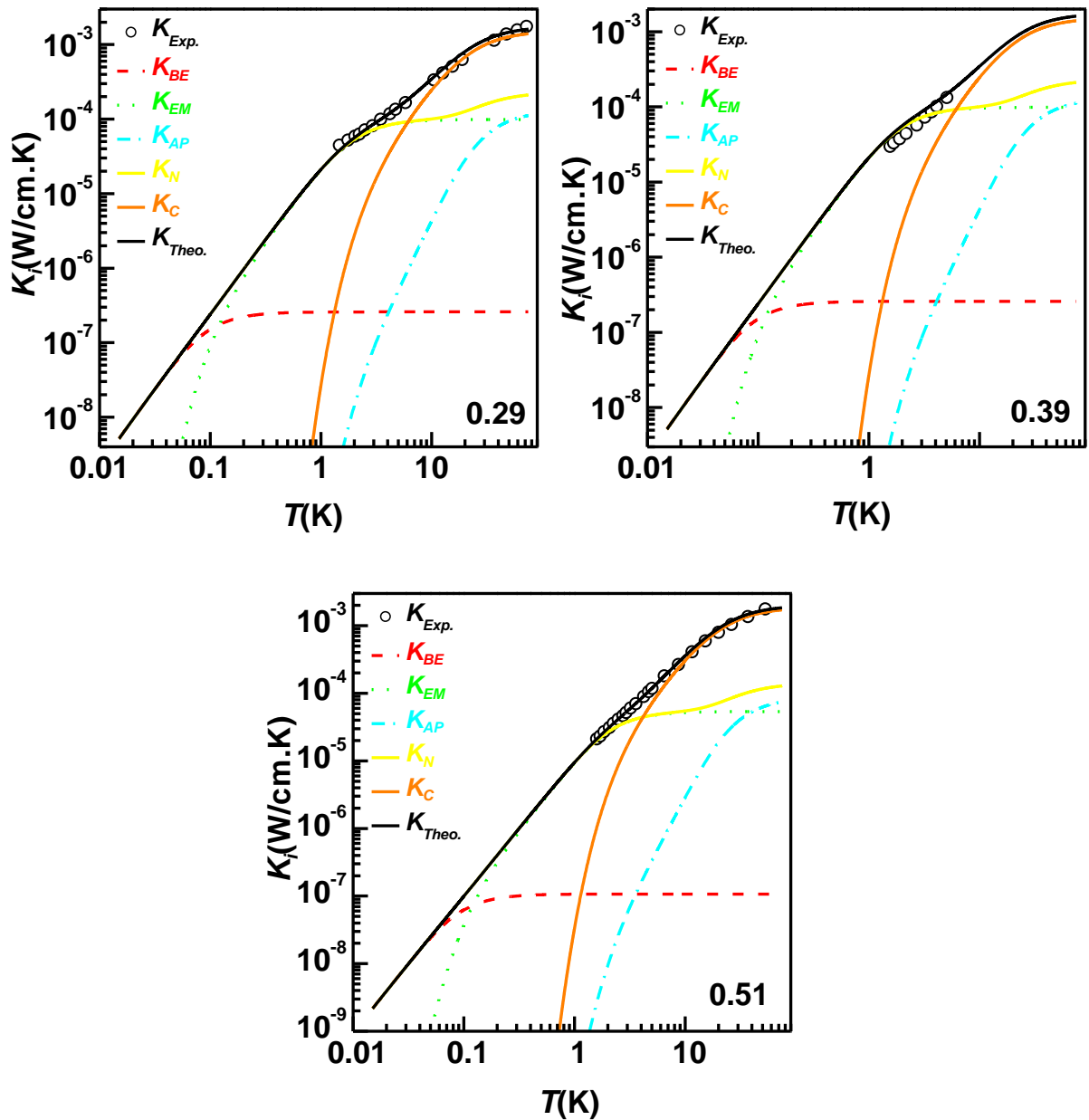
الجدول (2.3): قيم قوى التشتت في عينات بولي تيرافثالات الأثيلين.

العامل	D.C= 0	0.09	0.17	0.25	0.29	0.39	0.51
$\tau_B^{-1} (10^6 \text{s}^{-1})$	5.0	5.0	5.0	5.0	5.0	5.0	5.0
$\alpha (10^8 \text{s}^{-1} \text{K}^{-1})$	1.6	3.8	7.5	25	33	55	80
$\beta (10^6 \text{s}^{-1} \text{K}^{-4})$	10.5	9.0	8.7	8.0	7.5	7.0	6.0
$\beta' (10^{13} \text{s}^{-1})$	0.7	3.6	4.0	5.0	6.7	8.3	10
A_{Dis}	-----	0.09	0.075	0.06	0.056	0.051	0.045
$A_{Pt} (10^{-41} \text{s}^3)$	-----	6.7	6.5	6.2	6.0	5.6	5.0

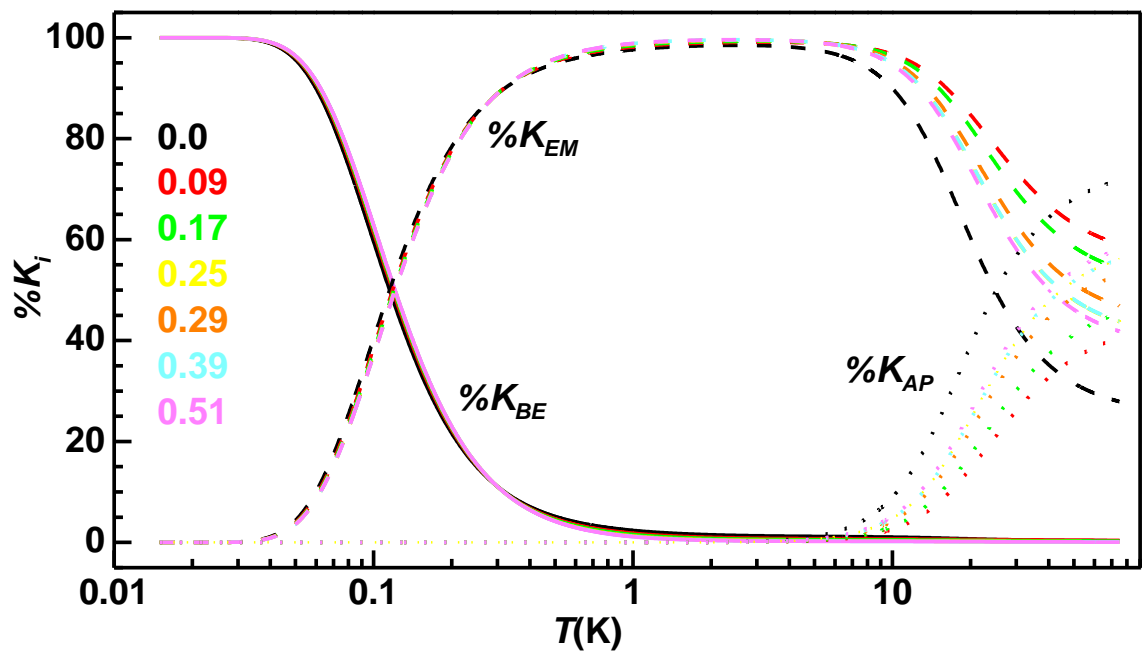


الشكل (16.3): التوصيل الحراري الشبكي لعينات بولي تيرافثالات الأثيلين

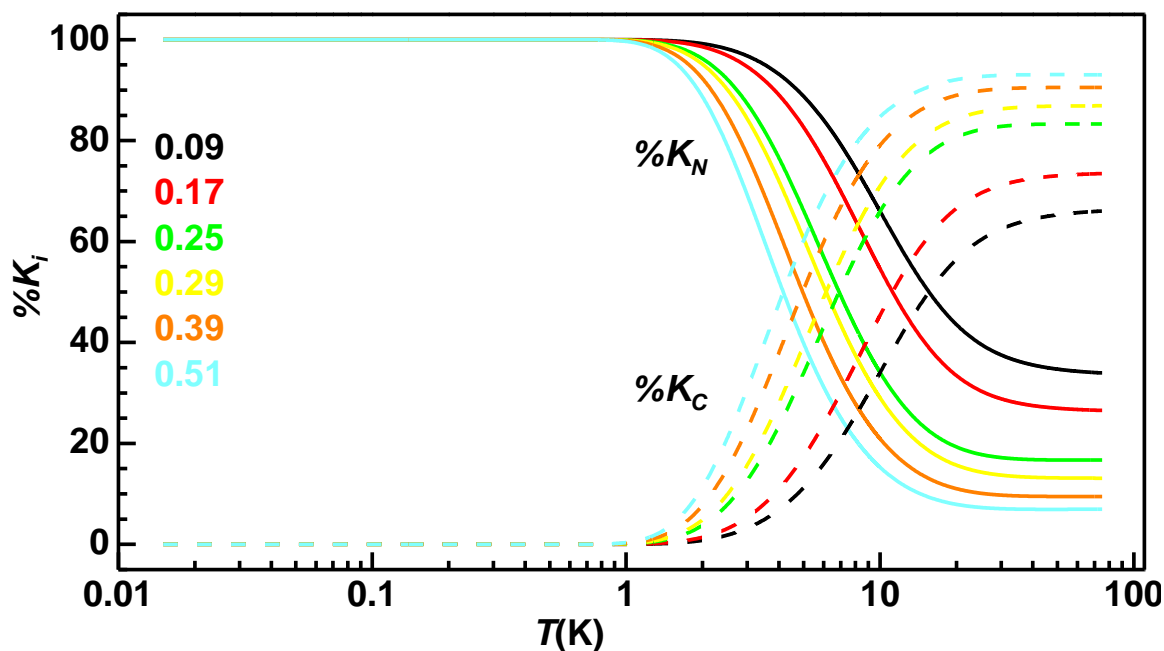
بدرجات تبلور (0, 0.09, 0.17, 0.25)



الشكل (17.3): التوصيل الحراري الشبكي لعينات بولي تيرافثالات الأثيلين
بدرجات تبلور (0.29, 0.39, 0.51)

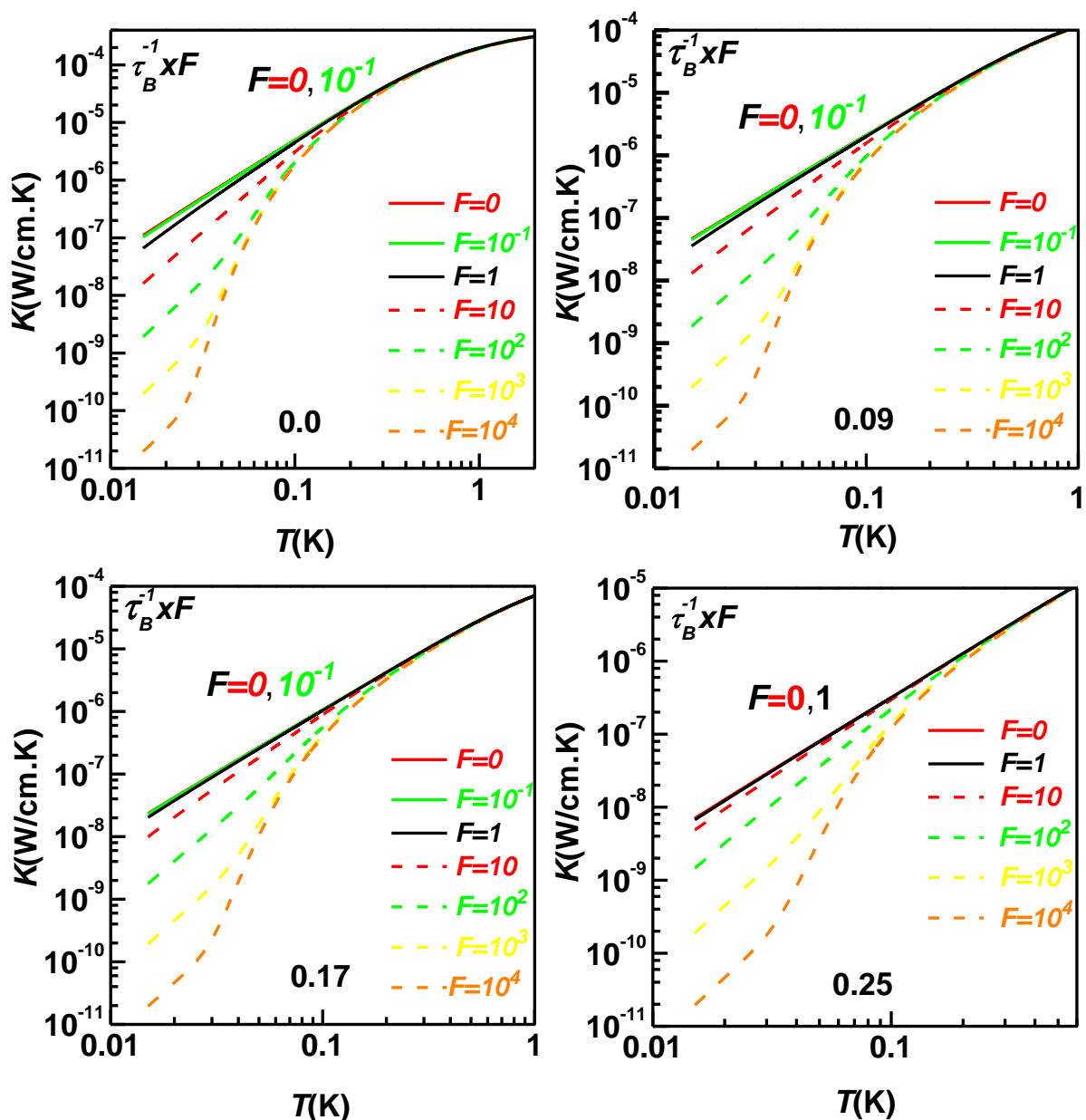


الشكل (18.3): الإسهام المئوي لمركبات التوصيل الحراري K_{EM} و K_{BE} و K_{AP} بالنسبة إلى في عينات بولي تيرافثالات الأثيلين.

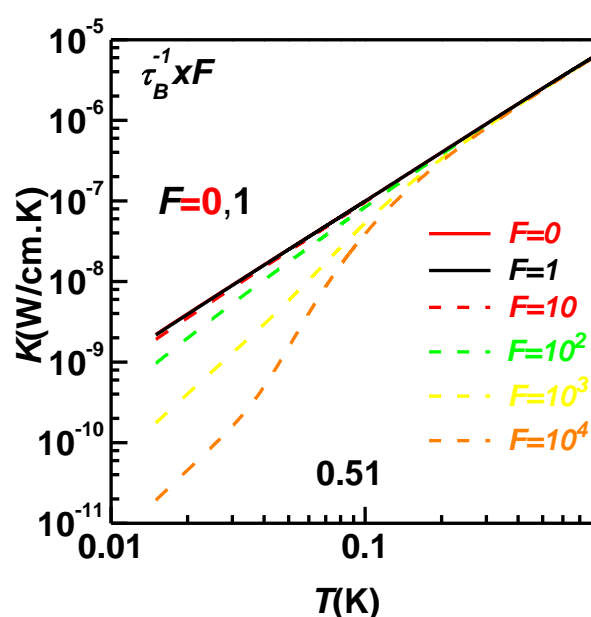
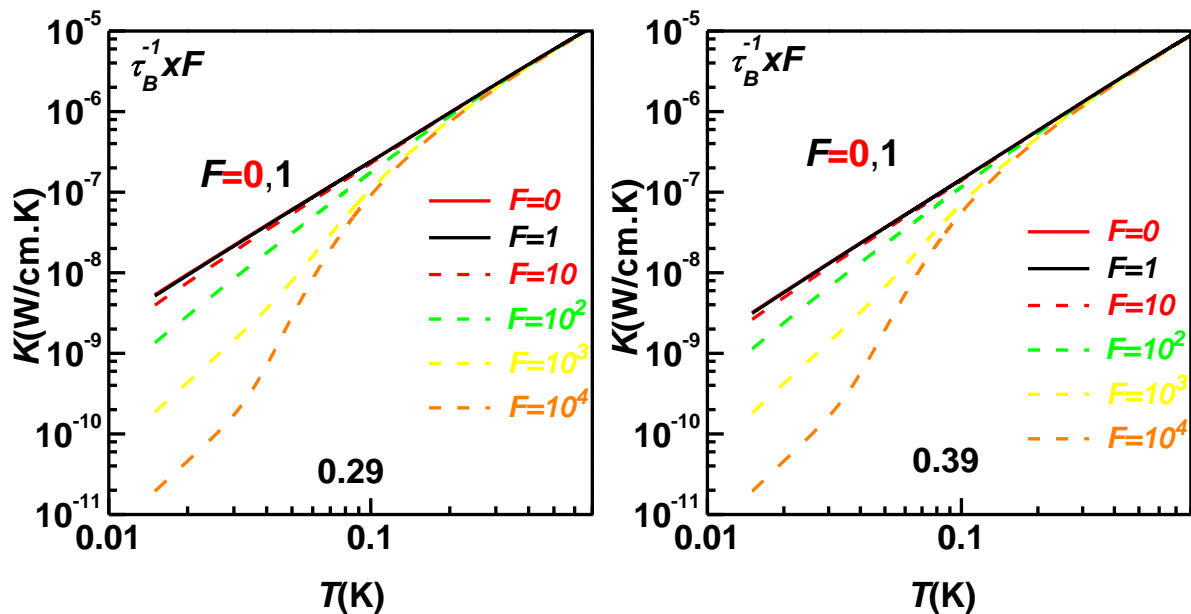


الشكل (19.3): الإسهام المئوي لمركبات التوصيل الحراري K_C و K_N بالنسبة إلى التوصيل الحراري الشبكي الكلي في عينات بولي تيرافثالات الأثيلين.

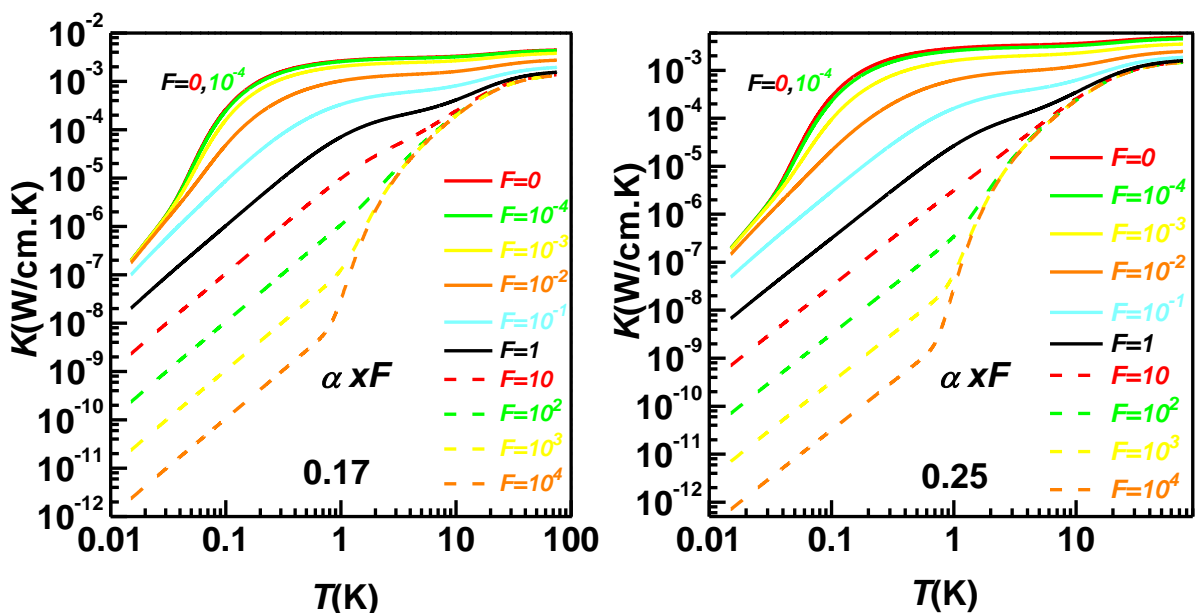
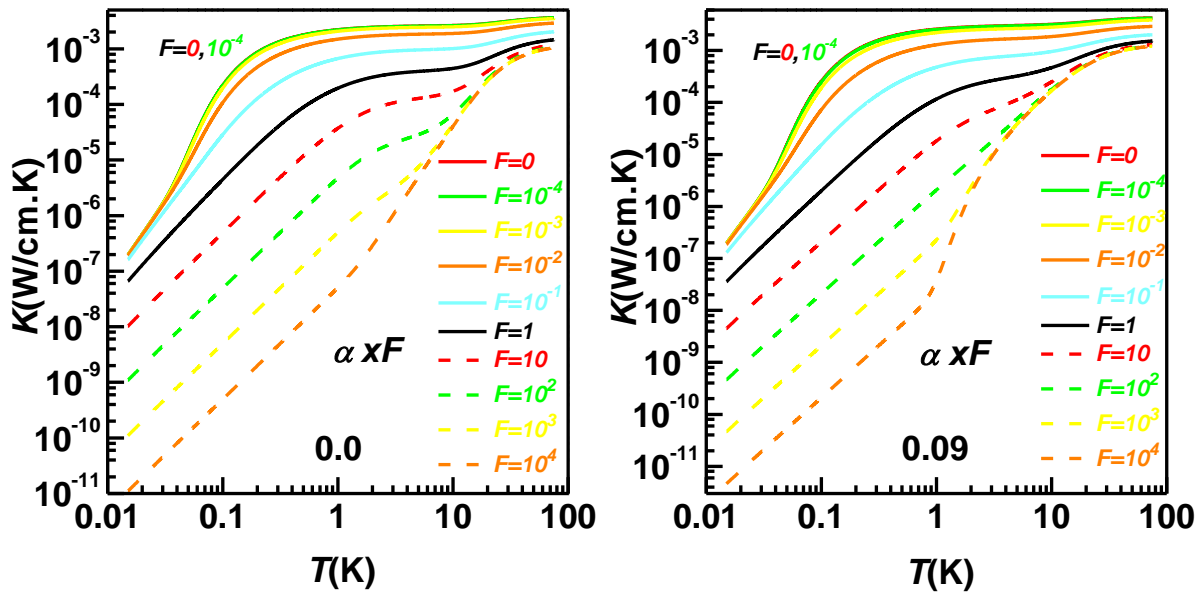
شملت الدراسة التأثير المترتب على التوصيل الحراري الكلي من تغير قوى التشتت الفونوني المستخدمة في الدراسة، والنتائج موضحة في الأشكال (29-30.3). كما تمت بثبوت درجة الحرارة دراسة طبيعة مركبات التوصيلية كدالة لكل من القيمة الكسرية للحيز الخالي p (الشكل (30.3)) ومعامل التشتت بالخلع البلوري A_{Dis} (الشكل (31.3)).



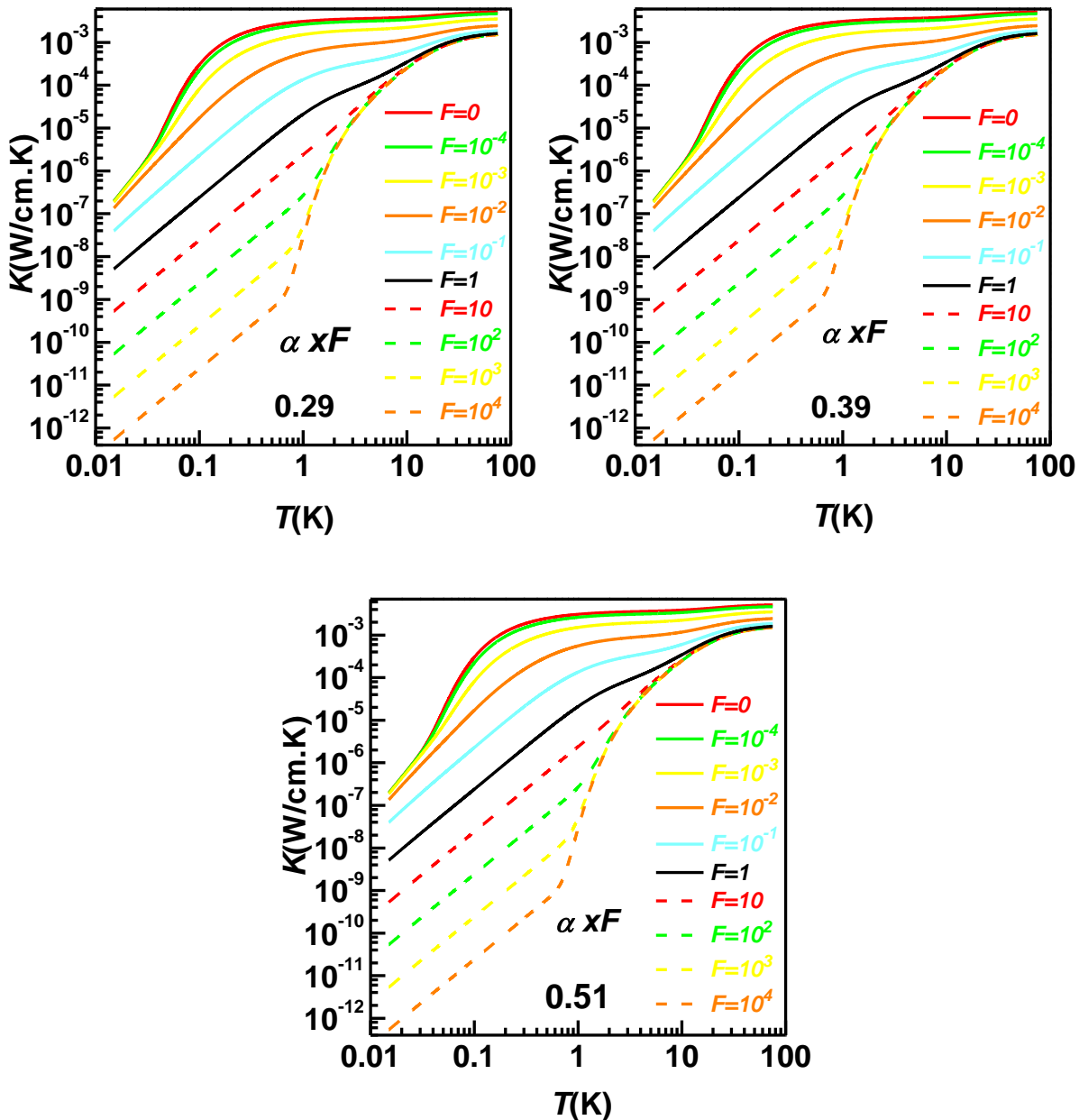
الشكل (20.3): منحني التوصيلية لقيم مختلفة من قوة التشتت الفونوني بحدود البلورة في عينات بولي تيرافثالات الأثيلين بدرجات تبلور (0, 0.09, 0.17, 0.25)



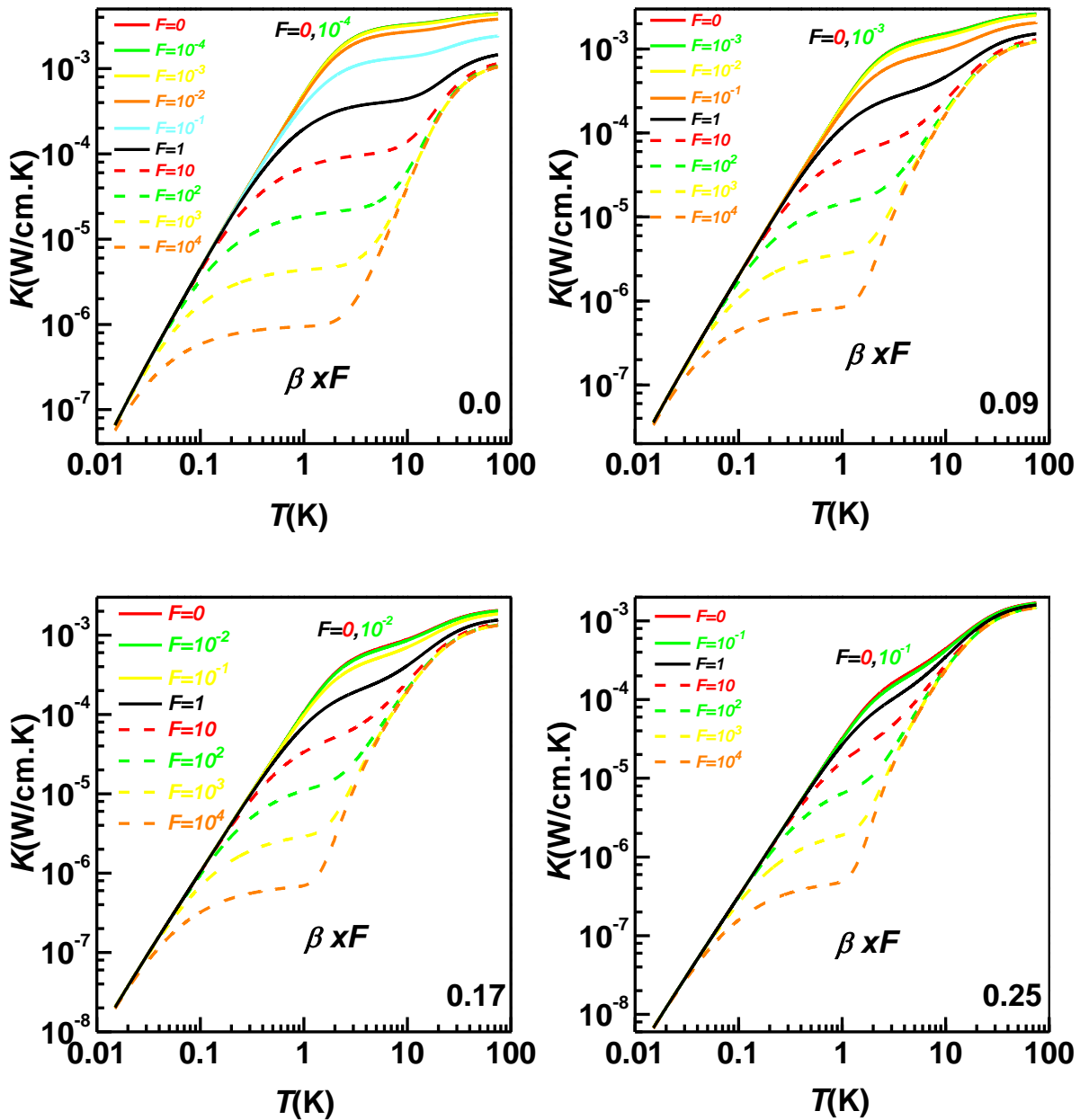
الشكل (21.3): منحني التوصيلية لقيم مختلفة من قوة التشتت الفونوني بحدود البلورة في عينات بولي تيرافثالات الأثيلين بدرجات تبلور (0.29, 0.39, 0.51)



الشكل (22.3): منحني التوصيلية لقيم مختلفة من قوة التشتت الفونوني بالحيز الحالي في عينات بولي تيرافثلات الأثيلين بدرجات تبلور (0, 0.09, 0.17, 0.25)

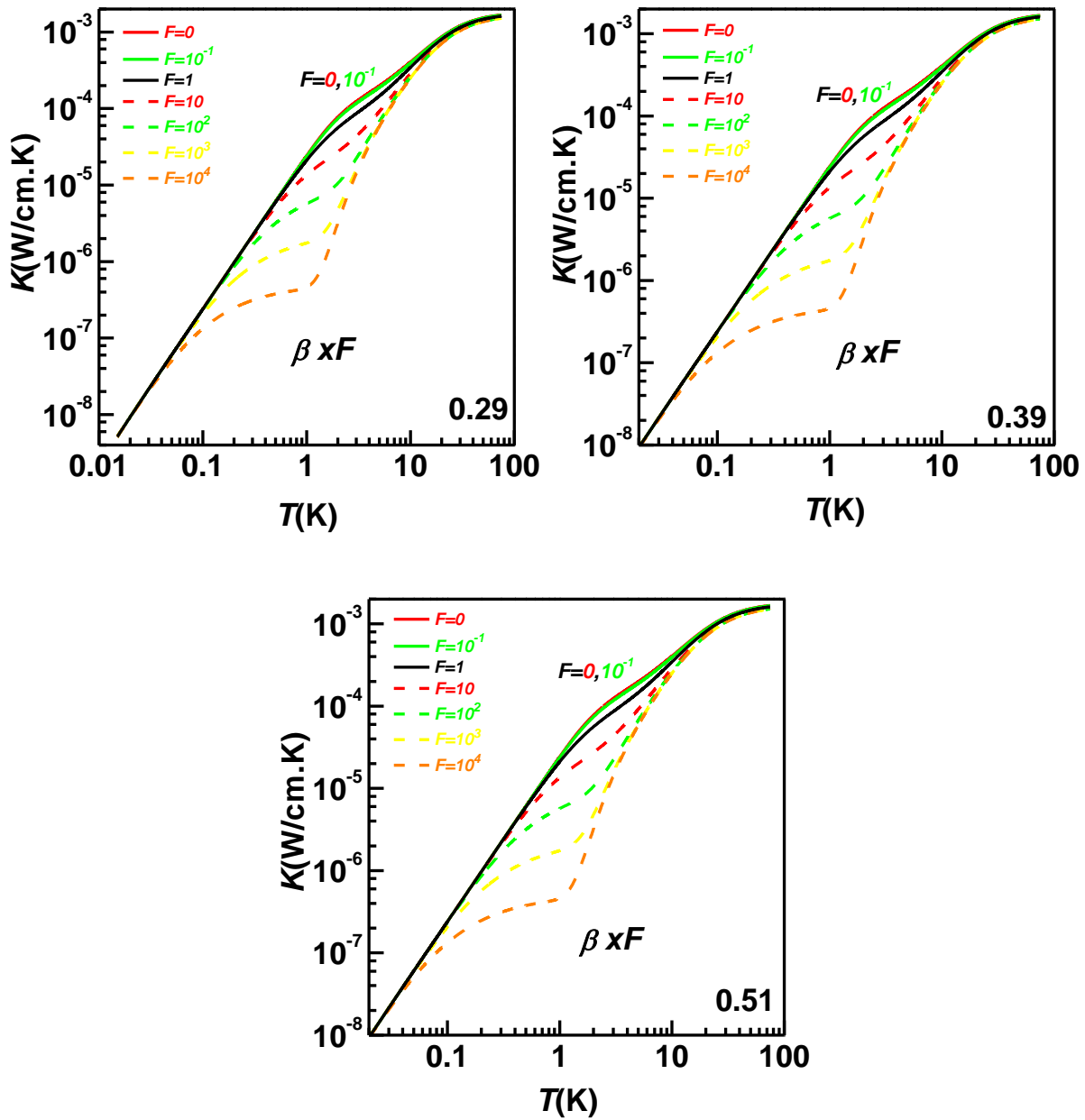


الشكل (23.3): منحني التوصيلية لقيم مختلفة من قوة التشتت الفونوني بالحيز الخالي في عينات بولي تيرافثالات الأثيلين بدرجات تبلور (0.29, 0.39, 0.51)

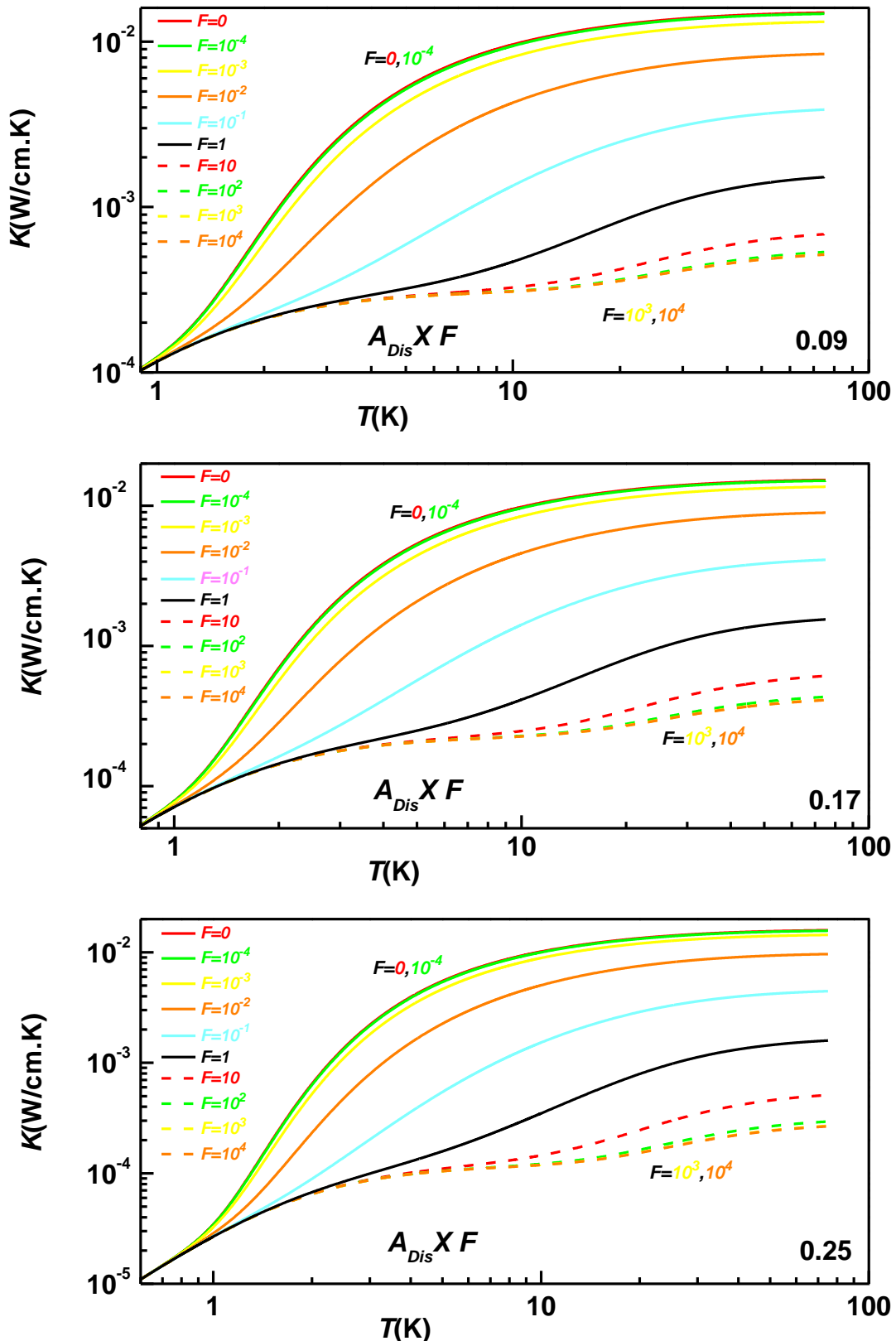


الشكل (24.3): منحني التوصيلية لقيم مختلفة من قوة تشتت رايلي في عينات بولي تيرافثلات

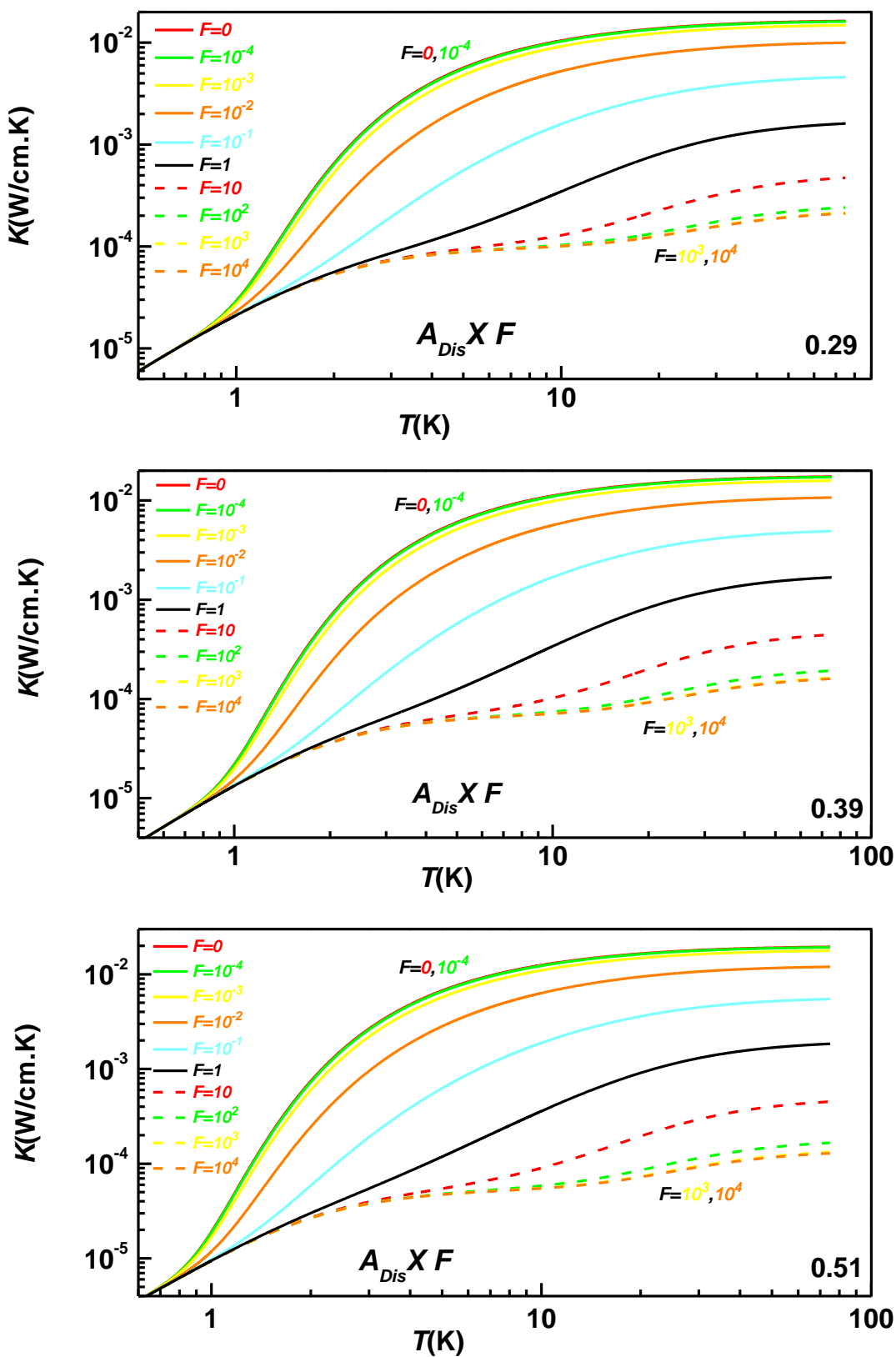
الأثيلين بدرجات تبلور (0,0.09, 0.17,0.25)



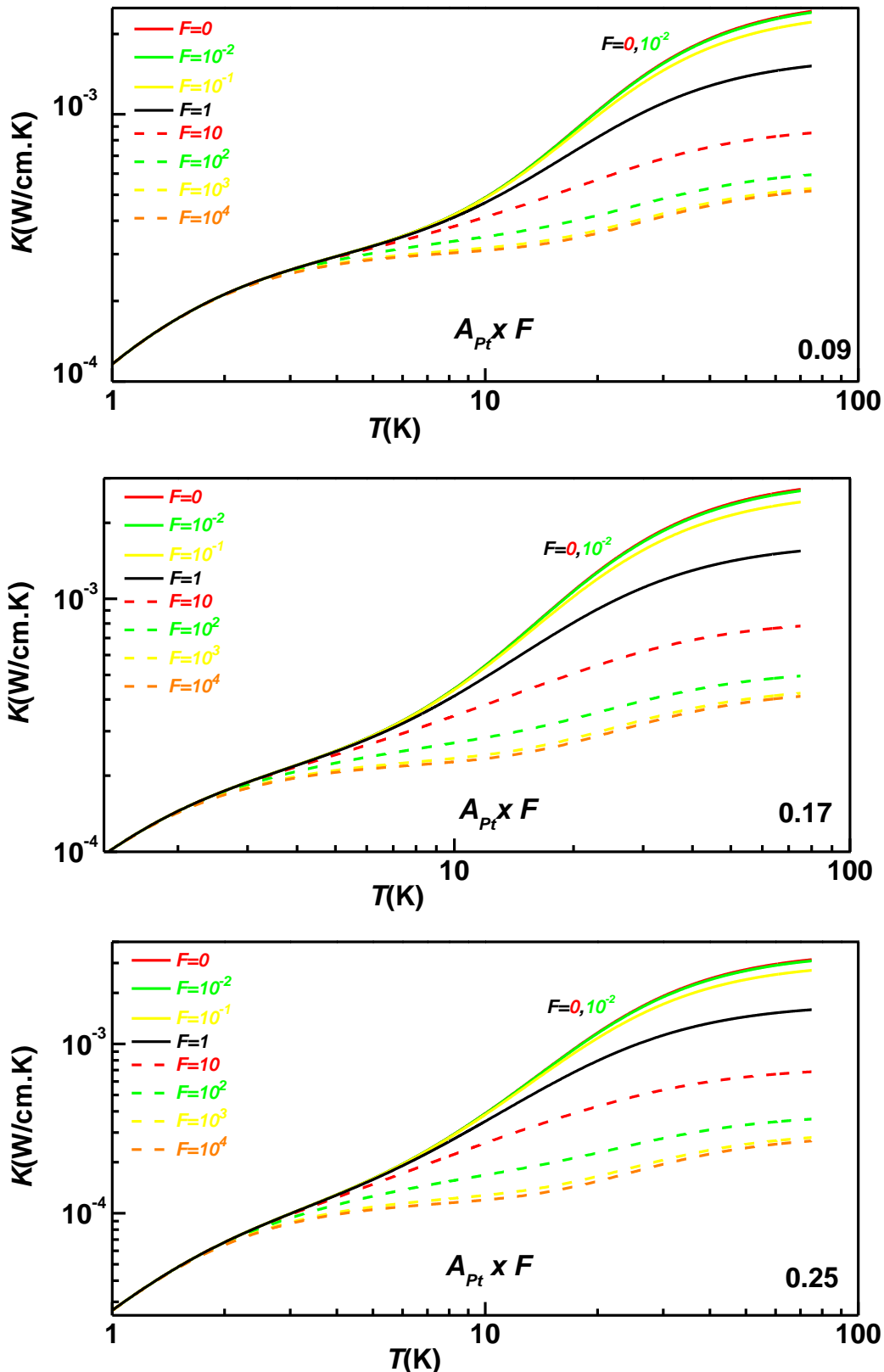
الشكل (25.3): منحني التوصيلية لقيم مختلفة من قوة تشتت رايلي في عينات بولي تيرافثلات الأثيلين بدرجات تبلور (0.29, 0.39, 0.51)



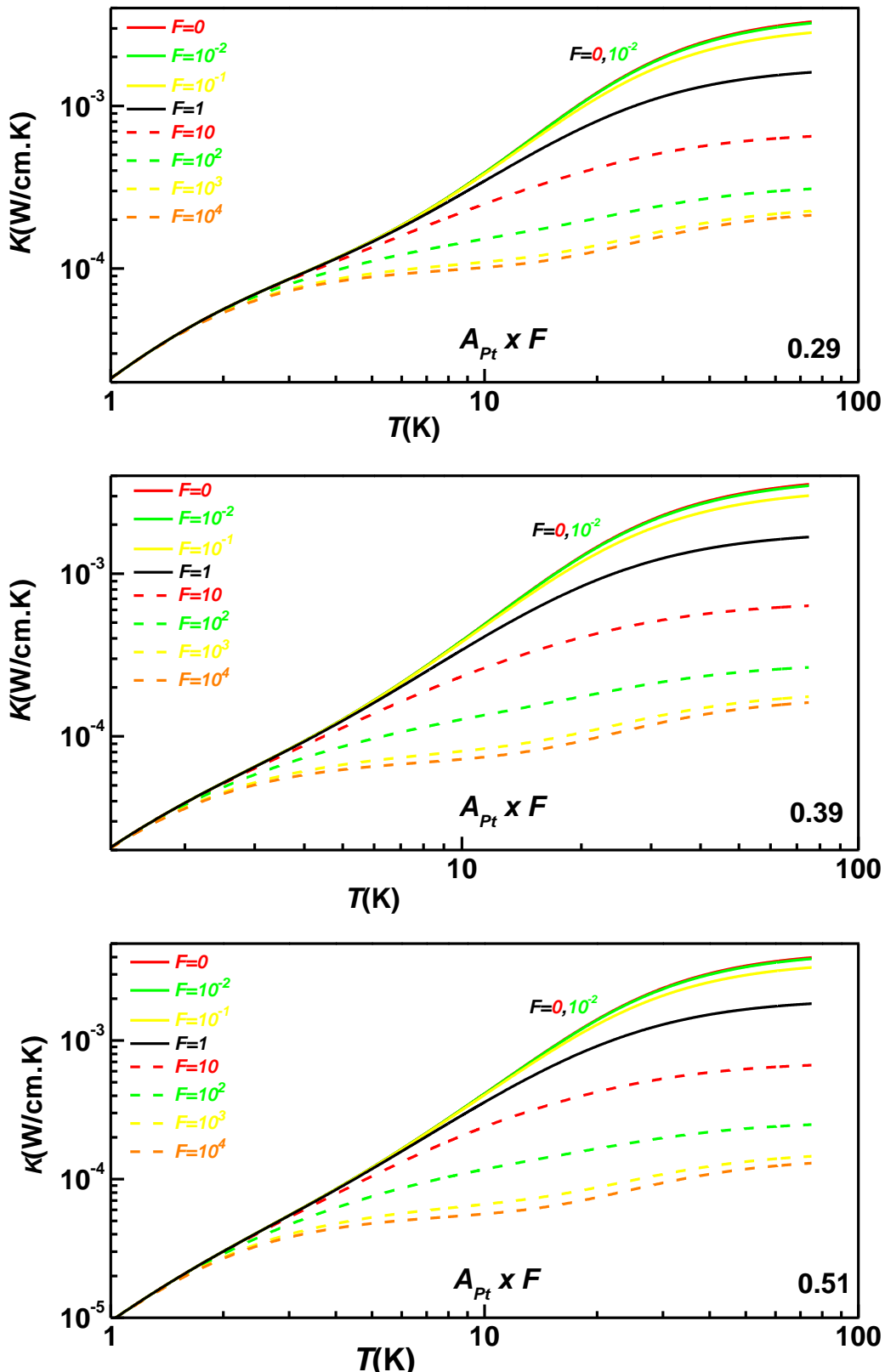
الشكل (26.3): منحني التوصيلية لقيم مختلفة من قوة التشتت الفونوني بالخلع البلوري في عينات بولي تيرافثالات الأثيلين بدرجات تبلور (0.09, 0.17, 0.25)



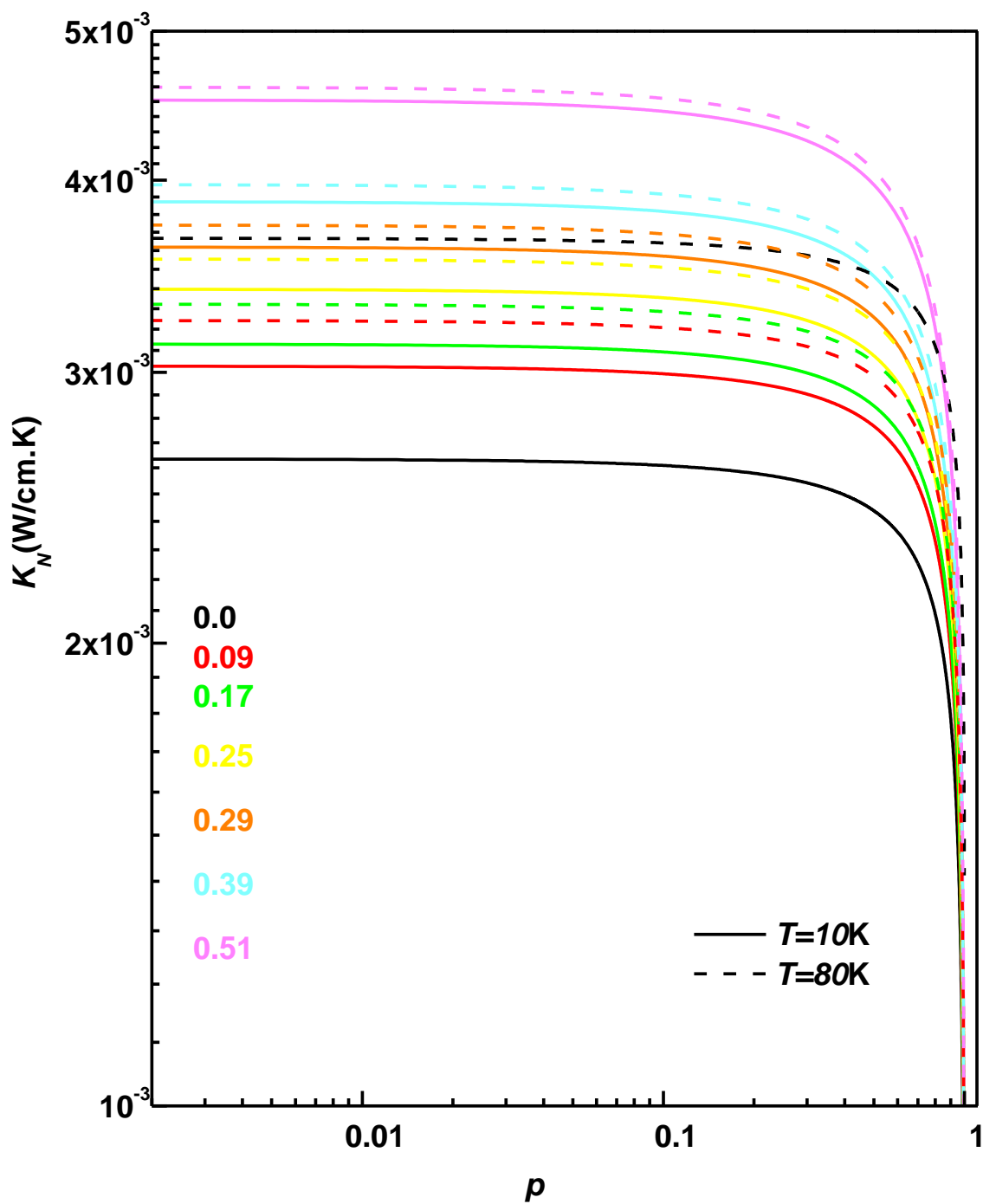
الشكل (27.3): منحني التوصيلية لقيم مختلفة من قوة التشتت الفونوني بالخلع البلوري في عينات بولي تيرافثالات الأثيلين بدرجات تبلور (0.29, 0.39, 0.51)



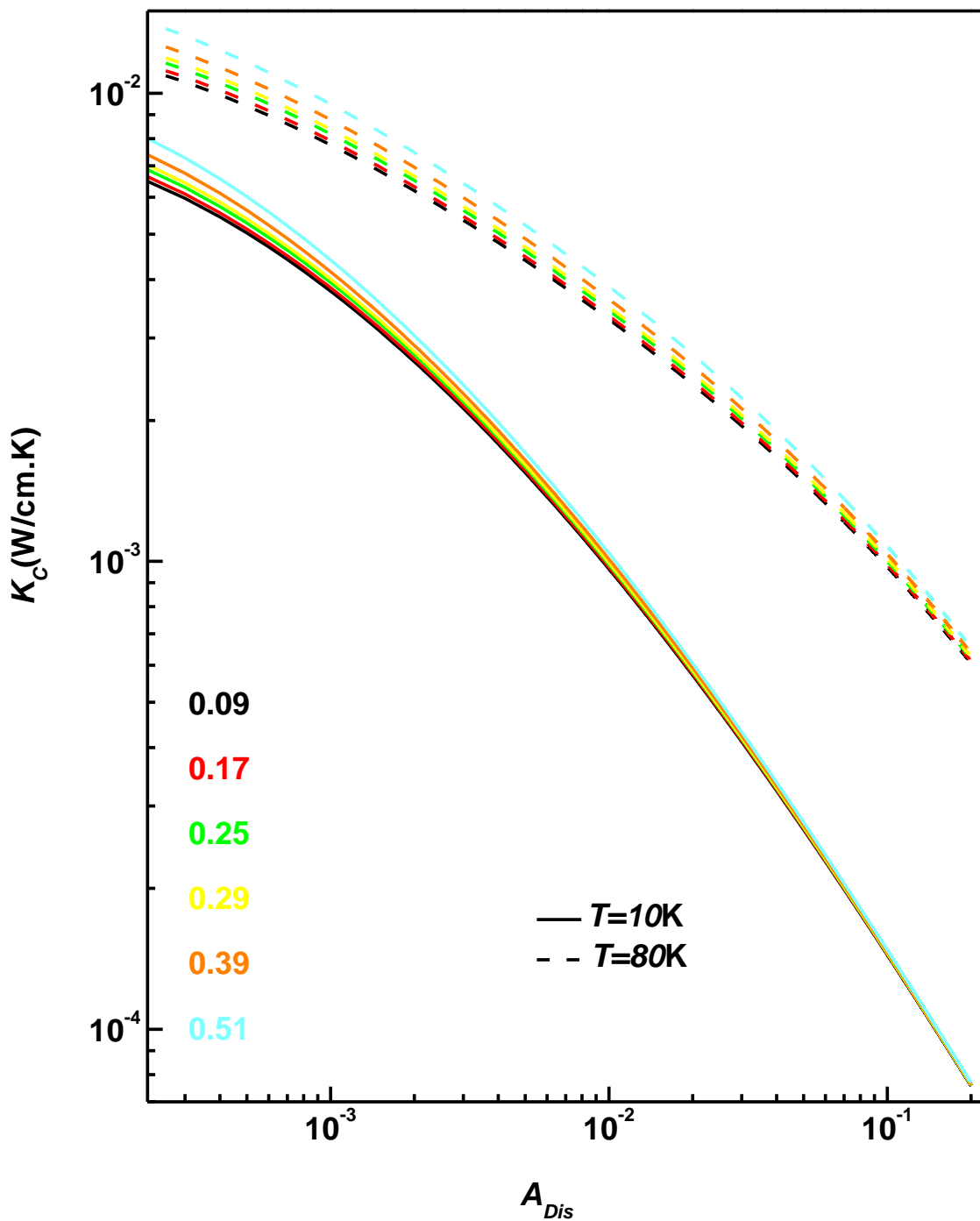
الشكل(28.3): منحني التوصيلية لقيم مختلفة من قوة التشتت الفونوني بالعيوب النقطية في عينات بولي تيرافثلات الأثيلين بدرجات تبلور (0.09, 0.17, 0.25)



الشكل(29.3): منحني التوصيلية لقيم مختلفة من قوة التشتت الفونوني بالعيوب النقطية في عينات بولي تيرافثالات الأثيلين بدرجات تبلور (0.29, 0.39, 0.51)

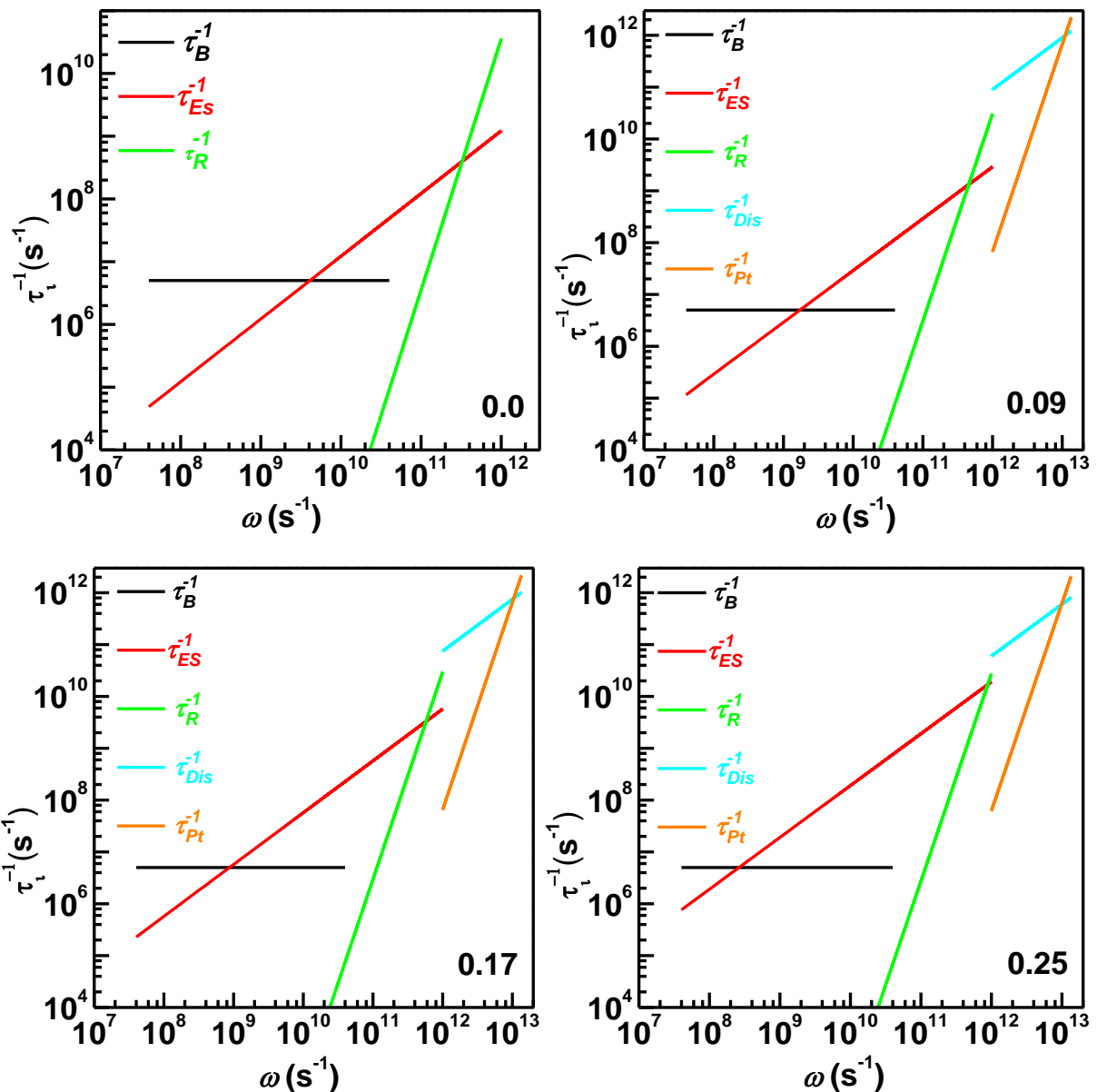


الشكل (30.3): التوصيل الحراري الشبكي للتركيب غير البلوري لعينات بولي تيرافثالات الأثيلين
كالة للقيمة الكسرية للحيز الحالي p بثبوت درجة الحرارة.

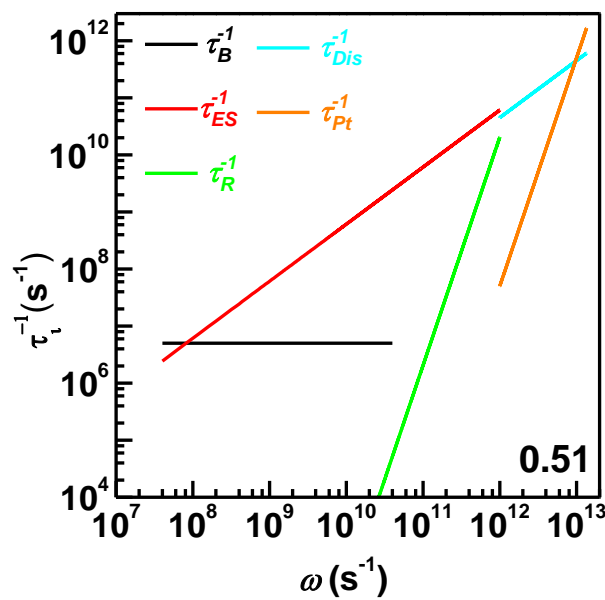
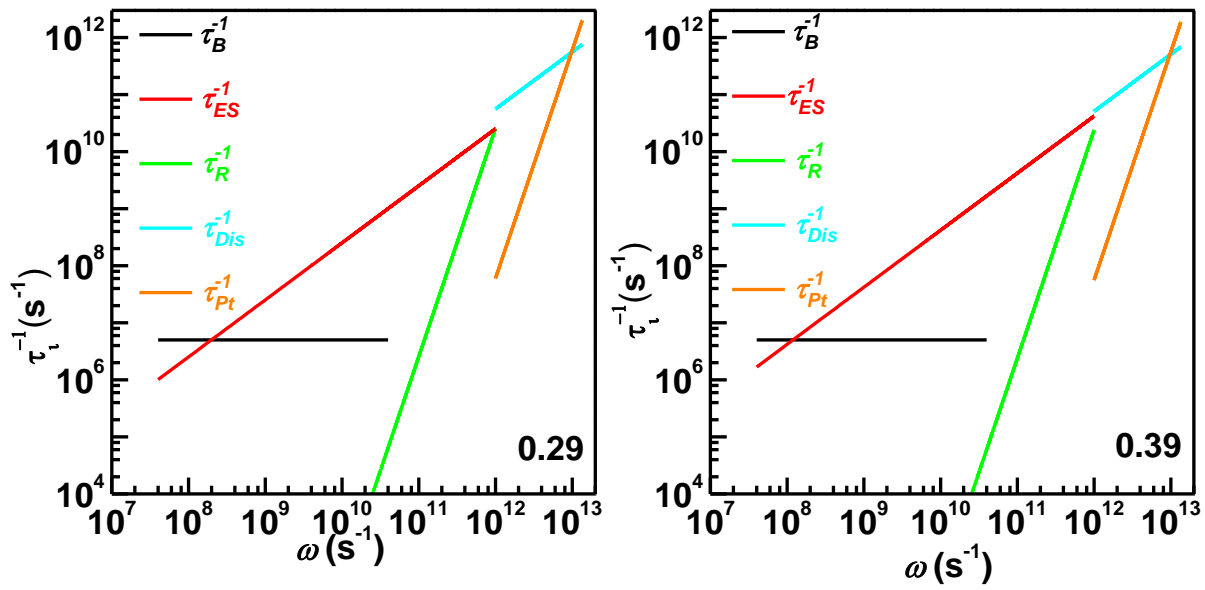


الشكل (31.3): التوصيل الحراري الشبكي للتركيب البلوري لعينات بولي تيرافثالات الأثيلين
دالة لمعامل التشتت بالخلع البلوري A_{Dis} بثبوت درجة الحرارة.

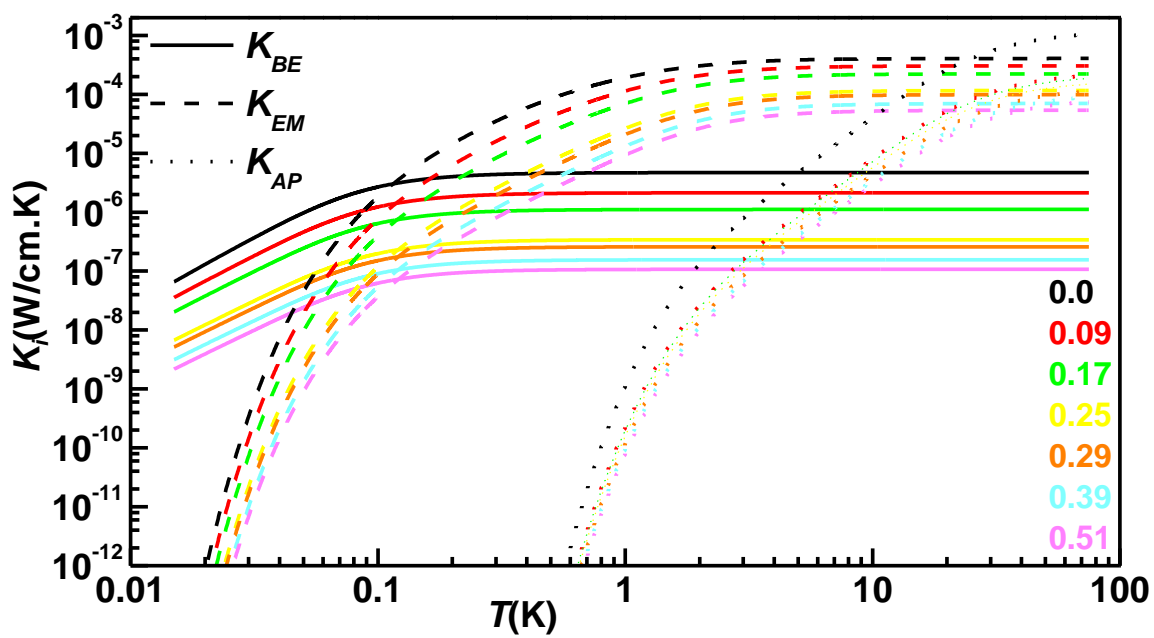
توضح الأشكال (٣٢.٣) و(٣٣.٣) تغير معدلات الاسترخاء للتشتتات المستخدمة كدالة للتردد ω . أما الأشكال (٣٤.٣) و(٣٥.٣) فتبين تغير قيم مركبات التوصيلية $K_{BE}, K_{EM}, K_{AP}, K_N, K_C$ مع درجة الحرارة. وأخيراً يوضح الشكل (٣٦.٣) قيم التوصيل الحراري الشبكي الكلي العمليّة والنظريّة لجميع عينات بولي تيرافثالت الأثنين .



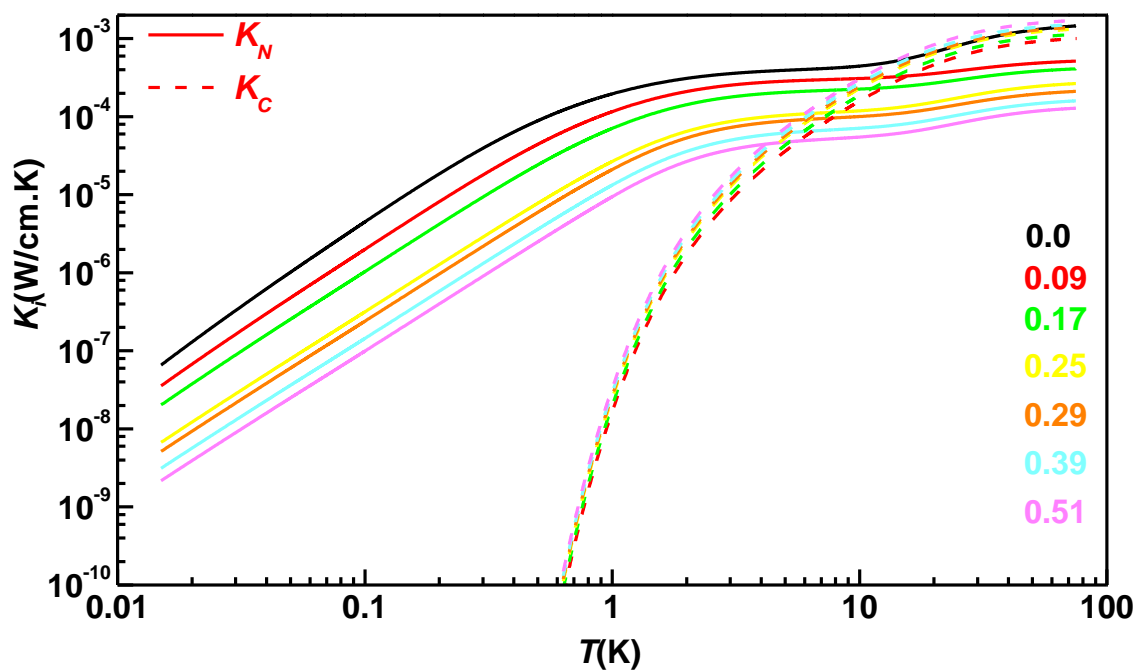
الشكل (٣٢.٣): معدلات التشتت الفونوني كدالة للتردد ω لعينات بولي تيرافثالت الأثنين بدرجات تبلور (٠, ٠.٠٩, ٠.١٧, ٠.٢٥)



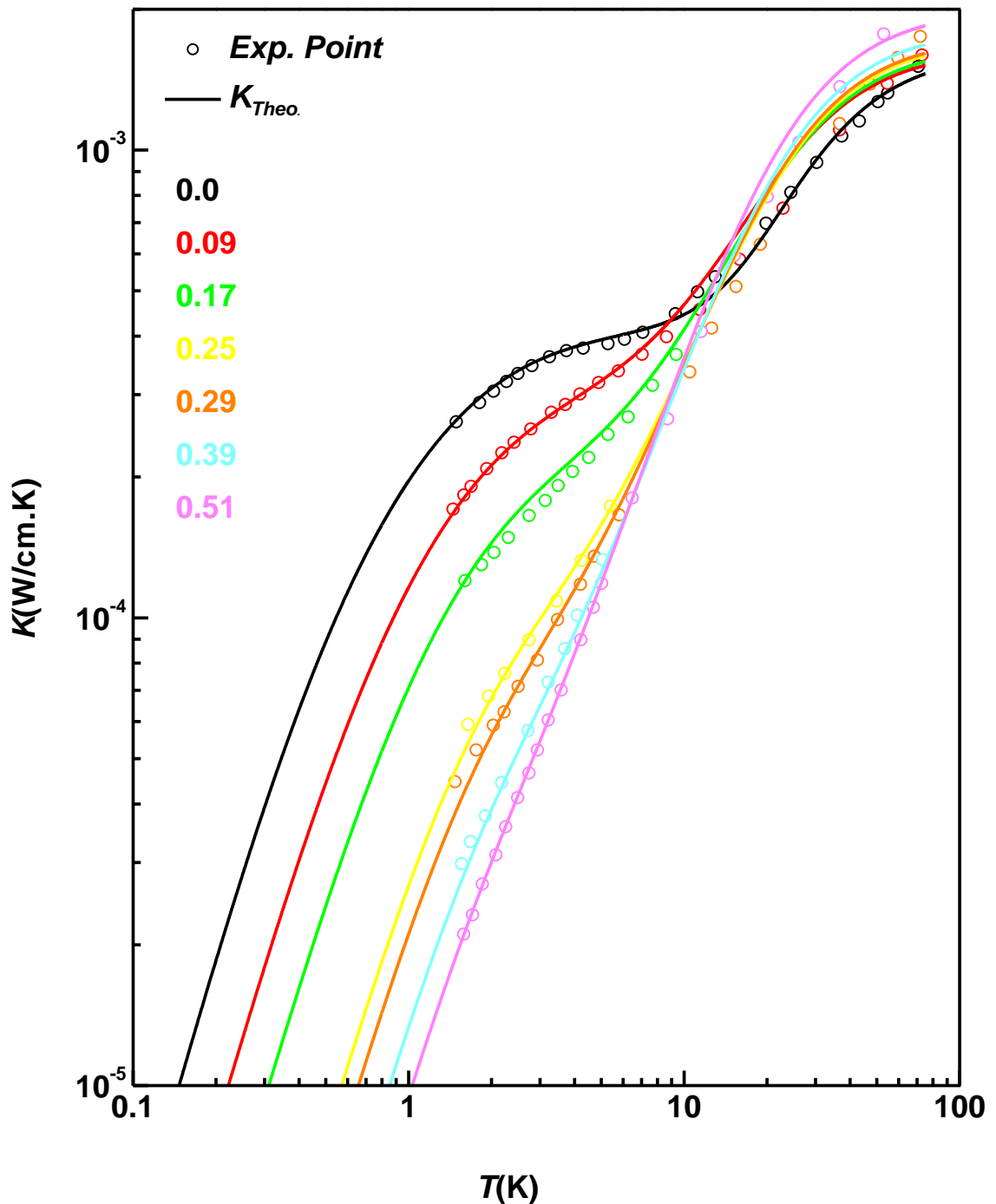
الشكل (33.3): معدلات التشتت الفونوني كدالة للتعدد ω لعينات بولي تيرافثلات الأثيلين
بدرجات تبلور (0.29, 0.39, 0.51)



الشكل (34.3): منحنيات التوصيلية K_{BE}, K_{EM}, K_{AP} كدالة لدرجة الحرارة لعينات بولي تيرافثلات الأثيلين.



الشكل (35.3): منحنيات التوصيلية K_N, K_C كدالة لدرجة الحرارة لعينات بولي تيرافثلات الأثيلين .



الشكل(36.3) : منحني التوصيلية للتركيب غير البلوري كدالة لدرجة الحرارة لعينات بولي تيرافثالات الأثيلين.

(3-3) المناقشة

عندت صيغة عواد إلى تجاوز بعض التقريرات المعتمدة في أنموذج كالاوي، مما أعطى قيم التوصيل الحراري الشبكي المحسوبة نظرياً دقة أكبر . على الرغم مما أكده جراد Jarad [49] من أن صفات التركيب غير البلوري تُضمن من خلال معدلات الاسترخاء المستخدمة، مما جعله يستخدم صيغة عواد لكلا التركيبين البلوري وغير البلوري. غير أننا لا نستطيع استخدام صيغة عواد في حساب إسهام التوصيل الحراري للتركيب غير البلوري، وذلك لعدم وجود ترابط منظم بين السلسل البوليمرية في هذا التركيب والذي تتطلب صيغة عواد . وعليه فقد استُخدمت نظرية والتن وأنموذج كالاوي للجزء غير البلوري، وصيغة عواد للتركيب البلوري. هذا الفرق بين الصيغتين نلاحظه في الشكل (1.3)، إذ نجد عند درجات الحرارة الواطئة أن النسبة المئوية للفروق عالية جداً (94%)، حيث يسيطر إسهام التركيب غير المتبلور على قيمة التوصيل الحراري الكلي، في حين تتناقص النسب عند درجات الحرارة العالية بسبب هيمنة التوصيل الحراري للتركيب البلوري . كما تزداد هذه النسب كلما قلت درجة التبلور . تم حساب التوصيل الحراري الشبكي لأربع عينات من البولي أثيلين وسبع عينات من بولي تيرافثالات الأثيلين بدرجات تبلور مختلفة . الجدير بالذكر ان الدراسة لم تجد إسهام واضح للتشتت بالحدود البلورية في التركيب المتبلورة ، وعليه فقد تم الاستغناء عنه والاعتماد على قيمة التشتت المحسوبة في توصيلية التركيب غير المتبلورة.

يشير الشكل (2.3) إلى وجود تطابق جيد بين النتائج العملية وتلك المحسوبة نظرياً لعينات البولي أثيلين، ونفس التطابق نجده في عينات بولي تيرافثالات الأثيلين كما في الشكلين (16.3) و(17.3). يتضح من هذه الأشكال الإسهام الضعيف للمركبة K_{BE} في التوصيل الحراري الكلي إلا في درجات الحرارة الواطئة جداً ($T < 0.1K$) بينما يهيمن إسهام K_{EM} في مدى درجات الحرارة (0.1-2K) تقربياً. هذا يشير بشكل واضح إلى أن التوصيل الحراري في هذا مدى من درجات الحرارة ناجم عن إسهام الفونونات ذات مدى الترددات ($\omega_{pt} - 10^{10} s^{-1} \times 4$) ، وهذا يتفق مع ما تناولته عدد من الدراسات [28, 32, 36, 49]. أما إسهام المركبة K_{AP} في حساب التوصيل الحراري للتركيب غير البلوري فنجد أنه في درجات الحرارة العالية. كل هذا نلاحظه بصورة أكبر عند حساب النسبة المئوية لإسهام هذه المركبات (K_{BE}, K_{EM}, K_{AP}) في التوصيل الحراري للتركيب غير البلوري والموضحة في الأشكال (3.3) و (18.3) للبولي أثيلين وبولي تيرافثالات الأثيلين على التوالي.

أظهرت الدراسة فعالية التوصيل الحراري الشبكي للجزئين البلوري K_C وغير البلوري K_N في التوصيل الحراري الكلي (الشكلين (4.3) و(19.3))، حيث توصلت إلى سلوكين متعاكسيين لإسهام كل منهما المئوي، إذ يتغلب $K_N\%$ على $K_C\%$ في درجات الحرارة الواطئة والعكس يحدث في درجات

الحرارة العالية. وعليه يمكن القول أن التوصيل الحراري الشبكي في عينات البوليمرات قيد الدراسة ينبع عن إسهام التركيب غير البلوري في درجات الحرارة الواطئة بينما يعزى إلى إسهام التركيب البلوري في درجات الحرارة العالية. إن درجة الحرارة التي يتساوى عندها الإسهامان (50%) تقل كلما زادت درجة التبلور، ويزداد K_C كلما ارتفعت درجة التبلور في حين نجد العكس في تصرف ١ نسبة المؤوية K_N . وهذا يتفق مع ما وجده الباحثان [27,49] في دراستهم على البولي أثيلين وبولي تيرافثالات الأثيلين . ولكن لابد من الإشارة إلى أن اختلاف الأنماذج الرياضي المستخدم في حساب التوصيل الحراري للتركيب غير البلوري وكذلك إضافة مركبة التوصيل K_{AP} ، قد أثر بشكل مباشر في قيم معاملات الاسترخاء فضلاً عن منحنيات التوصيل، وخاصة منحنيات الإسهام المؤوي عند القيم العليا من درجة حرارة الدراسة . كما لابد من التأكيد على أن الدراسات السابقة [46,49-29] التي تناولت بالتحليل التوصيل الحراري الشبكي للعينات موضوع الدراسة، كانت قد أهملت تأثير مركبة التوصيل K_{AP}

لمعرفة الدور الذي تلعبه التشتتات الفونونية المستخدمة في كل من التركيب البلوري والتركيب غير البلوري عند حساب التوصيل الحراري الشبكي، أستخدم عامل الضرب F لمعرفة طبيعة تغير التوصيل الحراري مع تغير معاملات قوى التشتت. عند دراسة الأشكال (9-5.3) للبولي أثيلين والأشكال (29-20.3) لبولي تيرافثالات الأثيلين نلاحظ انخفاضاً في قيمة التوصيل الحراري عند زيادة قيمة العامل F ، كما تؤثر التشتتات الفونونية المستخدمة عندما يتخذ عامل الضرب القيم المدرجة في الجدول التالي :

جدول (3.3): قيم عامل الضرب F المؤثرة للتشتتات الفونونية المستخدمة

نوع التشتت	بولي أثيلين	بولي تيرافثالات الأثيلين
حدود البلورة	$F > 10^{-1}$	$F > 10^{-1}$
تشتت رايلي	$F \geq 10^{-2}$	$F \geq 10^{-2}$
الحيز الحالي	$F \geq 10^{-3}$	$F \geq 10^{-4}$
الخلع البلوري	$F \geq 10^{-3}$	$F > 10^{-4}$
العيوب النقطية	$F \geq 10^{-2}$	$F > 10^{-2}$

تظهر الأشكال اختلافاً واضحاً في مدى درجات الحرارة التي تؤثر فيها هذه التشتتات على منحني التوصيلية، حيث تؤثر حدود البلورة في قيم التوصيل الحراري عند درجات الحرارة الواطئة ($T < 0.5K$) مهما تكون قيمة F المضروبة. هذا يعني اقتصر التشتت بحدود البلورة على الفونونات التي تمتلك ترددًا أقل من $10^{10} s^{-1}$. لابد من الإشارة إلى الاختلاف الواضح في قيمة التغير الناتج عن هذا

التأثير بين عينات البولي أثيلين وبولي تيرافثالات الأثيلين. يؤثر التشتت الفونوني بالحيز الخالي على طول مدى درجة حرارة الدراسة، وان كان التأثير اكبر عند درجات الحرارة الواطئة وخاصة عند قيم F الكبيرة . يختلف تأثير تشتت رابلي نوعاً ما عن سابقيه حيث يكون غير ملموس عند درجات الحرارة العالية وخاصة للعينات ذات درجات التبلور العالية، ويقل هذا التأثير عند درجات الحرارة الواطئة جداً (اقل من $0.02K$). عند درجات الحرارة ($T > 1K$) تتغير منحنيات التوصيلية بشكل واضح نتيجة التشتت بالخلع البلوري والعيوب النقطية، وخاصة للتشتت بالخلع البلوري . لقيم $10^3 > F$ يكاد ينعدم إسهام الجزء البلوري في التوصيل الحراري الكلي، وعندها يصبح التوصيل الحراري ناتجاً عن إسهام الجزء غير المتببور.

على ضوء ما سبق نستنتج ان التشتت بالحيز الخالي والتشتت بالخلع البلوري لهما دور اساسي في تحديد قيمة التوصيل الحراري في درجات الحرارة الواطئة والعالية على التوالي، ولهذا فقد تم دراسة تغير التوصيل الحراري مع معامل قوة التشتت لكل منهما بثبوت درجة الحرارة للبولي أثيلين (الأشكال 10.3) و(11.3)) ولبولي تيرافثالات الأثيلين (الأشكال (30.3) و(31.3)) وكلما العاملين. يشير الشكلان (10.3) و(30.3) إلى أن التوصيل الحراري للجزء غير البلوري يتغير بشكل ملموس وحاد في البولي أثيلين وبولي تيرافثالات الأثيلين كلما كانت $0.1 < T < 0.9$ على التوالي، وتغييراً بطيئاً للقيم الأخرى. هذا يعني أن لا تأثير لهذه القيم الكسرية على التوصيل الحراري الشبيكي. هذا يتافق مع ما توصل إليه عواد وشرجي Awad and Shargi [48] وجراد Jarad [49]. لقيم $T > 80K$ لم نلاحظ تغيراً ملموساً في نتائج K_N لاي قيمة معينة من p . يسلوك بولي تيرافثالات الأثيلين سلوكاً مشابهاً لما هو عليه في عينات البولي أثيلين وعليه فقد اقتصر الشكل (30.3) على منحنيات درجتي الحرارة 10K و 80K . لابد من الاشارة الى تزايد قيم K_N مع درجة التبلور عند قيمة معينة من قيم p و T . يشدد عن هذا التصرف منحني التوصيلية K_N للعينة غير المتببورة (D.C=0.0) عند درجة الحرارة ($T = 80K$) (الشكل 30.3)، ذلك بسبب الإسهام الكبير للمركبة K_{AP} عند درجات الحرارة العالية والذي يطغى على اي تأثير للتشتت بالحيز الخالي. لم نلحظ أية فروق في طبيعة العلاقة بين K_N و p بين عينات الدراسة.

يبين الشكل (11.3) انخفاضاً في قيمة التوصيل الحراري للجزء البلوري K_C عند زيادة قوة التشتت بالخلع البلوري A_{Dis} . لم نجد تغيراً واضحاً في قيمة K_C لدرجات الحرارة $80K < T$. ولتشابه شكل المنحنيات بين عينات البولي أثيلين وبولي تيرافثالات الأثيلين، فقد اقتصر الشكل (31.3) على منحنيات درجتي الحرارة 10K و 80K . حيث نلاحظ تأثير درجة التبلور على قيمة K_C يكون اكبر عند ($T = 80K$) مما هو عليه عند ($T = 10K$). في حين لا نجد هذه الحالة في عينات البولي أثيلين (الشكل (11.3)), إذ التغير الواضح في قيم K_C مع درجة التبلور عند ($T = 10K$) . لم تتوصل الدراسة إلى أي اختلاف في طبيعة منحني التوصيلية في العينات المستخدمة.

تم دراسة تغير معدلات الاسترخاء للتشتتات الفونونية كدالة للتعدد ω . الأشكال (12.3) و(32.3) و(33.3) تبين مديات التردد التي تهيمن بها التشتتات الفونونية المستخدمة في الدراسة، حيث أدرجت النتائج في الجدول (4.3). توضح الأشكال هيمنة واضحة للتشتت الفونوني بحدود البلورة عند مدى التردّدات الواطنة، حيث يمثل التراكيب غير البلورية. نجد عند مدى التردّدات العالية سيطرة واضحة للتشتت الفونوني بالخلع البلوري في عينات الكثافة العالية من البولي أثيلين، يقابلها في الواطنة هيمنة للتشتت بالعيوب النقطية. في حين يطغى التشتت بالخلع البلوري على بقية التشتتات في عينات بولي تيرافثالات الأثيلين.

لمعرفة تأثير درجة التبلور على قيم مركبات التوصيلية $K_{BE}, K_{EM}, K_{AP}, K_N, K_C$ ، تمت الاستعانة بالأشكال (13.3) و(14.3) و(34.3) و(35.3) حيث نلاحظ أن قيمة كل من K_N ومركباتها تقل بزيادة درجة التبلور وثبتت درجة الحرارة والعكس صحيح بالنسبة لـ K_C ، هذا يتفق مع ما توصلت إليه بعض الدراسات [27,29,49]. أن هذه العلاقة بين K_N ومركباتها مع درجة التبلور نجدها أكثر وضوحاً في عينات بولي تيرافثالات الأثيلين مما هو عليه في البولي أثيلين. اختلاف سلوك منحنيات كل من K_N و K_C مع درجة التبلور يفسر وجود نقطة الانقلاب (Cross over) بين منحنيات المجموعة الواحدة. وهذا واضح من خلال الشكلين (15.3) و(36.3) حيث نلاحظ أن نقطة الانقلاب تقع عند $T = 1.5K$ في البولي أثيلين و $T = 12.5K$ في بولي تيرافثالات الأثيلين. من الجدير بالذكر إن نقاط الانقلاب سبق وأن رُصدت نظرياً من قبل عواد وشرجي [29] Awad and Shargi في دراستهما لعينات البولي أثيلين بدرجات تبلور مختلفة باستخدام أنموذج كالاوي، كما رصدها جراد [49] Jarad في مجاميع من البولي أثيلين مستخدماً صيغ عواد. في هذه الدراسة لا نتفق مع ما ذهب إليه جراد من إن سبب ظهور نقطة الانقلاب ناتج عن K_N وبالتحديد عن إسهام المركبة K_{EM} ، حيث ان دور K_{EM} في درجات الحرارة العالية وفي المنطقة التي تلي نقطة الانقلاب يكون محدوداً بالنسبة إلى الدور الرئيس لمركبة التوصيل K_{AP} . من الواضح أن للتصريف المعكوس لكل من K_N و K_C مع درجة التبلور دور رئيس في وجود نقطة الانقلاب.

جدول (4.3): مدى التردد لفاعالية التشتتات الفونونية في العينات المستخدمة

العينات المستخدمة	مدى التردد لأنواع التشتتات					
	حدود البلورة $\times 10^8 s^{-1}$	الحيز الخالي $\times 10^{11} s^{-1}$	رالي	الخل البلوري $\times 10^{12} s^{-1}$	العيوب النقطية $\times 10^{13} s^{-1}$	
بولي إثيلين	0.914	0 → 98	→ 2.8	→ 1	→ 6.0	→ 2
	0.933	0 → 76	→ 3.2	→ 1	→ 8.3	→ 2
	0.956	0 → 66	→ 3.4	→ 1	→ 9.0	→ 2
	0.971	0 → 55	→ 3.9	→ 1	→ 11.1	→ 2
بولي تيرافلاكت الألبين	0.0	0 → 41	→ 3.2	→ 1	-----	-----
	0.09	0 → 17	→ 4.6	→ 1	→ 11	→ 1.35
	0.17	0 → 8.7	→ 5.8	→ 1	→ 10.5	→ 1.35
	0.25	0 → 2.6	→ 8.9	→ 1	→ 9.9	→ 1.35
	0.29	0 → 2.0	→ 10	-----	→ 9.8	→ 1.35
	0.39	0 → 1.2	→ 10	-----	→ 9.7	→ 1.35
	0.51	0 → 0.81	→ 10	-----	→ 9.6	→ 1.35

(→) : تعني إن المدى يبدأ من نهاية مدى التردد في التشتت السابق.

4-3) الاستنتاجات

ما تقدم نستنتج ما يلي:

- ١ - ينتج التوصيل الحراري الشبكي في البوليمرات شبه البلورية عن التركيب غير البلوري K_N في درجات الحرارة الواطئة، في حين ينتج عن التركيب البلوري K_C عند درجات الحرارة العالية.
- ٢ - الإسهام المئوي للفونونات ذات التردد الأكبر من ω_{pt} في التوصيل الحراري الشبكي للتركيب غير البلوري تقل كلما زادت درجة التبلور بسبب هيمنة إسهام التركيب البلوري.
- ٣ - هيمنة واضحة للتشتت بحدود البلورة عند الترددات الواطئة بينما يهيمن التشتت بالحيز على الترددات العالية إلى ω_{pt} باستثناء الترددات القريبة جداً من ω_{pt} حيث يهيمن تشتت رايلي على التشتت بالحيز الحالي عندها. أما لمدى الترددات الأكبر من ω_{pt} فان التشتت بالخلع البلوري يسيطر على بقية التشتتات، إلا المنطقه القريبة من ω_D حيث يهيمن التشتت بالعيوب النقاطية.
- ٤ - تأثير واضح لهرجة التبلور على طبيعة منحني التوصيل، فكلما زادت درجة التبلور قلت قيمة التوصيل الحراري الشبكي في درجات الحرارة الواطئة، بينما يحدث العكس في درجات الحرارة العالية، مما يؤدي إلى ظهور نقطة انقلاب في تصرف منحنيات التوصيلية لعينات المستخدمة.
- ٥ - يعود السبب في نقطة الانقلاب إلى هيمنة إسهام K_N عند درجات الحرارة الواطئة والذي يقل بزيادة درجة التبلور، وهيمنة إسهام K_C عند درجات الحرارة العالية والذي يزداد بزيادة درجة التبلور.
- ٦ - الدور الواضح لإضافة المركبة K_{AP} في حساب التوصيل الحراري للتركيب غير البلوري.
- ٧ - نتائج جيدة في حساب التوصيل الحراري الشبكي لعينات الدراسة عند استخدام انموذج كالاوي [18] للتركيب غير البلوري و علاقات عواد Awad [36] للتركيب البلوري . خاصة وان هنالك فروقاً مئوية واضحة مع نتائج جراد Jarad [49].

5-3) الدراسة المستقبلية

دراسة البوليمر شبه البلوري البولي أثيلين عندما يأخذ بالاعتبار الاختلاف في قيم التوصيلية المحسوبة عموديا على السلسل البوليمرية K_{\perp} وتلك المحسوبة بشكل موازي لها K_{\parallel} و علاقتها بدرجات التبلور.

المصادر

Reference

- [1] د.كوركيس عبد آل آدم و د. حسين علي كاشف الغطاء، **تكنولوجيابوليميرات**، جامعة البصرة (1983).
- [2] د.بنون محمد عزيز و د.كوركيس عبد آل آدم، **كيمياء الجزيئات الكبيرة المحدث**، جامعة البصرة .(1987)
- [3] J. M. Cowie, **Polymer: chemistry & physics of modern materials**, 3rd edition Boca Raton: Taylor and Francis (2008)
- [4] F. Herrera, J. Pedro and A. Valadez, **in Natural fibers, biopolymers, and biocomposites**, CRC Press, 1st edition (2005).
- [5] R. Berman, **Thermal conductivity in solids**, Oxford University Press, 1st edition (1979)
- [6] A. Alessandrello, **physics of atomic nuclei**, 66(3), 452 (2003)
- [7] D. Walton, **Solid. Stat. Comm.**, 14, 335 (1974).
- [8] M. Barucci, E. Gottardi, I. Peroni and G. Venture, **Cryogenics**, 40, 174 (2000).
- [9] J. Lawrence, A. B. Petal and J. G. Brisson, **Cryogenics**, 40, 489 (2000).
- [10] M. Barucci, E. Gottardi, E. Olivieri, E. Pasca, L. Risegari and G. Venture, **Cryogenics**, 42, 551 (2002).
- [11] A. L. Woodcraft, V. Martelli and G. Ventura, **Cryogenics**, 50(2), 66 (2010)
- [12] C. L. Choy and K. Yong, **Polymer**, 18, 769 (1977).
- [13] M. Barucci, E. Olivieri and E. Pasca , **Cryogenics**, 45, 295 (2005).
- [14] M. Barucci, G. Bianchini, T. Del Rosso, E. Gottardi, I. Peroni and G. Venture, **Cryogenics**, 40, 465 (2000).
- [15] P. G. Klemens, **Proc. Roy. Soc.**, (London)A208, 108 (1951).
- [16] R. Berman, **Proc. Roy. Soc.**, A208, 90 (1951).
- [17] W. Reese, **J. Appl. Phys.**, 37, 864 (1966).
- [18] J. Callaway, **Phys. Rev.**, 113, 1046 (1959).
- [19] D. Baillis and J. Randrianalisoa, **International J. of Heat and Mass Transfer**, 52, 2516(2010).

- [20] S.Sinha and K.E. Goodson, **International J. of Multiscale Computational Engineering**, 3(1), 107(2005)
- [21] J. Zou, **J. Applied Physics**, 108(3), 34324(2010).
- [22] C. Guthy, C. Y. Nam and J. E. Fischer, **J. Applied Physics**, 103(6), 64319(2008).
- [23] C. M. Murray, M. N. Wybourne, D. N. Batchelder and A. R. Ade, **J. Phys. : Condens. Matter** 2, 257 (1990).
- [24] D. M. Finlayson and P. J. Mason, **J. Phys. C:Solid State Phys.**, 18, 1791 (1985).
- [25] J. Dong, F.Sankey and C.w. Myles, **Phys. Rev. Lett.**, 86,2361(2001).
- [26] J. D. Chung, A. J. H. Mc Gaughey and M. Kaviany, **J. of Heat Transfer**, 126, 376 (2004).
- [27] A. K. Hasen, **M.Sc. Theses**, Basra University, Basra, Iraq (1981).
- [28] A. F. Saleh, **M. Sc. Thesis**, Basra University, Basra, Iraq (1979).
- [29] A. H. Awad and S. N. Shargi, **J. of Thermal Analysis**, 42, 1123(1994).
- [30] C. L. Choy, **Polymer**, 18, 984 (1977).
- [31] A. H. Awad, **Basra J. Science**, A12 (2), 161 (1994).
- [32] Y. Y. Haung, J. L. Hunt and J.R. Stevens, **J. Appl. Phys.**, 44, 3589 (1973).
- [33] K. S. Dubey, **Phys. Status Solidi**, A69, 121 (1982).
- [34] H. B. Casimir, **Physica**, 5, 595 (1938).
- [35] A. H. Awad, **Journal of Thermal Analysis**, 41, 1031 (1994).
- [36] A. H. Awad, **Ph. D. Thesis, Basra University**, Basra, Iraq (2003).
- [37] A. J. Mohammed, **M. Sc. Thesis , Basra University,_Basra , Iraq** (2007).
- [38] A. S. Mahdi, **M. Sc. Thesis, Basra University**, Basra, Iraq (2007)
- [39] D. B. Habesh, **M. Sc. Thesis, Basra University**, Basra, Iraq (2008)
- [40] A. A. Lifta, **M.Sc. Theses, Basra University**, Basra, Iraq (2010).
- [41] P. G. Klemens, **Proc. Roy. Soc., (London)**A208, 108 (1951).

- [42] F. R. Nabarro, **Proc. Roy. Soc. (london)**, A109, 278 (1951).
- [43] B. Nysten, P. Gonry and J. Issi, **Synthetic metals**, 69, 67(1995)
- [44] B. Montanari and R. O. Jones, **Chemical Physics Letters**, 272, 347(1997)
- [45] G. Kalaprasad, P. Pradeep, G. Mathew, C. Pavithran and S. Thomas, **Composites Science and Technology**, 60,2967(2000)
- [46] A. F. Saleh and K. S. Dubey, **Indian J. Pure and Appl. Phys.**, 19, 73(1981).
- [47] Y. Agari, A. Velu and S. Naga, **J. Appl. Polym. Scie.**, 49,1625(1993).
- [48] A. H. Awad and S. N. Shargi, **J. of Thermal Analysis**, 41, 69 (1994).
- [49] A. N. Jarad, **M.Sc. Theses, Basra University**, Basra, Iraq (2010).
- [50] M. P. Zaitlin and A. C. Anderson, **Physical Review**, B12 (10), 4475 (1975).
- [51] K. S. Dubey, **Phys. Stat. Sol.**, A 69, 121 (1982).
- [52] R. J. Kolouch and R. G. Brown, **J. of Appl.**, 39(8), 3999 (1968).
- [53] B. Montanari and R. O. Jones, **Chmical Physics Letters**, 272,347 (1997).
- [54] A. F. Saleh, R. H. Misho and K. S. Dubey, **Acta Physica Academiae Scintiarum Hungaricae**, 50(4), 321 (1981).
- [55] C. N. Banwell, **Fundamentals of Molecular Spectroscopy**, 2nd edition, Mc GRAW-HILL Book Company (1972).
- [56] Y. Travalys, D. Vanderbilt and X. Gonze, **Physical Review**, B61 (11) 7716 (2000).
- [57] C. L. Choy and D. Greig, **J. Phys. C: Solid State Phys.**, 8, 3121 (1975).

polyethylene terephthalate as long as the fractional value of the empty space is $p > 0.1$, $p > 0.9$ respectively. There were also a slow change and decrease in the value of the thermal conductivity of the crystalline part K_C when increasing the strength of the dislocation scattering.

The study has also deal with the effect of the degree of crystallinity on the nature of the conduction curve. It has been observed that there is a cross-over point in the curves of every group. The value of the thermal conduction of the amorphous structures K_N has decreased at the increase of degree of crystallinity and the constancy of temperature; and the opposite is correct for the crystalline structures K_C . The study has shown that the reversed behavior, of K_C and K_N , with the degree of crystallinity is behind the emergence of the cross-over point.

consideration. The thermal conductivity of these structures has been computed according to Callaway's model and Awad's formulas, respectively. Four samples of polyethylene, with degree of crystallinity (0.914, 0.933, 0.956, 0.971), have been used to compare the present study with another modern study, Jarad's "The use of Awad's formulas for both crystalline and amorphous structures". The comparison has shown high percentage differences up to 94% between the two studies. Seven samples of Polyethylene terephthalate with degrees of crystallinity (0.0, 0.09, 0.17, 0.25, 0.29, 0.39 and 0.51) have been used at a wide range of temperature to study the effect of degrees of crystallinity on the nature of conductivity curves. The results of this part have revealed a good agreement, in conductivity curve, between the calculated and experiential values. The percentage contribution of amorphous structures K_N has been higher than the percentage contribution of crystallized structures K_C at low temperatures, and the reverse occurs at high temperatures. It has been concluded that the type of mathematic model used in calculating the thermal conductivity of amorphous structures and the addition of conduction compound K_{AP} have directly affected the values of the scattering relaxation rates, and the conductive curves, especially those percentage contribution, at the highest values of the temperature of study.

The behavior of the scattering relaxation rates have been studied as frequency function ω . The boundary scattering has dominated at the low range of frequencies, and the phonon scattering by dislocation has dominated in the high degree of crystallinity samples of polyethylene at the high range of frequencies, and the opposite was the domination of the point defect scattering, while the scattering of phonons by dislocation has been dominated the other in the samples of Polyethylene terephthalate.

At the constancy of temperature, it has been found that the thermal conductivity of amorphous part extremely changed in polyethylene and

ABSTRACT

The study has presented the utility of the application of Callaway's model for amorphous structures and Awad's formulas for crystallized structures in calculating the lattice thermal conductivity of polymers at various degrees of crystallinity. It has also stated the utility of adding the conduction compound K_{AP} (the contribution of phonons at frequency range $(\omega_{pt} - \omega_D)$) in calculating the thermal conductivity of amorphous structures. The study has been divided into two parts:

The first part has been devoted to analyze the lattice thermal conductivity of amorphous polymers .Samples of Polycarbonate and Borosilicate glass have been subject to study under a temperature range (0.04-60K). The results of analysis have revealed a good agreement between the computed and experiential values.

The behavior of the scattering relaxation rates have been studies as frequency function ω . The results have revealed apparent domination in the boundary scattering at low frequencies, while the empty space scattering relaxation rates dominates over Rayleigh scattering relaxation for all the frequency range, except some samples in which the reverse occurs at frequency values close to ω_{pt} .

As empty space scattering has important role, the thermal conductivity has been fully studied, as function of fractional value p , at the constancy of temperature. The study has revealed that empty space scattering has important role at $p > 0.9$.

The second part has been devoted to study the lattice thermal conductivity of semi-crystalline polymers. The gathering of the thermal conductivity of both crystalline and amorphous structures has been taken into

Study of the lattice thermal conductivity for some polymers at various degrees of crystallinity

**A Thesis
Submitted to the College of Education
University of Basra
In Partial Fulfillment of the Requirements
for the Degree of Master of Science in Physics**

**By
Haider Ahmed Hasan**

Supervised by

Prof. Dr. Adil Hasan Awad